

Výskumný ústav chemických vláken vo Svite

APLIKÁCIA

BIKOMPONENTNÝCH, LATENTNE OBLÚCKOVANÝCH,  
NEKONEČNÝCH POLYPROPYLENOVÝCH VLÁKEN DO  
TKANÝCH TEXTÍLIF

Kandidátska dizertačná práca

Vypracoval: Ing. Anton Kostka

Školiteľ: Prof. Ing. František Pompe  
Prof. Ing. Jaroslav Simon

"Toto práce sa hodi směrnicami MČR, použitie  
viročné zkoušky č. į 31 727/62-III/2 ze dne  
13. července 1962-Výkonař MŠK ŽKK, sešit 24 ze dne  
31. 8. 1962 č. 15 autoréckého zákone č 115/63."

Svit 1976

MDT 677 4-042.1  
678. 442-3

U 80 + púloha

VYSOKÁ ŠKOLA STROJNÉ A TEXTILNÉ  
Ústredná knihovna  
LIBEREC I, STUDENTSKÁ 8  
PSČ 461 17

Úvodom tejto práce ďakujem svojim školiteľom, Prof. Ing. Františkovi Pompému za odborné vedenie pri začatí a v priebehu riešenia predkladanej práce a Prof. Ing. Jaroslavovi Simonovi za cenné pripomienky v závere riešenia. Súčasne ďakujem kolektívu pracovníkov VÚCHV, ktorí umožnili vykonanie rozsiahlych experimentálnych prác.

O B S A H

|      |  |    |
|------|--|----|
| 1.   | Úvod .....   | 5  |
| 2.   | Teoretická časť .....  | 8  |
| 2.1  | Všeobecné poznatky o príprave bikomponentných, latentne oblúčkovaných vláken .....   | 8  |
| 2.2  | Hodnotenie bikomponentných, latentne oblúčkovaných vláken .....  | 11 |
| 2.3  | Vzťahy medzi charakterom oblúčkovania a dĺžkou zobjemneného a vyravnанého vlákna .....   | 20 |
| 2.4  | Základné poznatky zo spracovania bikomponentných, latentne oblúčkovaných vláken .....  | 26 |
| 24.1 | Príprava tkanín z latentne oblúčkovaných chemických vláken .....   | 27 |
| 24.2 | Nožnosti úpravy - zobjemnenia režných tkanín z bikomponentných, latentne oblúčkovaných vláken .....  | 30 |
| 24.3 | Metódy hodnotenia elastickej a objemových vlastností vysokoelastickej a vysokobjemnej tkanín ...   | 31 |
| 2.5  | Záver .....  |    |
| 3.   | Experimentálna časť .....  | 36 |
| 3.1  | Úvod .....   | 36 |
| 3.2  | Štúdium podmienok prípravy polypropylénových, bikomponentných, latentne oblúčkovaných vláken, z hľadiska kontrakčných sôl a lineárneho zmrštenia ..... | 41 |
| 3.3  | Hodnotenie viskoelastickej vlastnosti polypropylénových, bikomponentných, latentne oblúčkovaných vláken .....  | 54 |
| 3.4  | Výber experimentálneho materiálu a jeho komplexné zhodnotenie .....  | 55 |
| 3.5  | Overovanie podmienok prípravy vysokoobjemných a viskoelastickej tkaných textilií .....   | 60 |
| 35.1 | Úvod .....   | 60 |
| 35.2 | Orientačný príesku .....   | 61 |
| 35.3 | Skúšky na vzorkovom tkacom stroji .....  | 63 |

|  |    |
|--|----|
| 35.4 Výsledky skúšok na tkacom stroji UTAS EM 175 .....    | 67 |
| 35.5 Výsledky skúšok na tkacom stroji BENNINGER Z 126 ..   | 69 |
| 35.6 Výsledky skúšok tkania polypropylénového, bikomponen- |    |
| tentné oblúčkovaného káblíka z polopre-                    |    |
| vádzkovej produkcie .....                                  | 72 |
| 35.7 Závery získané pri tkani .....                        | 75 |
| 36. Riešenie zobjemnenia režných tkanín fixáciou .....     | 76 |
| 36.1 Laboratórne skúšky zobjemnenia režných tkanín fi-     |    |
| xáciou .....   | 77 |
| 36.2 Skúšky zobjemnenia režných tkanín, fixáciou na pre-   |    |
| vádzkovom strojnom zariadení .....                         | 80 |
| 36.7 Hodnotenie elastických a objemových vlastností tka-   |    |
| ní .....   | 82 |
| 37.1 Hodnotenie elastických vlastností v ťahu .....        | 82 |
| 37.2 Hodnotenie elastických vlastností v tlaku .....       | 84 |
| 4. Záver .....   | 87 |
| 5. Literatúra .....  | 92 |
| 6. Zoznam použitých skratiek                               |    |
| a symbolov .....   | 95 |

## I. Úvod

Stále rastúca tempo výroby chemických vláken a výrobkov z nich vyžaduje rozsiahlu výskumnú a vývojovú základňu, zameranú na výskum v oblasti technológie prípravy chemických vláken a s ním úzko spätý aplikačný výskum.

Smernica hospodárskeho a sociálneho rozvoja ČSSR v rokoch 1976-1980 ukladá zvýšiť výrobu chemických vláken zhruba o 30 %, pričom rozvíjať predovšetkým výrobu polypropylénových, polyesterových a polyamidových vláken. Nie náhodou sú v Smernici uvedené na prvom mieste polypropylénové vlákna. Ich rozvoj súvisí s využitím relativne lacnejšieho domáceho polyméru. Na základe vlastného výskumu sa plánuje do roku 1980 rozšírenie výroby polypropylénovej striže o 15 000 ton, rovnaké rozšírenie výroby polypropylénových káblikov a výroba 4 000 ton polypropylénového hodvábu ročne.

Záujem textilného priemyslu je sústredený na taký sortiment chemických vláken, ktorý tvorí základ výroby textilií masového uplatnenia. Od chemických vláken sa vyžaduje taká spracovateľnosť v čistom stave i v zmesi s prírodnými vláknami, aby každé novovyvinuté vlátko bolo racionalizačným faktorom v celom procese zhorevania textilie.

Jedným zo širokej škály nových chemických vláken, ktoré si v tejto fáze výskumu nemôžu cítiť nárokovať aplikáciu v hromadnej výrobe, sú bikomponentné vlákna. Teoreticky i výskumne bola príprava niektorých bikomponentných vláken dobre zvládnutá, ale ich súčasné aplikačné možnosti nie sú dosťatočne overené, hlavne z dôvodu malého množstva výskumne vyrábaného vlákna. U bikomponentných, latentne oblúčkovaných vláken sú nároky na výskum spracovania cítiť väčšie.

Cieľom predkladanej práce je riešenie uplatnenia polypropylénových, bikomponentných, latentne oblúčkovaných, nekonečných chemických vláken do tkaných výrobkov, s cieľom uplatnenia vysokej elasticity a objemnosti týchto vláken.

Latentne oblúčkované vlákna káblikového typu boli vybrané preto, že výroba i spracovanie takýchto vláken je ekonomicky najoptimálnejšie a po úspešnom zvládnutí komplexu s tým spojených problémov, otvára sa cesta zavečenia výroby týchto vláken v širšom rozsahu.

Práca vychádza z výsledkov výskumu bikomponentných vláken v ČSSR k súčasnému obdobiu a zo surovinových potrieb textilného priemyslu v oblasti objemovaných nekonečných vláken. V experimentálnej časti je venovaná časť práce hodnoteniu východzej vláknnej suroviny, ďalšia časť vlastnej technológie prípravy tkanín s cyklom uplatnenia objemových a elastických vlastností vláken a záverečná časť hodnoteniu pripravených tkanín.

Pretože práca vychádzala z praktických možností, je experimentálna časť založená na báze polypropylénových vláken. Po určitom overení je možná aplikácia získaných výsledkov aj na polyamidové a polyesterové vlákna so samooblúčkovacím efektom. Technológia prípravy polypropylénových, bikomponentných, latentne oblúčkovaných nekonečných vláken je v súčasnom období výskumu relativne najlepšie zvládnutá. Na experimentálnom zariadení vo Výskumnom ústavе chemických vláken vo Svite sú v súčasnom období pripravované množstvá vláken, ktoré umožňujú prácu v aplikačnom výskume v poloprevádzkovom rozsahu.

Dielčie výsledky získané pri riešení zadanej práce boli poskytnuté už v priebehu riešenia výskumným pracovníkom, ktorí riešia prípravu bikomponentných vláken. Tým bola umožnená úzka spolupráca a usmernenie výskumných prác ako pri vyvijaní bikomponentných vláken, tak pri riešení ich aplikácie do tkaných plošných textilií.

O potrebe riešenia uvedenej problematiky svedčí záujem a podpora zo strany kolektívu, ktorý rieši výskum bikomponentných vláken a ktorý pripravoval experimentálny materiál - bikomponentné vlákna o požadovaných parametoch. Pri experimentálnych prácach sa postupovalo tak, že návrh ďalšieho postupu bol vypracovaný po uzavretí výsledkov predchádzajúceho, aby sa zohľadnili získanú

poznatky od prípravy experimentálneho vlákkenného materiálu až po úpravu tkaniny, prípadne aj včetne skúseností získaných pri výrobe finálneho výrobku.

Pôvodnosť riešenia bola uznaná udelením autorského osvedčenia CS 167 421 v priebehu riešenia danej problematiky. Prihláška vynálezu bola vypracovaná už v roku 1972 na základe orientačných skúšok v laboratórnom rozsahu.

V prílohe práce sú pripojené niektoré typické vzorky upravených tkanín, ku ktorým podrobnejšie údaje sú v textovej časti práce. Cieľom tejto vzorkovnice je umožniť širšiemu okruhu záujemcov zoznať sa názorným spôsobom a výsledkami riešenia i možnosťami aplikácie vysokoelastickej a vysokoobjemnej tkanín z bikomponenntných, latentne oblúčkovanyh polypropylénových vláken.

## 2. Teoretická časť

### 2.1 Všeobecné poznatky o príprave bikomponentných, latentne oblúčkovaných vláken

Je známe, že bikomponentné chemické vlákna umožňujú modifikáciu vlastností vláken. Teoreticky bolo možné už hneď pri začiatí výroby chemických vláken pripraviť modely bikomponentných vláken s rôznymi špecifickými vlastnosťami. Zvládnutie praktickej prípravy bikomponentných vláken je však otázkou náročného výskumu každej konkrétnej technológie.

Priprava bikomponentných chemických vláken s cieľom dosiahnutia objemovacieho efektu sa javí progresívne hlavne preto, že objemovanie chemických vláken je náročná a pomerne nákladná pracovná operácia i vtedy, keď sa jedná o kontinualizáciu objemovania s procesom dĺženia.

Prehľad odbornej a patentovej literatúry podáva študijná správa /1/. Pre vznik oblúčkovaného vlákna je požadovaná heterogenita v zmrštení a jej asymetrické rozloženie v priereze vlákna. U viaczložkových vláken sa uvedené požiadavky dosahujú súčasne zvláčňovaním viacerých polymérnych systémov asymetricky a spravidla kontinuitne uložených pozdĺž osi vlákna. Uloženie vzoriek v priereze vlákna môže byť segmentová alebo jadrová, pričom jadrová vlákna okrem efektu oblúčkovitosti sú vhodné k súčasnému riešeniu ďalších vlastností /hydrofilnosť, farbenie, ohmat ap./. Efekt oblúčkovitosti u bikomponentných vláken je priamo úmerný rozdielu zmrštenia jednotlivých zložiek a nepriamo úmerný hrúbke vlákna. Závisí tiež na pomernom zastúpení zložiek vo vlákne, elasticite zložiek, profile vlákna a geometrickom tvaru zložiek vo vlákne.

Pre výber vhodných podmienok prípravy bikomponentných, latentne oblúčkovaných vláken, bol robený rozsiahly výskum v oblasti polypropylénových vláken /2/. Bolo zistované celkové zmrštenie modelových vláken. Celkové zmrštenie bolo definované ako súčet

elastického predĺženia a zmrštenia vodou pri bode varu, pričom elastické predĺženie sa vypočítaло zo vzťahu:

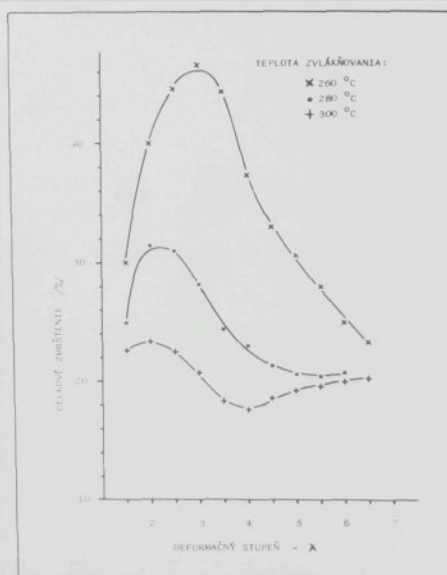
$$L_0 = \frac{L_1 - L_2}{L_1} \cdot 100$$

kde:  $L_0$  = elastické predĺženie %/

$L_1$  = dĺžka vlákna pred uvoľnením napäťia /mm/

$L_2$  = dĺžka vlákna po uvoľnení napäťia /mm/

Vlákno sa deformaovalo na trhacom prístroji pri upinacej dĺžke 40 mm, rýchlosťou 200 mm/min a po predĺžení na požadovaný deformačný stupeň sa hneď uvoľňovalo tóu istou rýchlosťou. Závislosť medzi deformačným stupňom a celkovým zmrštením vláken, pripravených pri zvlákňovacej rýchlosťi 600 m/min a zvlákňovačich teplotách 260, 280, 300 °C ukazuje obr. 1.



Obr. 1 Celkové zmrštenie polypropylénových vláken v závislosti na deformačnom stupni a teplote zvlákňovania

Z obrázku 1 vidieť, že rozdiely v celkovom zmrštení sú značné. Zvlášť veľké rozdiely sú pri zrovnaní teplôt 300 a 260 °C. Tieto rozdiely ukazujú, že ak zvolime rôznu teplotu zvlákňovania dvoch zložiek homopolyméru, dosiahneme dostatočnú heterogenitu v zmršťovacích silách, ktorú je možné využiť na tvorbu latentne oblúčkovaných vláken.

V práci /2/ boli na laboratórnom zvlákňovačom zariadení ovarené rôzne zvlákňovacie rýchlosťi a polymery o rôznom polymerizačnom stupni. Najväčšie rozdiely v celkovom zmrštení pri rôznych zvlákňovacích teplotách boli získané u polypropylénu s vyšším polymerizačným stupňom. Čím je vyšší polymerizačný stupeň východzieho polyméru, tým väčších rozdielov sa dosiahne medzi jednotlivými zložkami tepelnou degradáciou jednej zložky.

U bikomponentných vláken je často obtiažne hodnotiť analytické a štruktúrne parametre zložiek. Príprava modelových vláken dáva reálnejší pohľad na povahu zložiek v prípadoch, keď priame údaje z bikomponentného vlákna nie sú dostupné. Príprava modelových vláken a ich vyhodnotenie boli základom pre vytipovanie vhodného polyméru. Okrem už uvedeného rozdielu v celkovom zmrštení modelových vláken pripravených pri rôznych podmienkach zvlákňovania, boli v práci /2/ urobené závery, týkajúce sa vplyvu teploty zvlákňovania na hodnotu dvojlamu. Zaujímavý bol poznatok, že rozdiely v orientácii vláken vyjadrené dvojlamom boli minimálne pri rôznych teplotách zvlákňovania. Zásadné rozdiely boli stanovené v tokových vlastnostiach polyméru zvlákňovaného pri rôznych teplotách. Hlavne index toku sa výrazne mení. Pre vhodnosť polyméru na prípravu bikomponentných oblúčkovaných vláken má význam aj sledovanie polydisperzity jednotlivých polymérov.

Nic je cieľom tejto práce podrobne uvádzat' jednotlivé závislosti, iba upozorniť, že príprava bikomponentných, latentne oblúčkovaných vláken si vyžaduje rozsiahly výskum v oblasti volby vhodného polyméru a podmienok zvlákňovania. Zanedbanie niektorých parametrov sa môže výrazne odzrkadliť na objemových vlastnostiach pripraveného vlákna.

## 2.2 Hodnotenie bikomponentných, latentne oblúčkovaných vláken

Hodnotenie bikomponentných, latentne oblúčkovaných vláken sa vzhľadom na ich špecifické vlastnosti liší od hodnotenia mechanicky objemovaných vláken. Pre vytvorenie komplexného pohľadu na tieto vlákna sa pri hodnotení postupuje nasledovne:

- úprava objemovaného vlákna pred hodnotením jeho fyzikálno-mechanických vlastností
- stanovenie počtu oblúčkov
- stanovenie jemnosti, pevnosti a ťažnosti
- hodnotenie stupňa objemovania stanovením fyzikálno-mechanickej vlastnosti v oblasti nízkych napätií
- hodnotenie zotavovacích vlastností objemovaných vláken
- stanovenie objemnosti vláken pomocou fotogramov
- stanovenie elastických vlastností objemovaných vláken
- stanovenie zrážacích sôl a lineárneho zmrštenia objemovaných vláken použitím kontrakciometra ZWICK 6302
- stanovenie reverzibility vlákna po mechanickom namáhaní
- stanovenie lineárneho zmrštenia podľa Wegenera

V stručnosti je možné jednotlivé metódy charakterizovať takto:

Úprava objemovaného vlákna pred hodnotením jeho fyzikálno-mechanických vlastností spočíva vo vyvolaní optimálneho efektu objemovania pri definovaných podmienkach mechanického namáhania.

Vzorka objemovaného vlákna sa pripraví navinutím pradena o dĺžke 5 m na metrickom vijaku. Pradeno sa zavesí na kolík a postupne sa zaťaží závažím o hmotnosti 5 mg/tex a pridá sa ďalšie závažie o hmotnosti 700 mg/tex. Závažia pôsobia na dĺžku pradena 0,5 m a 10 nití o nominálnej jemnosti. Po uplynutí 30 s sa z pradena odstráni závažie o väčšej hmotnosti a závažie o menšej hmotnosti sa ponechá pôsobiť na vlákno v normálnom skušobnom ovzduší 24 h. Po uplynutí uvedenej doby sa vlákno odlahčí na dobu minimálne 2 h a potom sa použije k ďalšiemu hodnoteniu.

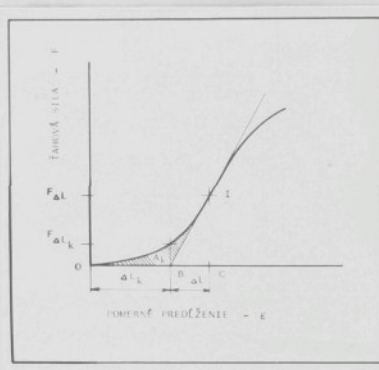
Stanovenie počtu oblúčkov sa robí po upevnení vlákna do svorky zvisle bez predpätia na upínaciu dĺžku 20 mm. Pozorovaním pod lupou sa odčíta počet vrcholov oblúčkov na jednej strane priečetu vlákna do kontrasného pozadia. Mikrometrickým posuvom spodnej svorky sa vlákno napne do vystretého stavu, čo sa zistí vizuálne.

ako stav zániku všetkých oblúčkov. U jednej vzorky sa robi 50 meraní.

Stanovenie jemnosti, pevnosti a ťažnosti sa robi podla ČSN 80 0700 a 80 0702. Pri stanovení týchto parametrov je potrebné použiť predpätie 10 mN/tex  $\pm$  10 %.

Určenie stupňa objemovania stanovením fyzikálno-mechanických vlastností v oblasti nízkych napätií sa robi z pracovnej krivky v oblasti kde dôjde k zreteľnému rozdielu medzi vyrovnaním oblúčkov vlákna a lineárnejou elastickej deformáciou samotnej substancie testovaného vlákna, do oblasti za inflexný bod./3/.

Pracovná krivka sa hodnotí podla obrázku 2.



Obr. 2 Pracovná krivka objemovaných vláken v oblasti nízkych napätií

Vyhodnotenie sa robi tak, že krivkou sa viedie dotyčnica v oblasti inflexného bodu I. Priesek dotyčnice s osou deformácie slúži k výpočtu tuhosti oblúčkov /F<sub>ALk</sub>/.

Stupeň objemovania /K/ sa určí zo vzťahu:

$$K = \frac{L_0 + \Delta L_k}{L_0} \cdot 100 \quad /%$$

kde: L<sub>0</sub> = upínacia dĺžka /m/

Δ L<sub>k</sub> = predĺženie do extrapolovaného bodu B /m/

Práca k zrušeniu objemovania sa určí zo vzťahu:

$$\Delta_k = \Delta_L - \frac{F_{\Delta L} \cdot \Delta L}{2}$$

kde :  $\Delta_L$  = celková deformačná práca do inflexného bodu I /J/

$F_{\Delta L}$  = ťahová sila v bode I /N/

$\Delta L$  = predĺženie, vyjadrené úsečkou BC /m/

Koeficient plnosti q sa určí podľa vzťahu:

$$q = \frac{0,100}{F_{\Delta L}/\Delta L_k + \Delta L/}$$

Hodnotenie zotavovacích vlastností objemovaných vláken určuje vplyv mechanického namáhania na stabilitu objemovaného vlákna. Mechanické namáhanie vlákna sa robí dvoma spôsobmi:

- a/ zaťaženie vlákna silou 100 mN/tex na dobu 1 h, alebo
- b/ zaťaženie vlákna polovičnou silou pevnosti v ťahu na dobu 1 h

Vlákno upravené podľa postupu "úprava objemovaného vlákna pred hodnotením jeho fyzikálno-mechanických vlastností", sa zaťaží na 1 min závažím 0,2 mN/tex, zmerá sa dĺžka vlákna  $L_0$  a počet oblúčkov  $cf_0$ . Vlákno sa ďalej mechanicky namáha silou 100 mN/tex, resp. polovičnou silou pevnosti v ťahu po dobu 1 h. Po opäťovnom úplnom uvoľnení vlákna na dobu 5 min a zaťažení 0,2 mN/tex na 1 min zmerá sa dĺžka  $L_1$  a počet oblúčkov  $cf_1$ . Zotavenie vlákna zo zmeny dĺžok sa vypočíta:

$$z_L = \frac{L_0}{L_1} \cdot 100 \quad \% /$$

Zotavenie vlákna zo zmeny počtu oblúčkov sa vypočíta:

$$z_c = \frac{cf_1}{cf_0} \cdot 100 \quad \% /$$

Stanovenie objemnosti objemovaných vláken pomocou fotogramov spočíva v určení projekčnej šírky vlákna. Vlákno upravené podľa postupu "úprava objemovaného vlákna pred hodnotením jeho fyzikálno-mechanických vlastností" sa nastrihá na úseky o dĺžke cca 100 mm. Päť takýchto vláken sa umiestní na podložné sklo vo vzdialosti 3-5 mm. Vlákna sa na jednej strane prilepia ku sklu lepiacou páskou. Po sklonení skla s vláknami do zvislej polohy sa každé vlákno začaží predpäťom 0,2 mN/tex. Vlákna sa upevnia ku sklu nad závažiami, tieto a odstránia a sklo s vláknami sa vloží do priestoru pre negatív vo zväčšovačom prístroji. Fotogramy vlákna sa pripravia ich premietnutím pri 5-násobnom lineárnom zväčšení. Celkom sa pripraví 10 priemetov vlákna /2 fotogramy/ z každej vzorky vlákna. Vyhodnotenie fotogramov sa vykoná zmeraním projekčnej šírky vláken. Priemet každého vlákna sa zmerá 5 krát, vypočítá sa priemerná projekčná šírka a variačný koeficient.

Stanovenie elastických vlastností objemovaných vláken spočíva v určení týchto parametrov /3/:

pružné predĺženie do pretrhu -  $\epsilon_{el}$  %

stupeň pružnosti -  $\dot{\epsilon}$  %

začaženie do medze pružnosti -  $F_E$  N, N/tex

predĺženie do medze pružnosti -  $\epsilon_{Eel}$  %

technická medza pružnosti -  $\sigma_E$  N/mm<sup>2</sup>

modul pružnosti - E N/mm<sup>2</sup>

Stanovenie zrážacích sín a lineárneho zmrštenia objemovaných vláken použitím kontrakciometra ZWICK 6302 umožňuje určiť veľkosť zrážacích sín a lineárneho zmrštenia objemovaných vláken v tepelnom intervale 50 až 250 °C. Pri stanovení zrážacích sín sa zachová konštantná vzdialenosť medzi upinacími svorkami a pri meraní lineárneho zmrštenia sa použije výmenná dolná svorka so stupnicou a pohyblivým ukazovateľom. Merané vlákno sa upevni s predpäťom 0,2 mN/tex.

Stanovenie reverzibility objemovaného vlákna po mechanickom namáhaní sa robí v suchom a mokrom stave. 5 metrové prádeno objemovaného vlákna, upraveného podľa postupu "úprava objemovaného vlákna pred hodnotením jeho fyzikálno-mechanických vlastností"

a stanovení dĺžky  $L_0$  a počtu oblúčkov  $c_f_0$  pri predpäti 0,2 mN/tex, zavesí sa na kolik zvislej dĺžky a zaťaží závažím 0,1 N/tex po dobu 1 h. Potom sa vlákno uvoľní na 5 min a po tejto dobe ponori do vriacej vody na 15 min. Po odstredení sa vlákno suší vo volnom stave 24 h. Po uplynutí tejto doby sa vlákno postupne zaťaží predpätim 10 mN/tex na 1 min a predpätim 0,2 mN/tex na 1 min a stanovi sa dĺžka  $L_1$  a počet oblúčkov  $c_f_1$ .

V mokrom stave je postup prípravy vlákna rovnaký. Zaťaženie vlákna 0,1 N/tex sa vykoná v odmernom valci s vodou o teplote 25 °C na dobu 1 h. Vysušené vlákno sa ponechá bez zaťaženia 5 min a potom sa ponori do vriacej vody na dobu 15 min. Ďalší postup je zhodný s predošlým.

Reverzibilita vlákna zo zmeny dĺžok sa vypočíta:

$$R_L = \frac{L_0}{L_1} \cdot 100 \quad \%$$

Reverzibilita vlákna zo zmeny oblúčkov sa počíta:

$$R_c = \frac{c_f_1}{c_f_0} \cdot 100 \quad \%$$

K výsledku sa uvedie či bola reverzibilita stanovená za sucha alebo za mokra.

Stanovenie lineárneho zmrštenia podľa Wegenera sa robí za účelom zhodnotenia tvarovacieho efektu. 5 metrové pradeno vlákna, upraveného podľa postupu "úprava objemovaného vlákna pred hodnotením jeho fyzikálno-mechanických vlastností" sa zavesí na kolik zvislej dosky a zaťaží sa predpätim 10 mN/tex na dobu 1 min. Potom sa vlákno uvoľní a zaťaží predpätim 0,2 mN/tex na dobu 1 min a zmerá sa dĺžka  $L_1$ . Pradeno sa ponori do vriacej vody na dobu 15 min. Po vysušení filtračným papierom sa nechá vlákno volne dosušiť 1 h pri laboratórnej teplote. Potom sa vlákno zaťaží znova predpätim 10 mN/tex na dobu 1 min a predpätim 0,2 mN/tex na dobu 1 min. Zmerá sa dĺžka  $L_2$ .

Hodnota lineárneho zmrštenia sa vypočíta podľa vzťahu:

$$z = \frac{L_1 - L_2}{L_1} \cdot 100 \text{ \%}$$

Všetky uvedené metódy pre hodnotenie objemových vlastností vláken, pričom väčšina bola vyvinutá špeciálne pre bikomponentné vlákna, umožňujú určenie úrovne objemovania, ale pre stanovenie rovnomernosti objemovania z hladiska hodnoteného vlákna nedostatočno postihujú väčšiu výrobnú položku vláken.

Pre zhodnotenie relativne väčšieho množstva objemovaných vláken bola vyvinutá metóda hodnotenia rovnomernosti objemovania meraním hrúbky úpletu. Pre zhotovenie úpletu sa najvhodnejšie javí použitie pánuchového pletacieho stroja vhodného delenia, upraveného na pletenie hladkého hadicového úpletu. Po zhotovení sa úplet zobjemní vo voľnom stave v pare pri tlaku 250 kPa po dobu 15 min. Hrúbka sa merá hrúbkomerom, ktorý má citlivosť odčítania hrúbky 0,01 mm podľa ČSN /4/. S rastúcou objemnosťou vlákna stúpa hrúbka úpletu. Popisanou metodikou je možné hodnotiť i celý návin cievky, alebo väčší počet cievok. Z veľkého množstva meraní je možné štatistické vyhodnotenie rovnomernosti objemovania napríklad variačným koeficientom. Výhodou postupu je hodnotenie v plošnom útvare, čím sa hodnotenie bliží k aplikáčnému hodnoteniu vlákna. Okrem hodnôt hrúbky úpletu je možné hodnotiť v úplete aj ostatné vlastnosti, ktoré sú dôležité pre komplexné posúdenie kvality vláken. Je to farebná pruhovitosť, poškodenie vláken, nerovnomernosť objemovania na krátkych úsekokach a pod.

Perspektívu majú tiež kontinuálne postupy hodnotenia objemových vlastností nekonečných vláken. Odskúšaný bol spôsob hodnotenia miery skrátenia zobjemnením ako tzv. CC-hodnota /Continuous Crimp/, ktorá je definovaná vzťahom /5/:

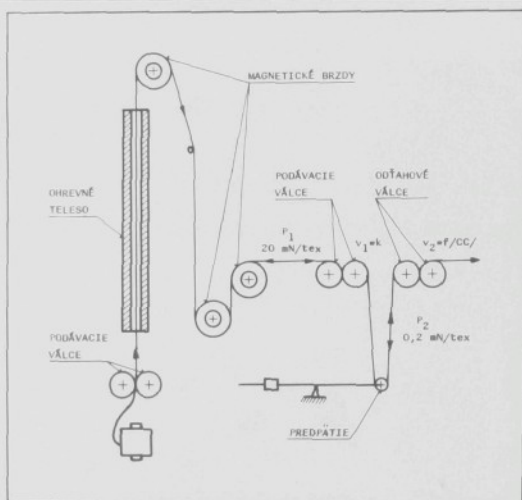
$$CC = 100 - \frac{V_2}{V_1} \cdot 100 \text{ \%}$$

kde: CC = CC-hodnota - miera skrátenia z objemnením %

$v_1$  = obvojová rýchlosť podávacích valcov pred ktorými je  
pnutie vlákna 20 mN/tex

$v_2$  = obvodová rýchlosť odvádzacích valcov pred ktorými je  
pnutie vlákna 0,2 mN/tex

Hodnotenie rôznych typov objemovaných vláken včetne bikomponentných, latentne oblúčkovanych, polypropylénových nekonečných vláken bolo overené na prístroji CC-TESTER v Ústavе pre textilnú techniku v Reutlingene v NSR, ktorý prístroj vyvinul. Princíp prístroja je zrejmý z obrázku 3.



Obr. 3 Princip kontinuálneho merania objemovaných nekonečných vláken na prístroji CC-TESTER

Pred vlastným meracím zariadením je ohrevná zóna, ktorá umožňuje vyvolanie oblúčkov. Dĺžka ohrevnej zóny je 1 m. Rýchlosť prechodu materiálu meracím prístrojom  $/v_1/$  je možné nastaviť a tým regula-vať dobu zotrvenia materiálu v ohrevnej zóne. Pre hruhbav sa volí rýchlosť 10 m/min. Pre hrubší materiál bude potrebné rýchlosť znižiť. Znižením rýchlosťi sa dosiahne vyššia citlivosť prístroja.

Pre zhodnotenie únavných vlastností vláken sa vyvinula i dynamická metóda hodnotenia vynútených kmitov bez rezonancie /6/. Princíp metódy spočíva v budení deformácie vzorky o sinusovom priebehu a o konštantnej frekvencii. Registruje sa priebeh deformácie aj napätia a ich vzájomný posun  $\delta$ . REOVIBRON typ DDV II-C je prístroj, ktorý priamo merá tg stratového uhlu a umožňuje z namenaných údajov vypočítať komplexný modul a jeho zložky.

Komplexný modul elasticity sa vypočíta zo vzťahu:

$$E^* = \frac{2L}{A \cdot D \cdot S} \cdot 10^8 \quad / \text{N/m}^2 /$$

kde: L = dĺžka vzorky

S = plocha prierezu vzorky

A = tabuľková hodnota

D = hodnota dynamickej sily /odčítané z prístroja/

Jednotlivé zložky komplexného modulu elasticity sa vypočítajú nasledovne.

Modul pružnosti /akumulácie/:

$$E' = E^* \cdot \cos \delta$$

Stratový modul:

$$E'' = E^* \cdot \sin \delta$$

Vzťah:

$$\frac{E''}{E'} = \operatorname{tg} \delta$$

charakterizuje podiel energie, ktorá sa vplyvom vnútorného treňia premieňa na teplo a energie, ktorá sa vracia vplyvom pružnej zložky deformovaného materiálu.

Cieľom tejto kapitoly nie je podať vyčerpavajúci prehľad o všetkých metódach pre hodnotenie objemovaných vláken, ale v struč-

nosti uviesť tie metódy, ktoré sú pre hodnotenie objemových vlastností bikomponentných vláken zvlášť dôležité. Z tohto hľadiska sú zaujímavé i metódy, ktoré sledujú objemové zotavenie.

Je to napríklad metóda dynamického namáhania zväzku objemovaných vláken dvojlamelovým systémom tak, že objem ktorý vlákna zaberajú pri predpísanom predpäti sa zmenší o 60 % /7/. Stlačovanie sa deje cyklicky. Odpor zväzku vláken sa registruje. Stálosť objemnosti sa hodnotí ako pomer objemu po piatich cykloch začaženia k objemu pred prvým cyklom.

Principiálne podobná i keď statická skúška objemovej vratnosti objemovaných vláken sa robi tak, že 3 g vlákna postrihaného na určitú štaplovú dĺžku sa vystaví tlaku 1 MPa po dobu 30 min a počíta sa objemová vratnosť 30 min po odiahčení pritlaku. Je to modifikácia normovanej metódy /8/.

Pre potreby krajín RVHP je v NDR vyvíjaná svetelná štrbinová metóda na hodnotenie objemových vlastností nekonečných objemovaných vláken /7/. Metóda sa zakladá na princípe snímania zmeny intenzity svetla, ktorú spôsobi vlákno pohybujúce sa naprieč v zornom poli. Vlákno je počas merania pod predpäťím 0,1 mN/tex.

Pri dosiahnutí dostatočnej presnosti pri stanovení jemnosti nekonečných objemovaných vláken, je možné charakterizovať rovnomernosť objemových vlastností i hodnotou jemnosti. Predpokladom použitia tohto parametra je rovnomernosť priemeru jednotlivých vláken ako aj dodržiavanie presného predpäti a rýchlosťi pri navijaní pradenia. Hodnoty jemnosti u hrubších nekonečných vláken jednoznačne sledovali objemnosť vlákna udanú ostatnými metodikami /9/.

Vývojom a zavádzaním výroby nových typov chemických vláken sa problematika hodnotenia týchto vláken ďalej rozširuje. Pri výbere vhodného spôsobu hodnotenia objemových vlastností je treba dbať, aby zvolená metodika zahrňovala komplexné požiadavky kladené na tento ktorý druh vlákna.

2.3 Vzťahy medzi charakterom oblúčkovania a dĺžkou zobjemneného a vyrovnaného vlákna

Špirálovitému oblúčkovaniu bikomponentných vláken je v literatúre venovaná značná pozornosť. Polomer zakrivenia vlákna na princípe bimetalových páskov, kde jednotlivé zložky vykazujú v závislosti na teplote rôzne dĺžkové zmeny sledoval Timoschenko /10/ a vyjadril ho vzťahom:

$$K_o = \frac{1}{r_o} = \frac{6 \cdot \frac{a_1}{a_2} / l + \frac{a_1}{a_2}^2 \cdot \frac{\Delta L}{L}}{h \left[ \frac{E_1}{E_2} + 4 \cdot \frac{a_1}{a_2} + 6 \cdot \frac{a_1}{a_2}^2 + 4 \cdot \frac{a_1}{a_2}^3 + \frac{E_2}{E_1} \cdot \frac{a_1}{a_2}^4 \right]}$$

kde:  $K_o$  = krivosť

$r_o$  = polomer zakrivenia okolo neutrálnej osi

$h$  = hrúbka bimetalového pásku

$a_1, a_2$  = hrúbka jednotlivých páskov

$E_1, E_2$  = moduly elasticity jednotlivých páskov

$\Delta L$  = zmena dĺžky páskov na dĺžke  $L$  /v závislosti na teplote/

Uvedený vzťah platí za predpokladu, že deformácia oboch materiálov sa riadi Hookovým zákonom.

V práci /11/ je odvodený vzťah, ktorý lepšie zohľadňuje pomery reálneho vlákna:

$$K_o = \frac{1}{r_o} = \frac{\frac{\Delta L}{L}}{-\frac{h}{2} + \frac{2}{h} \left[ \frac{1}{I_1 / \frac{1}{A_1}} + \frac{E_1}{E_2 A_2} / + \frac{1}{I_2 / \frac{1}{A_2}} + \frac{E_2}{E_1 A_1} / \right]}$$

kde:  $A_1, A_2$  = priemer jednotlivých páskov

$I_1, I_2$  = momenty zotrvačnosti jednotlivých plôch  
ostatné symboly ako v predošlom vzťahu

Zovšeobecnenie dvojzložkového systému ako vlákna vypracovali Fitzgerald, Hughey a Knudsen /12, 13, 14/, ktorí riešili dvojzložkové vlákno ako spružinu. Oblúčkovitosť takéhoto vlákna vyjadrená frekvenciou oblúčkov  $c_f$  je daná vzťahom:

$$c_f = \frac{1}{\sqrt{2\pi r_0^2 + s^2}}$$

kde:  $r_0$  = polomer stáčania vláken

$s$  = stúpanie závitov

V prípade, že stúpanie závitov je malé a môže sa zanedbať, platí vzťah:

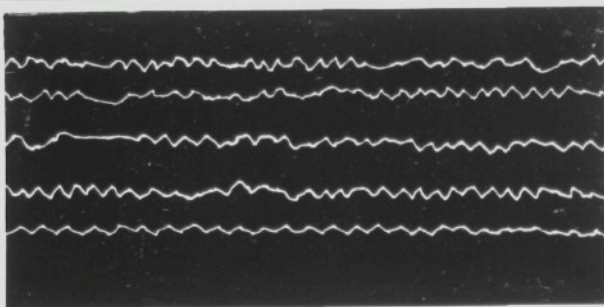
$$c_f = \frac{1}{2\pi r_0}$$

Tieto vzťahy platia pre vlákno oblúčkujúce bez akýchkoľvek obmedzení. Pri reálnych podmienkach oblúčkovania sú pomery zložitejšie.

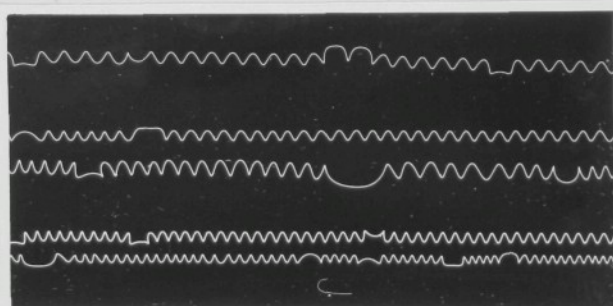
Podobne vzťah medzi charakterom oblúčkovania a dĺžkou vlákna v zobjemnenom a vyravnacom stave je odvodený pre prípad ideálneho oblúčkovania. Porovnanie je prevedené na dvoch typických spôsoboch oblúčkovania.

Zatiaľ čo napríklad vlákna objemované pechovaním majú oblúčkovanie blízke tvaru lomenej čiary, charakter oblúčkovania bikomponentných vláken je špirálovitý a prejaví sa vo väčšej dĺžke vlákna po vyravaní oblúčkov. Porovnanie obidvoch spôsobov oblúčkovania je zrejmé z obrázkov 4 a 5.

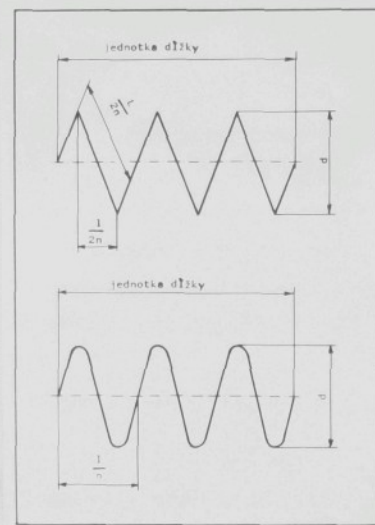
Odvodenie vzťahov pre dĺžku vlákna pre tieto typické spôsoby objemovania je podľa náčrtku na obrázku 6.



Obr. 4 Fotogram vlákna oblúčkovaného v tvaru lomenej čiary /polypropylénový káblík tvarovaný na stroji s pechovacou komôrkou/



Obr. 5 Fotogram vlákna oblúčkovaného v tvaru špirály /polypropylénový bikomponentný káblík po vyvolaní oblúčkovania teplom vo voľnom stave/



Obr. 6 Schématické znázornenie oblúčkovania v tvare lomenej čiary a v tvare špirály

U oblúčkovania v tvare lomenej čiary je možné dĺžku výrovnaneho vlákna potrebnú na jednotku dĺžky vlákna v zobjemnenom súčte vypočítať zo vzťahu:

$$\frac{L}{2n}^2 = d^2 + \frac{1}{2n}^2$$

$$L = 2n \sqrt{d^2 + \frac{1}{2n}^2}$$

Pre oblúčkovanie v tvare špirály platí podľa obrázku 6 vzťah

$$\frac{L}{n}^2 = \pi d^2 + \frac{1}{n}^2$$

$$\frac{L}{n} = \sqrt{\pi^2 + d^2 + \left(\frac{1}{n}\right)^2}$$

$$L = n \sqrt{\pi^2 + d^2 + \left(\frac{1}{n}\right)^2}$$

kde:  $L$  = dĺžka vyravnaneho vlákna, potrebná na jednotku dĺžky vlákna v zobjemnenom stave

$n$  = počet oblúčkov na jednotku dĺžky vlákna v zobjemnenom stave

$d$  = šírka vlákna, resp. priemer špirály v zobjemnenom stave

Ak počítame daný príklad pre dĺžku 10 mm vlákna v zobjemnenom stave, počet oblúčkov 1 až 10/10 mm a  $d = 2, 4, 6, 8, 10$  mm, vypočítame  $L$  ako násobok dĺžky vlákna v zobjemnenom stave. Jednotlivé hodnoty sú uvedené v tabuľkách 1 a 2.

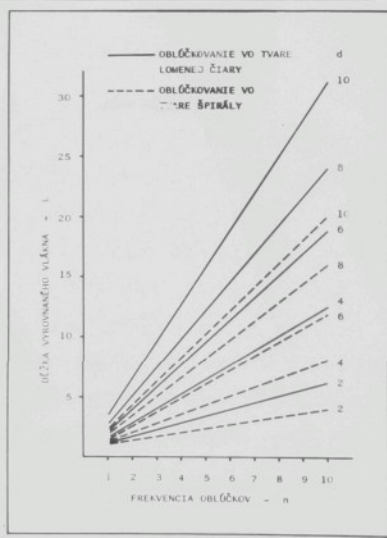
Tab. 1 Dĺžka vyravnaneho vlákna  $L$ , pri oblúčkovani v tvare lomenej čiary, ako násobok dĺžky vlákna v zobjemnenom stave

| d<br>/mm/ | frekvencia oblúčkov / 1/10 mm / |      |      |      |      |      |      |      |      |      |
|-----------|---------------------------------|------|------|------|------|------|------|------|------|------|
|           | 1                               | 2    | 3    | 4    | 5    | 6    | 7    | 8    | 9    | 10   |
| 2         | 1,08                            | 1,26 | 1,56 | 1,89 | 2,24 | 2,60 | 2,97 | 3,35 | 3,74 | 4,12 |
| 4         | 1,26                            | 1,89 | 2,60 | 3,35 | 4,12 | 4,90 | 5,67 | 6,48 | 7,27 | 8,06 |
| 6         | 1,56                            | 2,00 | 3,74 | 4,90 | 6,08 | 7,27 | 8,46 | 9,65 | 10,8 | 12,0 |
| 8         | 1,89                            | 3,35 | 4,90 | 6,48 | 8,06 | 9,65 | 11,2 | 12,8 | 14,4 | 16,0 |
| 10        | 2,24                            | 4,12 | 6,08 | 8,06 | 10,0 | 12,0 | 14,1 | 16,0 | 18,0 | 20,0 |

Tab. 2 Dĺžka vyravnaneho vlákna L, pri oblúčkovani v tvare špirály, ako násobok dĺžky vlákna v zobjemnenom stave

| d<br>/mm/ | frekvencia oblúčkov / 1/10 mm / |      |      |      |      |      |      |      |      |      |
|-----------|---------------------------------|------|------|------|------|------|------|------|------|------|
|           | 1                               | 2    | 3    | 4    | 5    | 6    | 7    | 8    | 9    | 10   |
| 2         | 1,18                            | 1,60 | 1,52 | 2,70 | 3,30 | 3,90 | 4,51 | 5,12 | 5,74 | 6,36 |
| 4         | 1,61                            | 2,70 | 3,90 | 5,12 | 6,36 | 7,60 | 8,85 | 10,1 | 11,3 | 12,6 |
| 6         | 2,13                            | 3,90 | 5,74 | 7,60 | 9,47 | 11,3 | 13,2 | 15,1 | 17,0 | 18,9 |
| 8         | 2,70                            | 5,12 | 7,60 | 10,1 | 12,6 | 15,1 | 17,6 | 20,1 | 22,6 | 25,1 |
| 10        | 3,30                            | 6,36 | 9,47 | 12,6 | 15,7 | 18,9 | 22,0 | 25,1 | 28,3 | 31,4 |

Podobne by sa vypočítala dĺžka vyravnaneho vlákna napríklad pre sinusový alebo iný tvar oblúčkov. Z porovnania vypočítaných hodnôt pre oblúčkovanie v tvare lomenej čiary a špirálovitých oblúčkovanie, vidieť zreteľný rozdiel v dĺžke vyravnaneho vlákna na rovnakú dĺžku zobjemneného vlákna. Názorne túto závislosť ukazuje obrázok 7.



Obr. 7 Dĺžka vyravnaneho vlákna, pri oblúčkovani v tvare lomenej čiary a v tvare špirály, v závislosti na šírke vlákna v zobjemnenom stave a frekvencii oblúčkov

Z uvedeného rozboru plynie záver, že vlákna so špirálovitou oblúčkovitosťou sú viacej roztiažné a sú preto už v princípe

vhodné na prípravu textilií o vysokej roztažnosti. I keď u polyfilného vlákna bude v skutočnosti roztažnosť podstatne menšia ako sú hodnoty uvedené v tabuľkách 1 a 2, predsa sa očakáva najväčšia roztažnosť u špirálovite oblúčkovaných vláken.

## 2.4 Základné poznatky zo spracovania bikomponentných, latentne oblúčkovaných vláken

Ako už bolo uvedené v predošlom, u bikomponentných vláken je možné dosiahnuť extrémne vysokého zobjemnenia tepelnou fixáciou vo voľnom stave. Skrátenie dĺžky zobjemnením je veľmi výrazné. I keď sa v princípe od objemovaných chemických vláken vyžaduje maximálna objemnosť, súčasne je treba brať do úvahy praktickú možnosť aplikácie takýchto vláken spracovaním na textilných strojoch. Spracovanie hodvábu, ktorý má až 80 %-né skrátenie dĺžky v pradene a cca 50 %-né skrátenie v pletenine je bežnými technológiami obtiažne a neúnosné /15/. Tu sa vyžaduje určité umrštvenie oblúčkov vsunutím špeciálnej operácie do procesu prípravy vláken, čo opäťovne zdrží ináč ekonomicky výhodný proces prípravy bikomponentných vláken.

Spracovanie latentne oblúčkovaných vláken sa javí byť východiskom pre uvedenú vysoko objemované vlákna. Ak sa s úspechom podari zvládnuť spracovanie bikomponentných, latentne oblúčkovaných vláken, podstatne sa zlepší ekonomický prinos týchto vláken. Vylúči sa potreba zapojenia procesu zobjemnenia vláken vo voľnom stave pri ich výrobe. Zobjemnenie nekonečných vláken v pradene robí ťažkosť, lebo vysoká zmršťivosť vlákna a špirálovitý charakter oblúčkovitosti sťažujú odvíjanie zobjemneného vlákna, ktoré po zobjemnení je tak zakliesnené, že dochádza pri odvíjani k poškodzovaniu jednotlivých elementárnych vláken.

Spracovanie latentne oblúčkovaných vláken pletiarskymi technológiami je obtiažné hlavne preto, že pre pletenie je potrebná určitá prirodzená pružnosť vlákna. Pri tkani je naopak vysoká roztažnosť vláken nevýhodná, hlavne pri zatkávaní vysokoroztažného materiálu do útku je nebezpečie vzniku priečnej pruhovitosti zapríčinené napríklad nerovnomerným brzdením člnku, rozličnou tvrdosťou predlohouvých cievok a pod. Rovnako pri snovani

je takýto materiál veľmi citlivý na rovnomerlosť brzdenia jednotlivých nití. Použitie latentne oblúčkovaného vlákna na tkanie tieto nevýhody vylučuje a umožňuje zhotovenie tkaniny s do- statočnou rovnomerlosťou vlastnosti tkaniny ako po dĺžke tak aj po šírke.

#### 24.1 Príprava tkanín z latentne oblúčkovaných chemických vláken

Spôsob prípravy vysokoelastických a vysokoobjemových tkanín z latentne oblúčkovaných syntetických vláken je popísaný v prihláške vynálezu, na ktorý bolo vydané autorské osvedčenie /16/. V tejto prihláške sú uvedené aj niektoré príklady dosiahnuté pri prvých skúškach tkania bikomponentných, latentne oblúčkovaných chemických vláken. Okrem hlavného cieľa, hľadania vhodnej aplikácie týchto vláken, prihláška sleduje aj výrobu kvalitativne nového druhu výrobku. Prednosťou navrhovaného postupu je príprava tkanín o vysokej elasticite a nízkej mernej hustote. Obidve tieto vlastnosti sa dajú veľmi efektívne využiť pri celom rade aplikácií, ale vzhľadom na východzí typ vlákna ako aj požiadavky textilného priemyslu hľavne pre náročné druhy bytového textilu.

Pri experimentálnych prácach boli jednotlivé problémy neustále diskutované jednak s pracovníkmi, ktorí riešia výrobu bikomponentných vláken, ďalej s pracovníkmi ktorí riešia aplikáciu nových typov chemických vláken v rôznych odboroch textilného priemyslu a konečne úzka spolupráca bola i s pracoviskami, ktoré by ďalej riešili uplatnenie vysokoelastických a vysokoobjemových tkanín.

Výroba bikomponentných vláken sa rieši vo Výskumnom ústave chemických vláken vo Svite, odkiaľ bol získavaný aj potrebný experimentálny materiál. Určité poznatky boli získané aj z Výskumného ústavu chemických vláken v Lodži v PĽR, kde sa vyriešil a zavedol do výroby bikomponentne oblúčkovaný polyamidový hodváb /17, 18/. Cenné poznatky z aplikácie polyesterového bikomponentne oblúčkovaného hodvábu boli získané priamou diskusiou problémov vo Všeobecnom vedecko-výskumnom ústave syntetických vláken v Kalinine v ZSSR /19/.

Rozsiahlejšia spolupráca počas vypracovania práce bola s niektorými pracoviskami v textilnom priemysle. Dôvodom bolo získanie súčasných poznatkov pri spracovaní chemických vláken, získanie experimentálnych možností v časti tkania a úpravy tkaniny a v neposlednom rade prenos výsledkov získaných z prevedených experimentov do praxe. Pri zavádzaní experimentálnych prác bola úzka spolupráca s týmito organizáciami: Závody 1. mája n.p. Liptovský Mikuláš, Seba n.p. Tanvald, Tatralan n.p. Kežmarok, Tatrasvit n.p. Svit a Výskumný ústav vlnárskej Brno.

Získanie poznatkov od spracovateľov vysokoelastických a vysokoobjemných tkanín bola hlavne z n.p. Nový domov závod Liptovský Mikuláš, z Ústavu pre vývoj nábytku v Bratislave, z Útvaru hlavného architekta mesta Prahy, z ÚBOKu Praha a z n.p. OZ Prostějov. Po predbežnom prieskume o potrebe výroby vysokoelastických a vysokoobjemných tkanín predovšetkým na bytový textil boli s uvedenými pracoviskami diskutované jednotlivé problémy, ktoré pri riešení problematiky vznikli.

Vlastné tkanie sa robilo na klasických člunkových tkacích strojoch, a to od laboratórnych skúšok na vzorkovom tkacom stroji SWII od fy Rosenmund /v n.p. Seba Tanvald/, cez skúšku na tkacom stroji UTAS EM 175 /v n.p. Tatralan Kežmarok/, po skúšky tkania na hodvábnickom tkacom stroji BENININGER Z 125 /vo VÚCHV Svit/.

Pred začatím prác na prevádzkových strojoch boli získané zaujímavé výsledky zo skúšok na vzorkovom tkacom stroji, ktorý tvorí originálne zariadenie, vhodné pre tkanie a vzorovanie pri použití malého množstva materiálu. Prostredníctvom elektromagnetickejho zdvihu listov je možnosť zmeny väzby zmenou podväzu, jednoduchým preložením kontaktných količkov na rozvodnej tabuli.

Tým je daná veľká možnosť vzorovania. Keď je v karte listového stroja vytĺčená väzba, môže byť elektrickou cestou zmenená, pričom možnosti zmeny sú prakticky neohraničené. Zmena väzby je len zmenou podväzu, pričom návod i vzorovnica pre karty zostávajú zachované. Tento vzorkový tkaci stroj má:

24 listov

paprskovú šírku 500 mm

rýchlosť tkania 62 útkov/min

Pre prípravu osnovy slúži ručný vzorkový SWM - snovací stroj, špeciálne konštruovaný pre použitie v spojení s SWM - vzorkovým tkacím strojom. Cievočnica snovacieho stroja pojme 40 cievok. Podrobnejšie je zariadenie uvedené v správe /20/.

Voľba tkacieho stroja musí zodpovedať požiadavkám, ktoré sú kladené na spracovanie bežných nekonečných chemických vláken.

V princípe je možné použiť hodvábnický tkaci stroj /pre jemnejšie vlákna/, bavlnársky tkaci stroj s niektorými menšími úpravami a vlnársky tkaci stroj /pre hrubšie vlákna/. Z hľadiska väzby je najvhodnejší tkaci stroj s listovým strojom. Spôsob zanášania útku bol odskúšaný zatiaľ iba klasickou technológiou - člňkom, ale nevylučuje sa ani možnosť zanášania útku škripcom, ihlou a pod.

Dôležitá je voľba pracovnej šírky. Pretože sa tkaním pripravená tkanina úpravou zobjemní a to zmenšením dĺžky a šírky tkaniny, je nutné s touto vlastnosťou počítať už pri voľbe tkacieho stroja. Výhodnú by bolo použiť tkaci stroj pre tkanie viacerých tkanín vedľa seba, kde pozdĺžne strihanie tkanín by sa dalo nastaviť na potrebnú šírku.

Voľba väzby je pre prípravu vysokoelastických a vysokoobjemných tkanín zvlášť dôležitá. Vhodne zvolenou väzbou je možné regulovať nielen povrchový vzhľad tkaniny, ale aj elastické a objemové vlastnosti hotovej tkaniny. Voľba hustej väzby znemožňuje zobjemnenie a príliš voľná väzba umožňuje sice vysoké zobjemnenie, ale zároveň je tu vyššie nebezpečie zádrhovosti. Pre jednotlivé účely použitia je preto nutné určiť optimálny druh použitej väzby.

Voľnejšiu väzbu je výhodnejšie použiť pri hrubšej jemnosti elementárneho vlákna, kde nebezpečie pretrhu vlákna pri praktickom používaní je nižšie. Výhodou použitia voľnejšej väzby je dosiahnutie vysokej elasticity a objemnosti upravenej tkaniny. Nevýhodou je veľké plošné zmrštenie, čím stúpajú náklady na plošnú jednotku výrobku. Tkanina s voľnou väzbou stráca po tepelnej úprave plošný charakter a vytvára dojem plastického /štruktúrneho/ povrchu.

Ak sa zvolí hustejšia väzba, potláča sa objemovací efekt latentnej obľúčkovanej vláken a elasticita i objemnosť tkaniny je nižšia.

Výhodou takejto tkaniny je pomerne veľká odolnosť pri praktickom používaní a menšie plošné zmrštenie tkaniny tepelnou úpravou. Zvyšovanie hustoty väzby má význam len do určitej miery, ináč tkanina dostane charakter nerozťažnej a máloobjemnej tkaniny /ako tkanina z hladkých, neobjemovaných vláken/.

Najvhodnejšie je zvoliť takú hustotu väzby, aby sa pri dostatočnej súdržnosti jednotlivých nití dosiahla požadovaná elasticita i objemnosť tkaniny po úprave.

Tkanie na klasických člinkových strojoch nemôže robiť ťažkosti. Vyplýva to jednak z nízkej dosťavy nití v osnove a útku, naviac za použitia ľahších väzieb. Pred tkaním nie je potrebné osnovu šlichtovať, ale vyžaduje sa neporušenosť elementárnych vláken jednotlivých osnovných nití. Režnú tkaninu po zhrotení nie je možné pred ďalšou úpravou uvoľniť, aby nedošlo k čiastočnému nepravidelnému zobjemneniu tkaniny. Ak by bolo nutné tkaninu pred ďalšou úpravou ešte prehliadnuť a klasifikovať, muselo by to byť v napnutom stave a so znova nabalením tkaniny na válec. Pretože sa pri riedkej dosťave nití a útkov nepredpokladá výskyt chýb zapričinených materiálom a pri dobrovom stave strojného zariadenia a spoloahlivej obsluhe, ani iných väčších chýb, je možné režnú tkaninu postúpiť na úpravu - zobjemnenie bez medzikontroly režnej tkaniny.

#### 24.2 Možnosti úpravy - zobjemnenia režných tkanín z bikomponentných, latentne oblúčkovanych vláken

Zobjemnenie režnej tkaniny je možné len za predpokladu, že budú už pri začiatku tepelného pôsobenia vytvorené podmienky pre rovnomerné zmrštenie tkaniny po šírke i po dĺžke. Doterajšie postupy fixácie plošných textilií sú riešené tak, že umožňujú stabilizáciu tvaru a rozmerov textilie tepelnou úpravou, pričom dochádza k lineárnemu skráteniu jednotlivých vláken a objemovaci efekt má druhotný význam. Pri takejto úprave sú kontrakčné sily v plošnej textilii dosťatočne veľké na to, aby prekonali odpory vyplývajúce z jednotlivých technologických postupov.

Zobjemnenie tkaniny z bikomponentných, latentne oblúčkovanych vláken je možné len za minimálneho pnutia tkaniny a ideálne by bolo, ak by sa zmršteniu napomáhalo ešte mechanickým spôsobom, t.j. silným pôsobením na tkaninu v smere zmrštenia.

Úprava prvých režných vzoriek tkanín bola orientačne robená v sušiarni za teplôt okolo  $100^{\circ}\text{C}$ , v pare pri tlaku 200 kPa a vo vriacej vode. Pri volbe malých vzoriek tkanín sa nezistili podstatnejšie rozdiely v týchto spôsoboch úpravy. Pri väčších vzorkách sa prejavili problémy, vyplývajúce zo statických podmienok fixácie, ktorá neumožňuje úplné a rovnomerné zobjemnenie režnej tkaniny po celej ploche.

Podrobnejšie výsledky zo skúšok zobjemnenia rôznymi technologickými postupmi budú uvedené v experimentálnej časti práce. V tejto časti je možné uviesť, že pri prevádzaní experimentálnych prác zobjemnenia sa vychádzalo zo zásady, aby bolo možné využiť existujúce úpravarenské stroje len náročných úprav. Za týmto účelom boli odskúšané principiálne odlišné postupy a to: zobjemnenie na fixačnom rúne, v závesnej sušiarni, v horúcej vode, na naparovacom stroji, v bublovej sušiarni určenej pre fixáciu v kuse, v horizontálnej sušiarni, kde nosný pás bol tvorený kovovými trubkami a tkanina bola uložená na pás s predstihom. Posledný postup sa javí po ukončených skúškach ako najoptimálnejší.

Ak by sa v budúcnosti jednalo o realizáciu výsledkov v tkáčoviach, muselo by sa v časti úpravy tkaniny pokračovať vo výskumných prácach v rozsiahlejšom meritku. Ak by nebolo možné uvažovať s úplne novým fixačným zariadením, ktoré by bolo vyvinuté špeciálne pre tento účel, muselo by sa vhodne adaptovať zariadenie, ktoré by spĺňalo základné požiadavky na fixáciu plošnej textilie v plnej šírke, ale vo voľnom stave.

#### 24.3 Metódy hodnotenia elastických a objemových vlastností vysokoelastických a vysokoobjemných tkanín

Cieľom tejto kapitoly nie je chronologicky vymenovať všetky skúšobné postupy, ktoré sa použijú pri hodnotení hotových tkanín, ale uviesť aspoň tie metodiky, ktoré majú z hľadiska elastických a objemových vlastností zvlášť veľký význam a ktoré sú dôležité pre ďalšie uplatnenie týchto tkanín.

Hodnotenie mačkovosti tkanín /21/ ukáže výhody zvlášť u vysokoobjemných tkanín, ktoré sú prakticky nemačkavé preto, že v zmysle

vyrovnanie záhybov pôsobia elastické sily oblúčkovaných vláken v ťahu tak, aby vlákno dosiahlo rovnovážny stav, ktorý získalo po úprave tkaniny. Pri vysokoobjemných tkaninách, ktoré sú hrúbky až niekoľko mm, pôsobia naviac tieto sily na relatívne veľkom ramene, a tak ich účinok je ešte výraznejší.

Veľmi dôležitou skúškou u týchto tkanín je zisťovanie odolnosti proti žmolkovaniu /22/. Výsledky budú odpovedať použitej väzbe a vlastnostiam vláken. Lepšie výsledky sa dosiahnu pri hustejších väzbách a pri hrubších elementárnych vláknach. Výhodou bi-komponentne oblúčkovaných vláken je to, že ak dojde k povytiahnutiu a následnému pretrhnutiu elementárneho vlákna, špirálovitý charakter oblúčkovania do určitej miery umožní skrytie pretrhnutého vlákna.

Zisťovanie celkového a trvalého pretiahnutia podľa normy /23/ je dôležitou skúškou z hľadiska elastických vlastností a stálosťi elasticity. Metódou sa hodnotí stupeň vratnosti materiálu do pôvodného stavu po skončení deformačného účinku. Dobrá elasticita v ťahu a jej stálosť sú hlavnými prednosťami týchto tkanín a umožňujú ich použitie napríklad pre potiahnutie nábytku, u ktorého sa vyžaduje pokrytie zložitých tvarov za súčasnej vysokej zmeny tvaru pri praktickom používaní.

Zistením hrúbky tkaniny podľa normy /24/ sa dá zhodnotiť objemnosť tkaniny. Napríklad u tkanín vytkaných rôznou väzbou, pri ináč rovnakých podmienkach sa dosiahla hrúbka:

2,92 mm pri hustej krepovej väzbe

3,44 mm pri stredne hustej krepovej väzbe

5,57 mm pri vaflovej väzbe

Podľa metódy /24/ sa dá stanoviť merná hmotnosť a pôrovitosť tkaniny, a to podľa vzťahov:

$$s_0 = \frac{M}{t}$$

$$w = 100 - \frac{s_0}{s} \cdot 100$$

kde:  $s_0$  = merná hmotnosť tkaniny /kg . m<sup>-3</sup>/

M = plošná hmotnosť tkaniny /kg . m<sup>-2</sup>/

kde:  $t$  = hrúbku tkaniny /m/

$w$  = pôrovitosť tkaniny /%/

$s$  = merná hmotnosť vlákenného materiálu  
v tkanine /kg . m<sup>-3</sup>/

Pre posúdenie elastickej vlastnosti tkanín v tlaku bol vyvinutý spôsob hodnotenia, ktorý charakterizuje deformovateľnosť tkaniny stlačením pri rôznom mernom pritlaku /25/. Z prevedených experimentálnych skúšok bola zistená závislosť medzi hrúbkou tkaniny  $t$  a tlakom meracej hlavice  $p$ , ktorá sa dá matematicky vyjadriť vzťahom:

$$t = a + b \cdot \log p$$

Závislosť bola stanovená pre tkaniny z rôznych chemických vláken pri tlakoch meracej hlavice od 0,196 do 12,26 kPa. Výpočtom /napríklad na kalkulátore HP 9100 B/ sa získajú konštanty  $a$ ,  $b$ , ktoré charakterizujú priebeh závislosti. Experimentálne namerané veľičiny sú v dobrom súlade s uvedenou závislosťou, o čom svedčí korelačný koeficient nad 98 %.

Z hľadiska hodnotenia elastickej vlastnosti tkanín v ťahu bola urobená rozsiahla práca pri hodnotení hysteréznych kriviek pri cyklickom namáhaní podľa nasledovnej metodiky:

Vzorka tkaniny pripravená podľa normy /23/ sa namáha cyklicky na ťah tak, že pri upínacej dĺžke 100 mm sa volí deformačná rýchlosť 20 mm/min a vzorka sa deformuje do 10 %-nej ťažnosti. Po dosiahnutí tejto ťažnosti sa tkanina rovnakou rýchlosťou uvoľní až na pôvodnú upínaciu dĺžku a potom znova sa deformácia opakuje. Zaznamenáva sa 1., 10., 20. až 100. cyklus. Obdobne sa robia ďalšie skúšky do 20 %-nej ťažnosti avšak použije sa nová vzorka. V skúškach sa pokračuje až do ťažnosti pred pretrhom tkaniny.

Hodnotí sa percento únavy pri jednotlivých zaznamenaných cykloch tak, že sa porovnáva maximálne prutie v tkanine po určitom počte cyklov k prutiu po prvom cykle, ktoré sa vypočíta podľa vzťahu:

$$\% \text{ únavy} = 1 - \frac{F_n}{F_1} \cdot 100$$

kde:  $F_n$  = pnutie v tkanine pri n-tom cyklo

$F_1$  = pnutie v tkanine pri 1. cykle

Cieľom tejto metodiky je vyhodnotiť tkaninu z hladiska okamžitej vratnosti po deformácii v ťahu. Táto vlastnosť je zvlášť dôležitá z hladiska uplatnenia týchto tkanín.

## 2.5 Záver

Po preštudovaní príslušnej literatúry, ako aj zo poznatkov, ktoré boli získané pri vlastnej práci, je možné k teoretickej časti uviesť tieto závery.

Pre riešenie predloženej problematiky existuje rozsiahla literatúra v oblasti prípravy bikomponentných vláken, avšak hlavným zdrojom boli práce, ktoré sa v tejto problematike riešili v ČSSR. Naproti tomu v oblasti aplikácie bikomponentných vláken je literárnych prameňov podstatne menej, zvlášť v oblasti aplikácie latentne oblúčkovaných vláken do tkanín s cieľom získania vysokých elastických a objemových vlastností. Svedčí o tom i udelenie autorského osvedčenia /16/ na riešenie tohto problému.

Z časti metód hodnotenia bikomponentných vláken, ktoré boli špeciálne vyvinuté pre hodnotenie týchto vláken, je možné pre vybraný smér riešenia použiť hľavne tie metódy, ktorými sa dá hodnotiť relativne väčšie množstvo vlákna, pričom sa hodnotí i rovnomernosť oblúčkovania. Z tohto hľadiska je vhodný postup hodnotenia objemovaných vláken meraním hrúbky úpletu. Perspektívou majú predovšetkým kontinuálne postupy hodnotenia, z ktorých overený postup kontinuálneho snímania kontrakcie vlákna po tepelnej fixácii vo voľnom stave prístrojom CC-TESTER sa javí ako optimálny pre posúdenie objemových vlastností. Hodnotenie viskoelastických vlastností bikomponentných vláken má tiež svoje opodstatnenie, hľavne z hľadiska hodnotenia vláken v štádiu ich výskumu. Práce v tejto oblasti sú iba v začiatkoch a tak aj závery je možné považovať za predbežné.

Príprava tkanín a ich zobjemnenie je hlavným problémom, ktorý bude podrobnejšie rozvedený v experimentálnej časti. I keď literatúra v tejto časti je rozsiahla, pri riešení zvolenej problematiky sa musí vychádzať prakticky z poznatkov získaných pri vlastnej práci. Preto rovnako ako pri hodnotení vláken tak aj v tejto časti budú jednotlivé uzávery uvedené v experimentálnej časti.

Hodnotenie objemových a elastických vlastností tkanín tvorí širokú oblasť, ktorú z hľadiska rozsahu prác vo vlastnej príprave tkanín, ďalej z hľadiska experimentálnych možností v tejto oblasti vo VÚCHV nebolo cieľom zvlášť rozsiahle rozpracovať. Dôvodom k určitému zúženiu prác v tejto oblasti boli i ďalšie okolnosti ako napríklad použitie vlákennej suroviny pripravenej za odlišných, často improvizovaných podmienok prípravy.

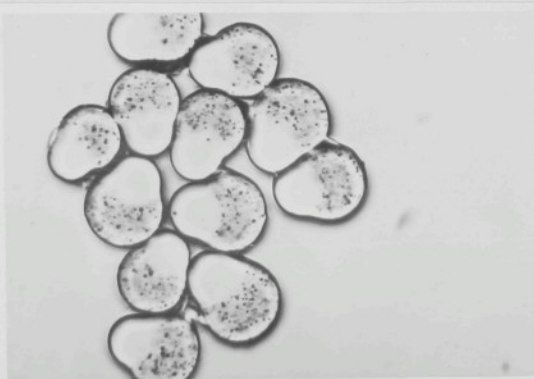
Hlavným cieľom práce je preukázanie možnosti spracovania bikomponentných, latentne oblúčkovaných vláken so zámerom získania kvalitatívne nového druhu textilie a k tomuto účelu bola zamieraňa aj táto časť práce.

### 3. Experimentálna časť

#### 3.1 Úvod

Experimentálne práce na riešení zvolenej problematiky vychádzali zo stavu riešenia bikomponentných vláken. V prvých rokoch riešenia bol zdrojom pre experimentálne práce iba základný výsuum, ktorý produkoval veľmi malé množstvá bikomponentných vláken. Pre sledovaný zámer bolo nutné tieto vlákna niekolkonásobne združovať. Kilogramové množstvá umožňovali iba orientačné skúšky sestkávaním do útku, prípadne prípravu tkanín na vzorkových tkaných strojoch.

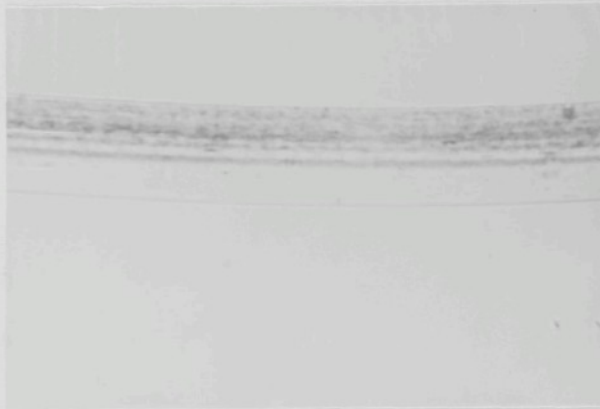
Ke hodnoteniu použitých bikomponentných vláken sa pristupovalo postupne tak, ako sa vyvíjali a zavádzali jednotlivé metódy. Prvé bikomponentné vlákna, ktoré boli vo VÚCHV vyrobené, neboli ruhového prierezu, pretože boli zvlákňované adaptorovým systémom tak, že každá zložka mala samostatný otvor a k spájaniu jednotlivých zložiek dochádzalo tesne po výstupe taveniny polyméru z hubice. Priečny rez takýchto vláken je znázornený na obrázku 8.



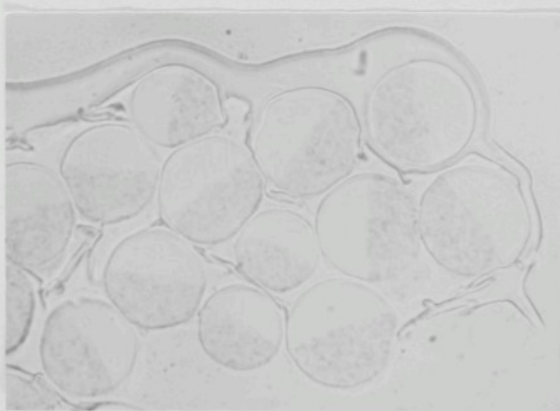
br. 8 Svetelnomikroskopický obraz priečneho rezu bikomponentného vlákna pripraveného adaptorovým systémom  
Zväčšenie: 600:1

ďalej skúšky prípravy bikomponentných vláken prebiehali pre- ažne systémom spájania zložiek tesne pred vstupom do otvorov zvlákňovacej hubice. Otvory hubice mali kruhový prierez. Pozdĺžne pohľady a priečne rezy vláken farbených v hmotě farby modrej

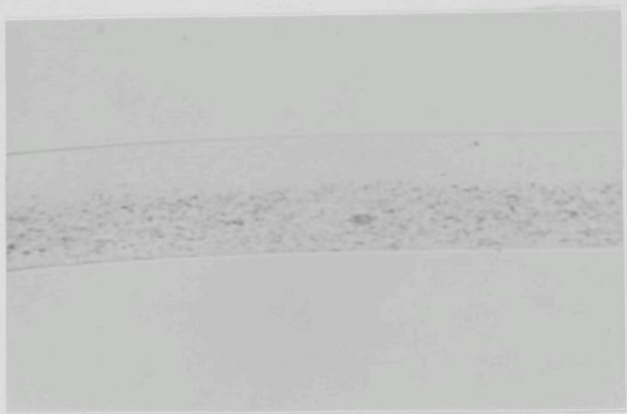
sú na obrázkoch 9 a 10, farby ružovej na obrázkoch 11 a 12.



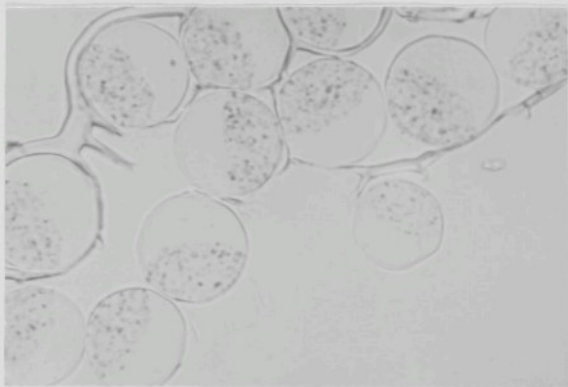
Obr. 9 Svetelnomikroskopický obraz modrého bikomponentného polypropylénového vlákna  
Zväčšenie: 600:1



Obr. 10 Svetelnomikroskopický obraz priečneho rezu modrých bikomponentných polypropylénových vláken  
Zväčšenie: 600:1



Obr. 11 Svetelnomikroskopický obraz ružového bikomponentného polypropylénového vlákna  
Zväčšenie: 600:1



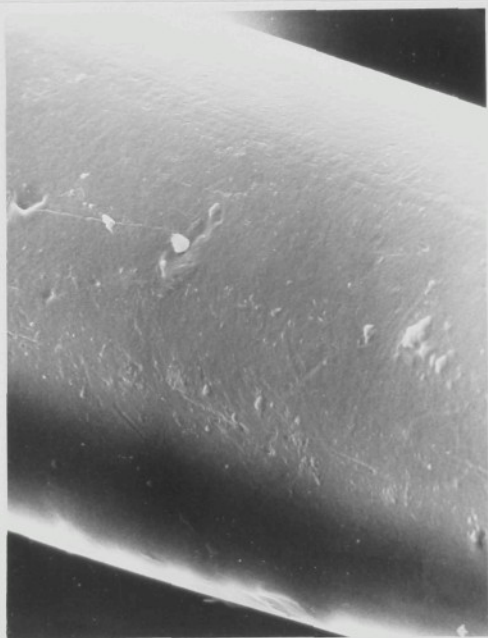
Obr. 12 Svetelnomikroskopický obraz priečneho rezu ružových bikomponentných polypropylénových vláken  
Zväčšenie: 600:1

Na uvedených obrázkoch je zrejmé rozloženie jednotlivých zložiek ako v priereze tak aj pozdĺž vlákna. Hodnotenie bikomponentných vláken z priečnych rezov má širší význam. Okrem výhodnotenia profilu vlákna je tu možnosť pozorovania rozloženia

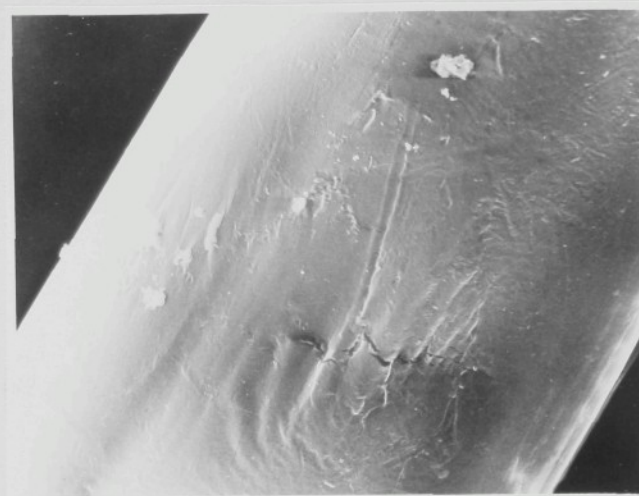
zložiek vo vlákne a vyhodnotenie pomeru jednotlivých zložiek /plánnimetricky/ ako i hodnotenie hrúbky vlákna.

Vlákna, ktorých mikroskopické snímky sú na obr. 9 až 12, boli základom ďalších experimentálnych prác.

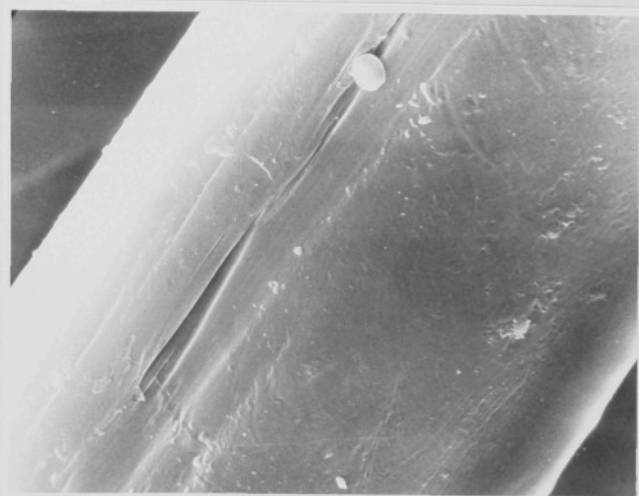
Ružové polypropylénové bikomponentné vlákna boli sledované i riadičkovacím elektrónovým mikroskopom. Obrázok 13 zobrazuje povrch, ktorý vykazuje rovnomernú štruktúru a ktorý prevláda u hodnoteného vlákna. Obrázky 14 a 15 ukazujú povrchovú defektosť v priečnom smere, ktorá vzniká pri tvorbe vlákna. Pozdĺžne ryhy na obrázku 15 sú spôsobené pravdepodobne prímesami vo vlákne /pigment, stabilizátory/. Určité zhľuky na povrchu vlákna u všetkých troch obrázkov je možné pripisať preparačným prostriedkom.



Obr. 13 Elektronomikroskopický obraz povrchu bikomponentného polypropylénového vlákna  
Zväčšenie: 3 600:1



Obr. 14 Elektronomikroskopický obraz povrchu bikomponentného polypropylénového vlákna s priečnymi defektmi  
Zväčšenie: 3 600:1



Obr. 15 Elektronomikroskopický obraz povrchu bikomponentného polypropylénového vlákna s priečnymi a pozdĺžnymi defektmi  
Zväčšenie: 3 600:1

### 3.2 Štúdium podmienok prípravy polypropylénových, bikomponentných, latentne oblúčkovaných vláken z hladiska kontrakčných sôl a lineárneho zmrštenia

Pre získanie tkaniny, ktorá bude vhodná na úpravu zobjemnením je dôležité, aby východzie vlákna malo pri tepelnej úprave okrem objemovacieho efektu dostatočné kontrakčné sily, umožňujúce zobjemnenie i vo väzbou obmedzenom systéme nití - tkanine. Podmienkami prípravy vláken sa dá podstatne ovplyvniť oblúčkovitosť ale i ostatné vlastnosti vláken.

Do akej miery má spôsob prípravy vláken vplyv na kontrakčné sily a lineárne zmrštenie ukázali experimentálne skúšky. Pre hodnotenie bol použitý materiál z poloprevádzkových skúšok /26/. Z hľadiska sledovania kontrakčných sôl a lineárneho zmrštenia boli študované dve série vzoriek vláken označené písmenom:

b - režný polypropylénový, bikomponentný, latentne oblúčkovaný káblik o jemnosti cca 60 tex

z - farbený v hmote polypropylénový, bikomponentný, latentne oblúčkovaný káblik o jemnosti cca 90 tex /farba zlatožltá/

Z obidvoch sérii boli pripravené rovnakým spôsobom vzorky, ktoré je možné zaradiť do jednotlivých skupín v závislosti na zmene parametrov prípravy tak, ako je uvedené v tabuľke 3.

Tabuľka 3 je prehľadom zmien na dĺžiacom stroji DK 80/16 pri ktorých bolo vlákno dĺžené. Všetky ostatné technologické parametre prípravy vlákna boli rovnaké.

U všetkých vzoriek, uvedených v tabuľke 3 boli zhodnotené tieto vlastnosti:

KK-hodnota /%/ pri teplote  $70^{\circ}\text{C}$

kontrakčná sila / mN/tex / pri teplotách  $70$  až  $140^{\circ}\text{C}$

lineárne zmrštenie /%/ pri teplotách  $70$  až  $140^{\circ}\text{C}$

Okrem vzoriek uvedených v tabuľke 3 boli dĺžením bez ohrevu s navijaním na kops pripravené vlákna, ktoré sú označené písmenami b u režného a z u farbeného v hmote farby zlatožltej.

Tieto vzorky vykazovali kontrakčné sily, ktoré sú prehľadne uvedené v tabuľkách 4 a 5.

Tab. 3 Podmienky prípravy polypropylénových, bikomponentných,  
latentne oblúčkovaných vláken na dĺžiacom stroji  
DK 80/16

| Označenie<br>vzorky | III. galeta /relax.galeta/ |              | Ohrev hnacie-<br>ho navijacie-<br>ho váľca<br>/ °C / |
|---------------------|----------------------------|--------------|--|
|                     | teplota / °C /             | počet ovinov |  |
| 1b, 1z              | -                          | 5            | -  |
| 2b, 2z              | -                          | 2            | -  |
| 3b, 3z              | -                          | 8            | -  |
| 4b                  | -                          | 10           | -  |
| 5b, 5z              | 140                        | 5            | -  |
| 6b, 6z              | 140                        | 2            | -  |
| 7b, 7z              | 140                        | 8            | -  |
| 8b, 8z              | 140                        | 10           | -  |
| 9b, 9z              | 150                        | 2            | -  |
| 10b, 10z            | 150                        | 5            | -  |
| 11b, 11z            | 150                        | 8            | -  |
| 12b, 12z            | 150                        | 10           | -  |
| 13b, 13z            | -                          | 5            | 100  |
| 14b, 14z            | -                          | 5            | 120  |
| 15b, 15z            | -                          | 5            | 130  |
| 16b, 16z            | -                          | 5            | 140  |
| 17b, 17z            | -                          | 5            | 150  |
| 18b, 18z            | 140                        | 5            | 130  |
| 19b, 19z            | 140                        | 5            | 140  |
| 20b, 20z            | 140                        | 5            | 150  |

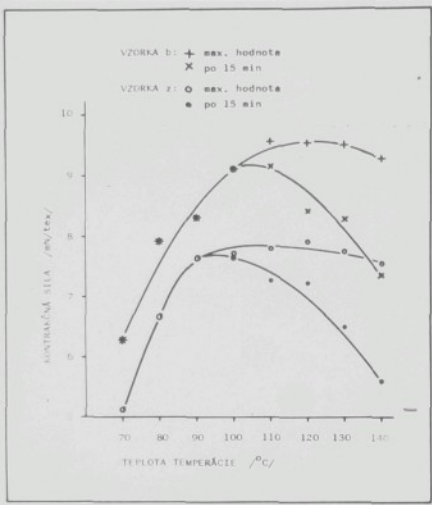
Tab. 4 Kontrakčné sily polypropylénového, bikomponentného, latentne oblúčkovaného káblika režného /vzorka b/ vyjadrené v mN/tex

| Teplota<br>temperácie<br>/ °C / | doba temperácie /min/ |      |      |      |      |
|---------------------------------|-----------------------|------|------|------|------|
|                                 | 0,5                   | 1    | 5    | 10   | 15   |
| 70                              | 2,85                  | 3,83 | 5,41 | 5,97 | 6,28 |
| 80                              | 6,06                  | 6,57 | 7,48 | 7,78 | 7,92 |
| 90                              | 7,28                  | 7,66 | 8,16 | 8,22 | 8,27 |
| 100                             | 8,80                  | 9,03 | 9,18 | 9,14 | 9,13 |
| 110                             | 9,55                  | 9,58 | 9,40 | 9,31 | 9,18 |
| 120                             | 9,54                  | 9,32 | 8,82 | 8,50 | 8,41 |
| 130                             | 9,52                  | 8,87 | 8,51 | 8,45 | 8,27 |
| 140                             | 9,26                  | 7,93 | 7,55 | 7,45 | 4,34 |

Tab. 5 Kontrakčné sily polypropylénového, bikomponentného, latentne oblúčkovaného káblika farbeného v hmote /vzorka z/ vyjadrené v mN/tex

| Teplota<br>temperácie<br>/ °C / | doba temperácie /min/ |      |      |      |      |
|---------------------------------|-----------------------|------|------|------|------|
|                                 | 0,5                   | 1    | 5    | 10   | 15   |
| 70                              | 2,19                  | 3,02 | 4,42 | 4,84 | 5,16 |
| 80                              | 4,76                  | 5,42 | 6,14 | 6,55 | 6,67 |
| 90                              | 6,74                  | 7,06 | 7,51 | 7,61 | 7,62 |
| 100                             | 7,38                  | 7,56 | 7,70 | 7,64 | 7,63 |
| 110                             | 7,51                  | 7,80 | 7,55 | 7,37 | 7,24 |
| 120                             | 7,93                  | 7,71 | 7,43 | 7,26 | 7,21 |
| 130                             | 7,74                  | 7,08 | 6,73 | 6,58 | 6,51 |
| 140                             | 7,56                  | 6,30 | 5,82 | 5,67 | 5,60 |

Hodnoty maximálnych kontrakčných sôl /nameraných počas 15 min sledovania/ a hodnoty kontrakčných sôl po 15 min temperácie sú prehľadne uvedené na obrázku 16.



Obr. 16 Kontrakčné sily polypropylénových, bikomponentných, latentne oblúčkovaných káblíkov /vzorky b, z/ v závislosti na teplote

Z tabuľiek 4, 5 a obrázku 16 je možné vyvodíť tieto závery:

- vyššie hodnoty kontrakčných sil sú u režného káblika
- kontrakčné sily rastú s teplotou
- pri teplote 90 °C u vzorky z a teplote 110 °C u vzorky b už dochádza len k pozvolnému rastu kontrakčnej sily a pri teplotách 130 až 140 °C dochádza k poklesu kontrakčnej sily
- s rastúcou teplotou maximálna kontrakčná sila vo vlákne vzniká skôr

Už z týchto výsledkov u vzoriek b a z vidieť, že štúdium vplyvu teploty, doby temperácie i podmienok prípravy bikomponentných vláken je z hľadiska veľkosti kontrakčných sil dôležité, pretože pre prípravu vysokoelastických a vysokoobjemných tkanín sú najvhodnejšie také podmienky prípravy, pri ktorých sa dosiahne vláknou s maximálnou kontrakčnou silou pri tepelnom pôsobení.

V rovnakom rozsahu ako vzorky vláken b, z boli analyzované i vzorky vláken 1b až 20b a 1z až 20z, ktorých podmienky pri dĺžení sú uvedené v tabuľke 3. Výsledky pre svoju rozsiahlosť budú uvedené

len stručnejšie a to hlavne maximálne zrážacie sily pri 140 °C a ich priemerná hodnota pre jednotlivé skupiny vzoriek 1-4, 5-8, 9-12, 13-17 a 18-20. Pre komplexnejšie zhodnotenie objemových vlastností boli porovnané výsledky KK-hodnoty, lineárneho zmrštenia pri 140 °C a maximálnej kontrakčnej sily pri 70 a 140 °C u jednotlivých hodnotených vzoriek. Prehľad výsledkov je v tabuľkách 6 a 7.

Tab. 6 KK-hodnota, lineárne zmrštenie a maximálne kontrakčné sily pri uvedených teplotách u vzoriek 1b - 20b

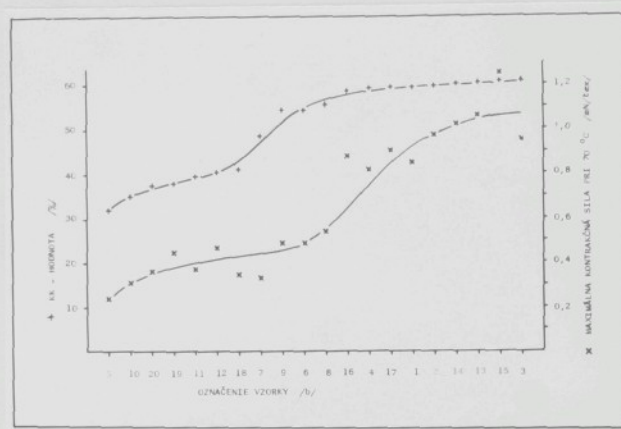
| Označenie<br>vzorky | KK-hodnota<br>/pri 70 °C/<br>%/ | Max.kontrakč-<br>ná sila pri<br>70 °C<br>/ mN/tex / | Lineárne<br>zmrštenie<br>pri 140 °C<br>/%/ | Max.kon-<br>trakčná sila<br>pri 140 °C<br>/ mN/tex/ |
|---------------------|---------------------------------|---|--|---|
| 1b                  | 59,4                            | 0,85  | 18,9                                       | 2,42  |
| 2b                  | 59,7                            | 0,97  | 19,2                                       | 2,57  |
| 3b                  | 66,6                            | 0,95  | 20,8                                       | 3,42  |
| 4b                  | 59,3                            | 0,82  | 21,6                                       | 3,21  |
| 5b                  | 31,9                            | 0,24  | 6,2  | 3,37  |
| 6b                  | 54,2                            | 0,49  | 13,8                                       | 3,93  |
| 7b                  | 48,7                            | 0,33  | 10,0                                       | 4,74  |
| 8b                  | 55,7                            | 0,54  | 14,2                                       | 6,27  |
| 9b                  | 54,2                            | 0,49  | 11,1                                       | 3,34  |
| 10b                 | 35,0                            | 0,31  | 6,0  | 3,91  |
| 11b                 | 39,5                            | 0,37  | 7,8  | 4,43  |
| 12b                 | 40,3                            | 0,47  | 9,4  | 4,85  |
| 13b                 | 60,4                            | 1,06  | 22,7                                       | 3,78  |
| 14b                 | 60,0                            | 1,02  | 22,3                                       | 3,55  |
| 15b                 | 60,6                            | 1,25  | 22,0                                       | 4,41  |
| 16b                 | 58,8                            | 0,88  | 21,4                                       | 4,17  |
| 17b                 | 59,3                            | 0,90  | 22,4                                       | 4,56  |
| 18b                 | 41,1                            | 0,35  | 10,8                                       | 5,17  |
| 19b                 | 38,0                            | 0,45  | 8,1  | 4,70  |
| 20b                 | 37,6                            | 0,36  | 8,5  | 4,72  |

Tab. 7 KK-hodnota, lineárne zmrštenie a maximálne kontrakčné sily pri uvedených teplotách u vzoriek lz - 20z

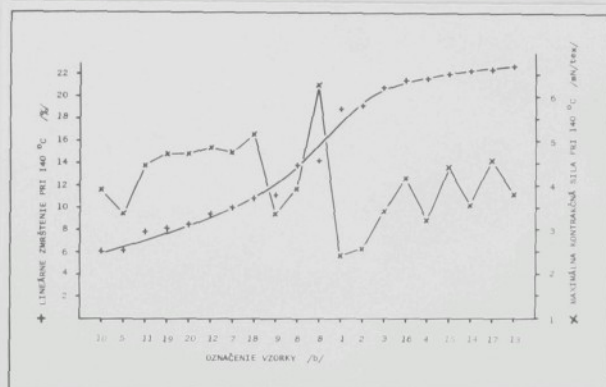
| Označenie<br>vzorky | KK-hodnota<br>/pri 70 °C/<br>%/ | Max.kontrakč-<br>ná sila pri<br>70 °C<br>/ mN/tex / | Lineárne<br>zmrštenie<br>pri 140 °C<br>/%/ | Max.kon-<br>trakčná sila<br>pri 140 °C<br>/ mN/tex / |
|---------------------|---------------------------------|---|--|--|
| lz                  | 50,8                            | 0,59  | 10,7                                       | 1,77   |
| 2z                  | 53,2                            | 0,69  | 12,5                                       | 3,17   |
| 3z                  | 52,9                            | 0,57  | 12,8                                       | 2,96   |
| 5z                  | 19,7                            | 0,15  | 5,0  | 3,67   |
| 6z                  | 19,7                            | 0,23  | 5,4  | 3,16   |
| 7z                  | 27,8                            | 0,24  | 6,2  | 5,00   |
| 8z                  | 35,1                            | 0,33  | 6,5  | 5,84   |
| 9z                  | 31,5                            | 0,23  | 4,9  | 3,58   |
| 10z                 | 15,3                            | 0,11  | 4,0  | 4,02   |
| 11z                 | 10,3                            | 0,12  | 4,0  | 4,03   |
| 12z                 | 8,4                             | 0,22  | 4,7  | 3,83   |
| 13z                 | 57,5                            | 1,46  | 16,0                                       | 5,75   |
| 14z                 | 56,7                            | 1,02  | 15,1                                       | 5,07   |
| 15z                 | 54,7                            | 0,79  | 14,3                                       | 5,19   |
| 16z                 | 45,4                            | 0,68  | 14,7                                       | 4,79   |
| 17z                 | 39,5                            | 0,55  | 12,3                                       | 3,91   |
| 18z                 | 19,3                            | 0,23  | 4,7  | 4,24   |
| 19z                 | 10,3                            | 0,22  | 4,6  | 4,43   |
| 20z                 | 11,2                            | 0,23  | 4,3  | 4,13   |

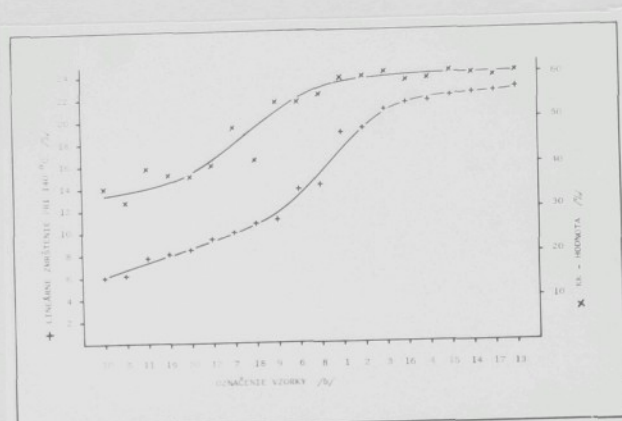
Výsledky uvedené v tabuľke 6 sú graficky spracované na obrázkoch 17, 18, 19 a výsledky uvedené v tabuľke 7 na obrázkoch 20, 21, 22.

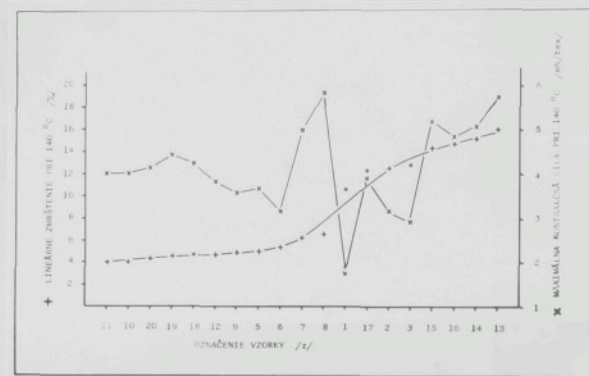
Obrázky 17 a 20 znázorňujú závislosť maximálnej kontrakčnej sily na KK-hodnote, pričom vzorky sú usporiadané v poradí podľa stúpajúcej KK-hodnoty. Ako u režného tak aj u farbeného káblika je vidieť priamu úmernosť medzi KK-hodnotou a maximálnou kontrakčnou silou pri teplote 70 °C, t.j. pri teplote, pri ktorej je



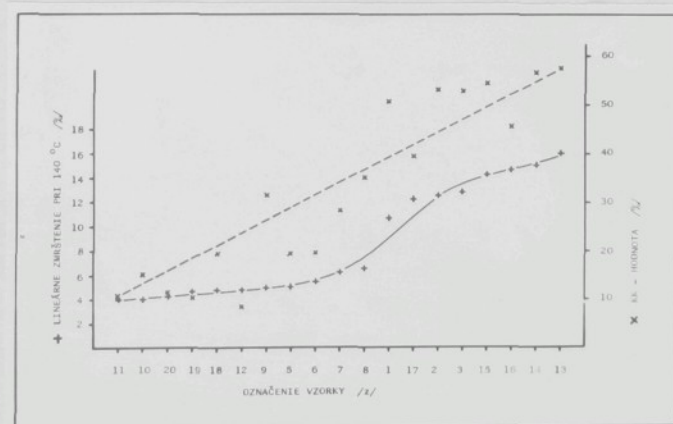
Obr. 17 Závislosť maximálnej kontrakčnej sily pri 70 °C na KK-hodnote u vzoriek káblika 1b - 20b /vzorky sú usporiadané podľa stúpajúcej KK-hodnoty/







Obr. 21 Maximálna kontrakčná sila pri 140 °C a lineárne zmrštenie u vzoriek káblika lz - 20z /vzorky sú usporiadané podľa stúpajúceho lineárneho zmrštenia/



Obr. 22 Závislosť KK-hodnoty na lineárnom zmrštení u vzoriek káblika lz - 20z /vzorky sú usporiadané podľa stúpajúceho lineárneho zmrštenia/

stanovené KK-hodnota. Maximálna kontrakčná sila sa myslí maximálna sila zaznamenaná počas 15minutového merania.

Na obr. 18 a 21 sú vynesené závislosti medzi lineárnym zmrštením pri teplote  $140^{\circ}\text{C}$  a maximálnou kontrakčnou silou pri rovnakej teplote. Zaujímavý je poznatok, že lineárne zmrštenie nezávisí od veľkosti kontrakčnej sily, ale i záver, že lineárne zmrštenie je priamo úmerné KK-hodnote, teda objemnosti vlákna ako ukazujú obrázky 19 a 22.

Z obrázkov 17 až 22 je možné urobiť záver a to vzhľadom na spôsob dĺženia vlákna. U režného i farebného kábliku majú najvyššie kontrakčné sily i objemnosť vyjadrenú KK-hodnotou vzorky vláken v skupine od 13 do 17, t.j. tie, ktoré sú dĺžené bez ohrevu na III. galete.

Cieľom ďalšej práce bolo sledovať závislosť kontrakčných sôl na teplote tak, aby sa mohol určiť optimálny tepelný režim fixácie režnej tkaniny. Hodnoty maximálnych kontrakčných sôl u jednotlivých vzoriek pre teploty 70 až  $140^{\circ}\text{C}$  sú v tabuľkách 8 a 9. Už z hodnôt v tabuľkách vidieť, že sú značné rozdiely v hodnotach kontrakčných sôl u jednotlivých vzoriek. V podstate u všetkých vzoriek dochádza k stúpaniu kontrakčnej sily s rastúcou teplotou. Do teploty  $100^{\circ}\text{C}$  je stúpanie kontrakčnej sily pozvolná, nad túto teplotu stúpa kontrakčná sila výrazne, až pri teplotách  $120-140^{\circ}\text{C}$  niekoľkonásobne prevyšuje kontrakčnú silu stanovenú pri teplotách do  $100^{\circ}\text{C}$ . Tento poznatok je zvlášť dôležitý pre volbu teploty na zobjemnenie tkaniny.

Hodnoty maximálnych kontrakčných sôl uvedené v tabuľkách 8 a 9 ukazujú, že medzi jednotlivými skupinami vzoriek /1-4, 5-8, 9-12, 13-17, 18-20/ sú podstatnejšie rozdiely ako medzi vzorkami v rámci jednej skupiny. Bolo to overené aj grafickým znázornením /obrázky nie sú uvedené, pretože pre veľké množstvo preliajúcich sa kriviek by boli neprehľadné/. Pre názornosť boli za určitých zjednodušujúcich predpokladov vypočítané priemerne hodnoty maximálnej kontrakčnej sily v jednotlivých skupinách vzoriek. Priemerné hodnoty maximálnych kontrakčných sôl u jednotlivých skupín vzoriek sú graficky uvedené na obrázkoch 23 a 24.

Tab. 8 Maximálne kontrakčné sily u vzoriek káblika 1b - 20b vyjadrené v mN/tex

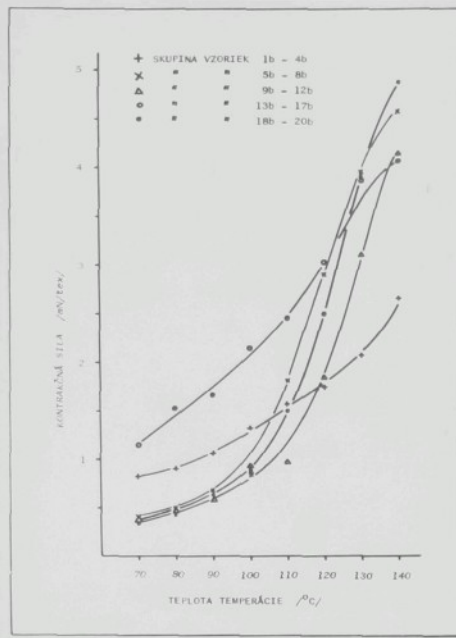
| Označenie<br>vzorky | Teplota / temperácie / °C / |      |      |      |      |      |      |      |
|---------------------|-----------------------------|------|------|------|------|------|------|------|
|                     | 70                          | 80   | 90   | 100  | 110  | 120  | 130  | 140  |
| 1b                  | 0,72                        | 0,86 | 1,04 | 1,18 | 1,73 | 1,67 | 1,75 | 2,50 |
| 2b                  | 0,97                        | 1,06 | 1,15 | 1,49 | 1,98 | 2,35 | 2,43 | 2,57 |
| 3b                  | 0,77                        | 0,87 | 1,09 | 1,22 | 1,36 | 1,48 | 1,77 | 2,42 |
| 4b                  | 0,82                        | 0,83 | 0,97 | 1,43 | 1,21 | 1,49 | 2,39 | 3,21 |
| 5b                  | 0,24                        | 0,27 | 0,30 | 0,53 | 0,97 | 1,73 | 2,57 | 3,37 |
| 6b                  | 0,49                        | 0,68 | 0,91 | 0,93 | 2,18 | 2,88 | 3,78 | 3,93 |
| 7b                  | 0,33                        | 0,42 | 0,70 | 0,83 | 1,60 | 3,04 | 4,22 | 4,74 |
| 8b                  | 0,54                        | 0,63 | 0,86 | 1,12 | 2,48 | 3,98 | 5,21 | 6,27 |
| 9b                  | 0,49                        | 0,58 | 0,78 | 0,97 | 1,34 | 1,96 | 1,84 | 3,34 |
| 10b                 | 0,31                        | 0,43 | 0,46 | 0,72 | 0,79 | 1,86 | 2,48 | 3,91 |
| 11b                 | 0,37                        | 0,50 | 0,50 | 0,73 | 0,83 | 1,62 | 3,75 | 4,45 |
| 12b                 | 0,47                        | 0,50 | 0,73 | 1,30 | 0,96 | 1,98 | 4,30 | 4,85 |
| 13b                 | 1,06                        | 1,41 | 1,37 | 1,77 | 2,20 | 2,61 | 3,76 | 3,78 |
| 14b                 | 1,02                        | 1,25 | 1,47 | 1,93 | 1,90 | 2,42 | 3,34 | 3,49 |
| 15b                 | 1,25                        | 1,68 | 1,78 | 2,28 | 2,66 | 3,44 | 4,12 | 4,41 |
| 16b                 | 1,14                        | 1,60 | 1,82 | 2,26 | 2,51 | 3,15 | 3,87 | 4,17 |
| 17b                 | 1,28                        | 1,68 | 1,96 | 2,49 | 2,96 | 3,52 | 4,15 | 4,56 |
| 18b                 | 0,35                        | 0,49 | 0,81 | 1,11 | 1,91 | 3,19 | 4,35 | 5,17 |
| 19b                 | 0,45                        | 0,50 | 0,56 | 0,91 | 1,48 | 2,10 | 3,63 | 4,70 |
| 20b                 | 0,36                        | 0,47 | 0,62 | 0,71 | 1,10 | 2,17 | 3,74 | 4,72 |

Tab. 9 Maximálne kontrakčné sily u vzoriek káblika lz - 20z vyjadrené v mN/tex

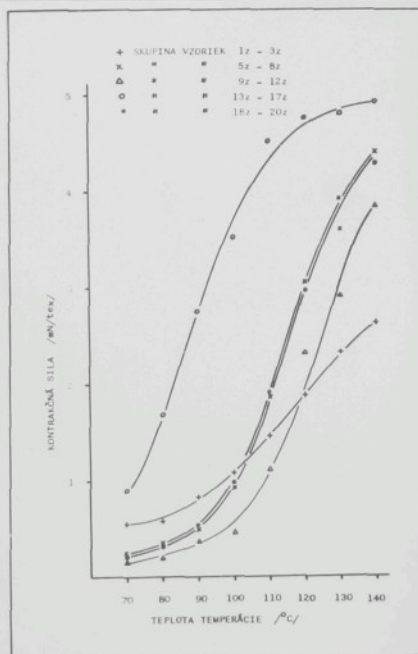
| Označenie<br>vzorky | Teplota temperácie / °C / |      |      |      |      |      |      |      |
|---------------------|---------------------------|------|------|------|------|------|------|------|
|                     | 70                        | 80   | 90   | 100  | 110  | 120  | 130  | 140  |
| lz                  | 0,42                      | 0,50 | 0,67 | 0,79 | 0,82 | 1,38 | 1,61 | 1,77 |
| 2z                  | 0,69                      | 0,62 | 0,94 | 1,45 | 2,30 | 2,55 | 2,96 | 3,17 |
| 3z                  | 0,57                      | 0,61 | 0,85 | 0,94 | 1,26 | 1,68 | 2,45 | 2,96 |
| 5z                  | 0,15                      | 0,18 | 0,26 | 0,48 | 0,94 | 1,92 | 2,57 | 3,67 |
| 6z                  | 0,23                      | 0,24 | 0,58 | 0,81 | 1,29 | 2,19 | 2,49 | 3,16 |
| 7z                  | 0,24                      | 0,40 | 0,50 | 1,05 | 2,21 | 3,75 | 4,42 | 5,00 |
| 8z                  | 0,33                      | 0,56 | 0,67 | 1,33 | 3,10 | 4,35 | 4,97 | 5,84 |
| 9z                  | 0,23                      | 0,30 | 0,69 | 0,63 | 1,73 | 2,26 | 2,92 | 3,58 |
| 10z                 | 0,11                      | 0,16 | 0,30 | 0,37 | 0,80 | 2,42 | 2,75 | 4,02 |
| 11z                 | 0,12                      | 0,17 | 0,21 | 0,26 | 0,68 | 1,70 | 2,36 | 4,03 |
| 12z                 | 0,22                      | 0,22 | 0,33 | 0,49 | 1,31 | 2,92 | 3,63 | 3,83 |
| 13z                 | 1,46                      | 2,91 | 4,31 | 4,99 | 5,16 | 5,64 | 5,67 | 5,75 |
| 14z                 | 1,02                      | 1,60 | 3,00 | 4,05 | 4,65 | 4,98 | 4,99 | 5,07 |
| 15z                 | 0,79                      | 1,68 | 2,75 | 3,65 | 4,27 | 4,85 | 4,88 | 5,19 |
| 16z                 | 0,68                      | 1,17 | 2,16 | 2,84 | 3,54 | 4,52 | 4,54 | 4,79 |
| 17z                 | 0,55                      | 0,97 | 1,52 | 2,06 | 3,00 | 3,89 | 3,95 | 3,91 |
| 18z                 | 0,23                      | 0,38 | 0,48 | 0,92 | 1,98 | 3,38 | 4,02 | 4,24 |
| 19z                 | 0,22                      | 0,38 | 0,59 | 0,89 | 1,89 | 2,74 | 4,07 | 4,43 |
| 20z                 | 0,23                      | 0,25 | 0,51 | 1,09 | 1,73 | 2,79 | 3,68 | 4,13 |

Z obrázkov 23 a 24 plynie, že prakticky zhodný priebeh majú skupiny vzoriek 5-8, 9-12, 18-20. Tieto vzorky boli dížené pri ohrevu III. /relaxačnej/ galety. Relativne najvyššie kontrakčné sily majú vzorky 13-17, ktoré boli pripravené bez ohrevu III. /relaxačnej/ galety. Tieto podmienky díženia sú teda z experimentálne odskúšaných najvhodnejšie pre riešenú aplikáciu polypropylénových, bikomponentných, latentne oblúčkovanych vláken.

Kontrakčné sily vláken dížených bez ohrevu III. /relaxačnej/ galety dosahujú vyšších hodnôt už pri nižších teplotách, avšak so stúpajúcou teplotou rastú pozvolnejšie.



Obr. 23 Závislosť priemerných hodnôt maximálnych kontrakčných síl na teplote u jednotlivých skupín vzoriek 1b - 20b

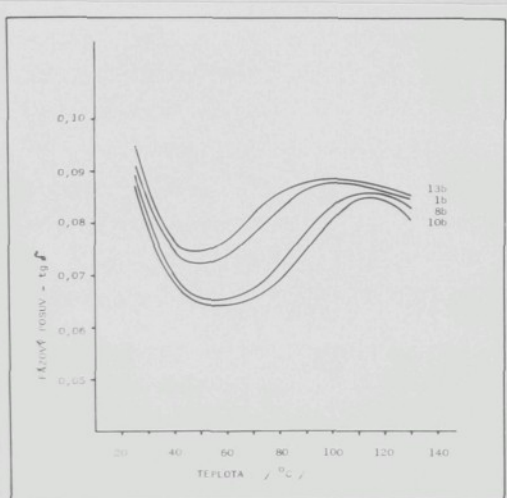


Obr. 24 Závislosť priemerných hodnôt maximálnych kontrakčných síl na teplote u jednotlivých skupín vzoriek 1z - 20z

Problematika kontrakčných sôl bola podrobnejšie študovaná preto, že pre získanie dobrých elastických a objemových vlastností tkanín majú kontrakčné sily popri samooblúčkujúcich vlastnosťach vlákna prvoradý význam. Uvedený rozbor ukázal, že veľkosť kontrakčných sôl závisí na technologických podmienkach prípravy vlákna a na teplote temperácie. O význame kontrakčných sôl pre zobjemnenie tkanín fixáciou hovorí napríklad prevedenie hodnoty 4 mN/tex na 1 m širokú tkaninu z kábliku 50 tex o hustote 160 nití/100 mm. Sila, ktorá pôsobí po dĺžke tkaniny, je až 320 N, v prípade že je tkanina pevne upnutá.

### 3.3 Hodnotenie viskoelastických vlastností polypropylénových, bikomponentných, latentne oblúčkovanych vláken

Pre štúdium závislosti podmienok prípravy vlákna na viskoelastickej vlastnosti boli použité vzorky vláken hodnotené v kapitole 3.2. Vybrané boli vzorky, u ktorých sa namerali najväčšie rozdiely v maximálnej kontrakčnej sile a v lineárnom zmrštení pri 140 °C. Tepelnú závislosť  $\text{tg}\delta$  pre jednotlivé vzorky ukazuje obrázok 25.



Obr. 25 Tepelná závislosť fázového posuvu  $\text{tg}\delta$  sledovaných vzoriek stanovená prístrojom REOVIBRON

Prehľad sledovaných parametrov u vybraných vzoriek káblika v závislosti od polohy maxima fázového posuvu dáva tabuľka 10.

Tab. 10 Závislosť medzi teplotou maxima  $\text{tg } \delta'$ , kontrakčnými silami, lineárnym zmrštením a KK-hodnotou u vybraných vzoriek káblika

| Označenie vzorky | Teplota $\text{tg } \delta'_{\text{max}}$ / °C / | Max.kontrakčná sila pri 70 °C / mN/tex / | Lineárne zmrštenie pri 140 °C / % / | KK-hodnota / % / |
|------------------|--|--|-------------------------------------|------------------|
| 10b              | 117  | 0,31                                     | 6,0                                 | 35,0             |
| 8b               | 115  | 0,54                                     | 14,2                                | 55,7             |
| 1b               | 98   | 0,85                                     | 18,9                                | 59,4             |
| 13b              | 91   | 1,06                                     | 22,7                                | 60,4             |

Z obrázku 25 a hodnôt v tabuľke 10 plynie závislosť medzi teplotou maxima  $\text{tg } \delta'$ , kontrakčnými silami pri 70 °C, lineárnym zmrštením v konečnom dôsledku i KK-hodnotou. Súvisí to s tepelnou úpravou vláken pri ich príprave. Dĺžené vlákno vykazuje určité vnútorné pnutie, ktoré je príčinou tepelnej instability. U vláken, ktoré boli predtým dĺžené pri teplote 140, resp. 150 °C, je štruktúra už stabilizovaná /vzorky 8b, 10b/. U vláken dĺžených pri nízkej teplote /vzorky 1b, 13b/, ktoré majú veľký podiel vnútorného pnutia sa hodnota maxima stratového uhlu posúva na stranu nízkej teploty. Z miery fázového posuvu sa dá usúdiť, že došlo k uvoľneniu vnútorného pnutia v nekryštalickej oblasti.

Štúdium viskoelastickej vlastnosti bikomponentných vláken je v začiatkoch a cielom tohto stručného rozboru je upozorniť na možnosť hlbšieho štúdia týchto vlastností v súvislosti s ostatnými štruktúrnymi parametrami ako i užitnými vlastnosťami vláken.

### 3.4 Výber experimentálneho materiálu a jeho komplexné zhodnotenie

Už v predošлом bolo uvedené, že pre riešenie zvoleného problému bol k dispozícii experimentálny materiál zo základného a laboratórneho výskumu v relatívne malom množstve. Až v poslednom období

sú pripravované väčšia množstvá vláken v rámci poloprevádzkového výskumu. V tejto práci už nemohli byť zahrnuté skúšky aplikácie do tkanín z káblika z poloprevádzkových skúšok pre časovú náročnosť takýchto skúšok v podmienkach VÚCHV, ktorý nie je vybavený úplným strojnym zariadením na prípravu pre tkanie a tkanie.

Pre rozsiahlejšie experimentálne práce bola použitá jedna z prvých poloprevádzkových skušobných položiek, ktorá bola vyrobená koncom roka 1974. Bol to polypropylénový, bikomponentný káblík farbený v hmote, farby ružovej, o menovitej jemnosti 50 tex. Uvedený káblík mal tieto vlastnosti:

jemnosť káblika: 51,02 tex

počet vláken v priereze káblika: 60

jemnosť jednotlivých vláken: 0,85 tex

pevnosť v ťahu: 10,00 N / 0,196 N/tex /

nerovnomernosť pevnosti:  $V = 4,93 \%$

ťažnosť: 158,5 %

nerovnomernosť ťažnosti:  $V = 12,86 \%$

počet zákrutov: 120/m

modul pružnosti v ťahu: 2,02 N/tex

hmotná nerovnomernosť:  $U = 3,05 \%$

hustota:  $\rho = 892 \text{ kg/m}^3$

rýchlosť šírenia zvuku vo vlákne: 2,13 km/s

hrúbka vlákna: 38,7  $\mu\text{m}$

frekvencia oblúčkov pred fixáciou: 2,29/10 mm

frekvencia oblúčkov po zobjemnení v sušiarni pri  $140^\circ\text{C}$  počas

10 min: 5,62/10 mm

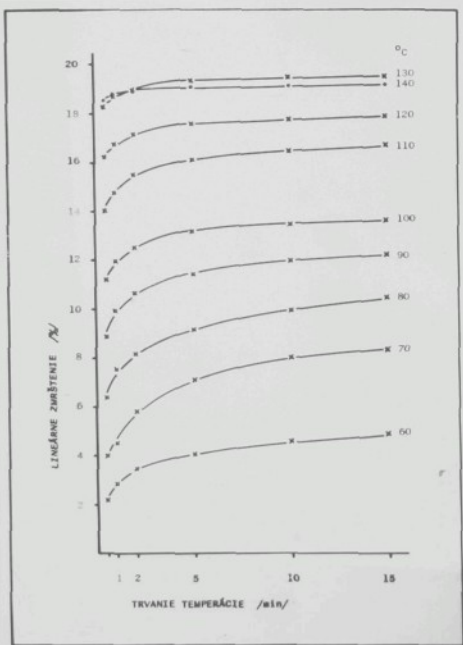
zrážanie v sušiarni pri  $140^\circ\text{C}$  počas 10 min: 17,15 %

Nikrofotografické snímky pozdĺžného pohľadu a priečného rezu u tohto vlákna sú na obrázkoch 11 až 15. Zo svetelnomikroskopických snímkov (obr. 11, 12) je vidieť rozloženie jednotlivých zložiek vo vlákne.

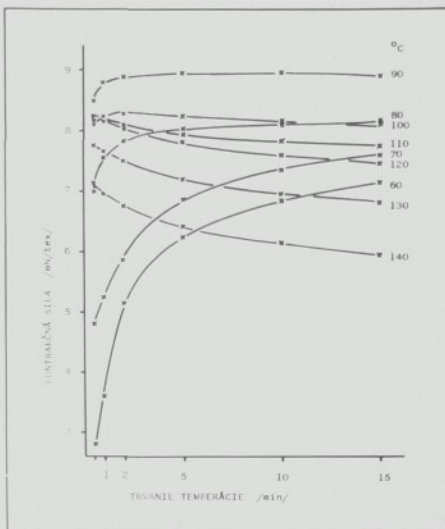
Okrem tohto základného zhodnotenia, bola študovaná problematika linárneho zmrštenia a kontrakčných síl v závislosti na teplote a trvaní temperácie.

Priebeh lineárneho zmrštenia v závislosti na trvaní temperácie pre jednotlivé teploty je vynesený na obrázku 26. Z obrázku viďieť, že lineárne zmrštenie s teplotou temperácie výrazne stúpa až do teploty  $130^{\circ}\text{C}$ , pri ďalšom zvyšovaní teploty dochádza už k poklesu. Ďalej je viďieť, že pri vyšej teplote temperácie sa hodnota lineárneho zmrštenia s trvaním temperácie /sledované do 15 min/ prakticky nemení.

Kontrakčné sily v závislosti na teplote a trvaní temperácie sú vynesené na obrázku 27. Do teploty  $90^{\circ}\text{C}$  kontrakčná sila s trvaním temperácie stúpa, pri teplote  $100^{\circ}\text{C}$  sa počas sledovaných 15 min prakticky nemení a od teploty  $110^{\circ}\text{C}$  dochádza k poklesu kontrakčnej sily s trvaním temperácie. Porovnanie nameraných hodnôt kontrakčných sôr so sériami vzoriek, ktoré boli hodnoteň v kapitole 3.2 je v prospech tohto ružového káblika z polopravádzkovej produkcie. Hodnoty kontrakčných sôr pri rovnakých teplotách sú asi dvojnásobné.



Obr. 26 Lineárne zmrštenie ružového, polypropylénového, bicomponentného káblika v závislosti na teplote a trvaní temperácie

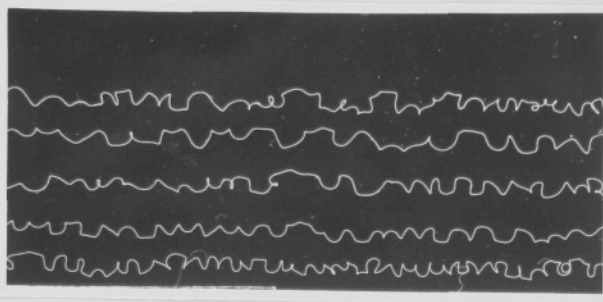


Obr. 27 Kontrakčné sily ružového, polypropylénového, bikomponentného káblika v závislosti na teplote a trvaní temperácie

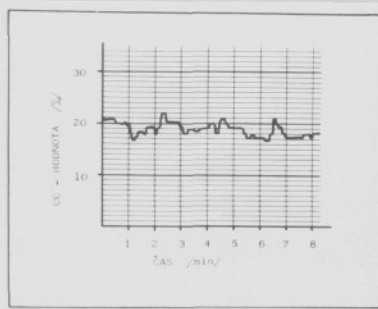
Z prevedeného rozboru je možné urobiť záver, že pre zobjemnenie tkaniny bude najvhodnejšia teplota medzi 120 až 130 °C. V tomto rozmedzí sa dosahuje najvyššieho lineárneho zmrštenia a súčasne vysokých kontrakčných sil, pričom sa ich účinok plne prejaví v priebehu niekoľkých minút. Toto tepelné rozpäťie je v oblasti, kde ešte nemôže dôjsť k mäknutiu polypropylénu ani prípadným menším zvýšením teploty.

Z objemových vlastností, okrem už uvedenej frekvencie oblúčkov, boli urobené fotogramy vláken v zobjemnenom stave /obr. 28/. Porovnaním tohto fotogramu s fotogramom vlákna objemovaného separatne /obr. 5/ vidieť, že vplyvom vzájomného obmedzenia vláken kábliku, dochádza k značnej deformácii tvaru oblúčkov.

Kontinuálne meraná hodnota kontrakcie káblika na prístroji CC-TESTER pri teplote 120 °C sa pohybovala od 16 do 22 %. Priebeh je zrejmý z obrázku 29.



Obr. 28 Fotogram vláken ružového, polypropylénového, bikomponentného káblika



Obr. 29 Kontinuálny záznam kontrakcie ružového, polypropylénového, bikomponentného káblika na prístroji CC-TES-TER pri teplote  $120^{\circ}\text{C}$

Z hľadiska hodnotenia väčšieho množstva uvedeného káblika je treba uviesť, že niektoré ďalšie vlastnosti boli na nízkej úrovni. Materiál mal značné množstvo poškodených elementárnych vláken, vykazoval farebnú pruhovitosť a vysoký elektrostatický náboj pri spracovaní. Tieto vlastnosti neboli podrobnejšie hodnotené, pretože sa jednalo o nábehovú položku v rámci poloprevádzkovej prípravy bikomponentných vláken. V terajšom štádiu výskumu bikomponentných vláken sa pripravuje káblik už o podstatne zlepšených spracovateľských vlastnostiach.

### 3.5 Overovanie podmienok prípravy vysokoobjemných a vysokocelastických tkaných textilií

#### 35.1 Úvod

Už v predošlom bolo konštatované, že cieľom aplikácie vyvijaných bikomponentných vláken do tkaných textilií bola jednak pomoc vláknarenškému výskumu nájsť optimálne uplatnenie týchto vláken ale i základný výskum vo smere prípravy nových textilií.

Objemované chemické vlákna sa používajú predovšetkým na pletené výrobky, ktoré umožňujú uplatnenie objemnosti vláken. Pri overovacích skúškach bikomponentných vláken do pletení sa narazilo na ľažkostí. Latente oblúčkovany hodváb bol málo elastický a stážoval pletenie natoľko, že dochádzalo pri prevádzkových rýchlosťach k čestým pretrhom. Úplet po fixácii vo voľnom stave sa sice zobjemnil, ale natoľko zmenšíl, že u kusových úpletov této zmeny prakticky nedovoľovala využitie, napríklad pletené pánske ponozky po fixácii dosiahli rozmeru detských. Formovanie ponoziek na požadovanú veľkosť zabránilo zobjemneniu natoľko, že výrobky boli málo objemné, ako by boli zhotovené z hladkého hodvábu.

I keď sa vzniklé problémy riešia v poslednom období vo vývoji vlákna tým, že sa pripravuje vlákno, ktoré má už zobjemnenie na požadovannej, predom zvolenej úrovni, nerieši to problém spracovania bikomponentných vláken úplne. Táto úprava znižuje objemnosť bikomponentných vláken natoľko, že je možné tieto vlákna zrovnávať s vláknami mechanicky objemovanými, čiže potláča sa objemnosť, ktorá je hlavnou prednosťou tohto typu bikomponentných vláken.

K riešeniu problému spracovateľnosti bikomponentných vláken bolo pristupené so znalosťou problémov súvisiacich s pripravou bikomponentných vláken. Pri zohľadnení progresívnej technológie prípravy bikomponentných, latentne oblúčkovanych vláken, s cieľom plného využitia ich špecifických vlastností, bola robená táto práca v oblasti aplikácie týchto vláken do tkaných textilií.

### 35.2 Orientačný prieskum

Pre orientačný prieskum bolo použité vlákno z prvých pokusov zvláčňovania na modelovej linke hodvábnického typu. Súčasne ako orientačné, tak aj väčšina ďalších experimentálnych skúšok boli robené na hodvábnickom tkacom stroji BENNINGER Z 125, ktorý bol k dispozícii.

Prvé orientačné skúšky boli robené zatkávaním útku z polypropylénového, bikomponentného, latentne oblúčkovaneho hodvábu o jemnosti 33 tex pri jemnosti jednotlivých vláken 0,46 tex. Zatkanie bolo do osnovy z hladkého, polypropylénového hodvábu o jemnosti 5,5 tex. Pri tkaní boli použité hustejšie i redšie väzby. Vzorky tkanín boli fixované vo voľnom stave, vo vode pri bode varu počas 10 min. Fixáciou sa dosiahlo zmrštenie tkaniny po šírke až cca 50 % u väzby atlasovej. U tejto väzby sa súčasne dosiahlo najväčšej rozťažnosti po šírke. Uplatnenie v hustejších väzbách /plátnovej a keperovej/ potlačilo zobjemňovací efekt. Pre porovnanie objemnosti je uvedená v tabuľke 11 hrúbka tkaniny vytkannej v rôznych väzbách. Uvedené dostavy v osnote a v útku po fixácii odpovedajú dostave 400 nití/100 mm v osnote a 200 útkov/100 mm pred fixáciou.

Tab. 11 Hrúbka tkaniny z polypropylénového, bikomponentného hodvábu v útku, po fixácii, v závislosti na druhu väzby

| Väzba tkaniny | Dostava po fixácii / 1/100 mm / |        | Hrúbka<br>tk.po<br>fixácii<br>/mm/ |
|---------------|---------------------------------|--------|------------------------------------|
|               | v osnote                        | v útku |                                    |
| plátnová      | 400                             | 200    | 0,34                               |
| keper 1/3     | 480                             | 220    | 0,64                               |
| keper 2/2     | 480                             | 220    | 0,79                               |
| atlas 1/8     | 740                             | 220    | 1,18                               |

Dostava v osnote po fixácii stúpa úmerne s počtom volných väznych bodov. Rovnako rastie hrúbka tkaniny a pri 8väznom atlase dosahuje už niekoľkonásobku hrúbky ako pri plátnovej väzbe.

I napriek veľkej hustote nítí a útkov dochádza k posuvu nítí v tkanine. Je to zapričinené hladkým hodvábom v osnove, po ktorom sa útkové nité kĺžu. Zlepšenie v tomto smere by sa dosiahlo použitím drsnejšieho materiálu v osnove /napr. priadze zo strižových vláken/.

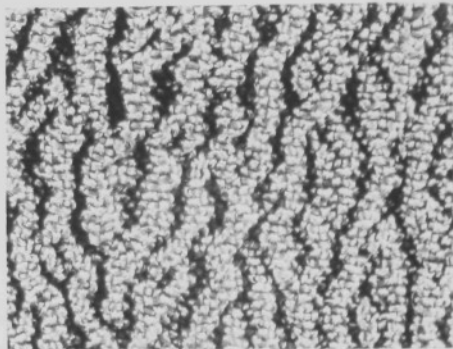
Týmito prvými skúškami bola overená a potvrdená možnosť zatkávania bikomponentného, latentne oblúčkovaného hodvábu do útku na člnkovom tkacom stroji bez zvýšenia pracnosti. Súčasne sa týmito skúškami orientačne overila zrážavosť hodnoteného materiálu v tkanine a preukázala sa možnosť regulovania elastických vlastností tkaniny hlavne zvolenou väzbou.

Ďalšiu skupinu orientačných skúšok tvorila príprava tkanín, ktoré boli pripravené použitím latentne oblúčkovaného, polypropylénového hodvábu do osnovy i do útku. I tieto skúšky boli robené z malého množstva materiálu /cca 100 g/ a na prevádzkovom tkacom stroji BENNINGER Z 125. Aby sa mohli z takého malého množstva pripraviť vzorky tkanín postupovalo sa nasledovne. V tkanine zo štandardného hladkého polypropylénového hodvábu sa previazali osnovné nite na dĺžke cca 1,5 m a šírke cca 200 mm tak, že bolo 120 niti/100 mm. Na dĺžke cca 1 m osnovy sa zatkal ten istý útok pri dostave 140 útkov/100 mm. Na skúšku bol použitý rovnaký materiál ako v predošej orientačnej skúške.

Takto pripravená tkanina v plátnovej väzbe sa už po uvoľnení začala zmršťovať. Nakoľko podmienky na tkacom stroji nedovoľovali vytkanie vzorky o rovnakej dostave v osnove i útku /dostava v osnove bola menšia/, došlo k výraznejšiemu zmršteniu po šírke tkaniny a vytvorili sa nepriavidelné záhyby na tkanine, ktoré majú smer pozdĺž osnovy. Čím bol rozdiel v dostave osnovy a útku väčší, tým sa zvyšovala orientácia záhybov pozdĺž tkaniny. O vzhľade tkaniny si možno utvoriť záver z obrázku 30.

Pre zaujímavosť je možné uviesť hrúbku takto pripravenej tkaniny, ktorá je od 1,5 do 2 mm podľa dostavy nítí, pričom so zvyšovaním dostavy sa hrúbka tkaniny znižuje. Je to vysvetliteľné tým, že materiál má v dôsledku hustejšej dostavy menej miesta na zmrštenie a nedochádza k vysokómu zobjemneniu.

Nedostatky, ktoré sa prejavili pri príprave týchto vzoriek, pripravených za veľmi obmedzených podmienok, je možné odstrániť



Obr. 30 Povrch tkaniny z polypropylénového, latentne oblúčkovaneho, bikomponentného hodvábu v plátnovej väzbe po fixácii vo voľnom stave

vhodnejšou voľbou parametrov tkaniny. Na základe prevedených skúšok je možné navrhnúť tkaninu s hustejšou dostavou niti, ale s možnosťou tkania reďou väzbou. Tým sa dosiahne vyššia krycia schopnosť tkaniny a reďacia väzba umožní zobjemnenie vlákn.

### 35.3 Skúšky na vzorkovom tkacom stroji

Ďalšie orientačné skúšky tkania boli robené na vzorkovom tkacom stroji SWM od fy ROSEN MUND v n.p. SEBA Tanvald. Boli zhotovené malé vzorky tkanín v rôznych väzbách.

Na SWM snovacom a tkacom vzorkovom stroji bol spracovávaný polypropylénový, bikomponentný, latentne oblúčkovany hodváb režný a farbený v hmote /hnedej farby/ o východznej jemnosti 5,5/12 tex. Režný bol zoskaný na jemnosť 33/72 tex a farbený na jemnosť 22/48 tex. Skanie bolo so zákrutom 150/m. Osnova bola pripravená na ručnom SWM vzorkovom snovacom stroji zo 40 cievok pri hustote 160 nití/100 mm. Dĺžka pripravenej osnovy bola 20 m. Osnova bola pripravená z hodvábu farbeného v hmote. Návod bol hladký do 12 listov + 2 listy pre kraje. Použitý bol paprsok č. 16 s návodom po 1 niti do zuba. Tkalo sa rýchlosťou 62 útkov/min. Použitá bola dostava 16 útkov/100 mm. Pri tkani boli použité rôzne väzby do veľkosti 12 rôzne prevádzujúcich nití. Snovanie a tkanie nerobilo ľaž-

kosti. To však nemohlo byť ešte smerodatné pre tkanie na prevádzkových strojoch, pretože rýchlosťi spracovania sú na uvedenom zariadení nižšie ako pri prevádzkovom spracovaní.

Skúška bola robená na základe výsledkov orientačnej skúšky na úzkom pruhu tkaniny na tkacom stroji BENNINGER Z 125. Cielom bolo zhodoviť tkaninu dosťatočne hustú, avšak s riedkou väzbou, ktorá by dovoľovala zobjemnenie materiálu. Úlohou bolo preverením viacerých väzieb zistiť, ktoré väzby tkanín sú na tento účel vhodné.

Použitím špeciálneho strojného zariadenia bolo umožnené vyhotovenie vzoriek tkanín z pomerne malého množstva materiálu, pri rozsiahlych vzorovacích možnostiach.

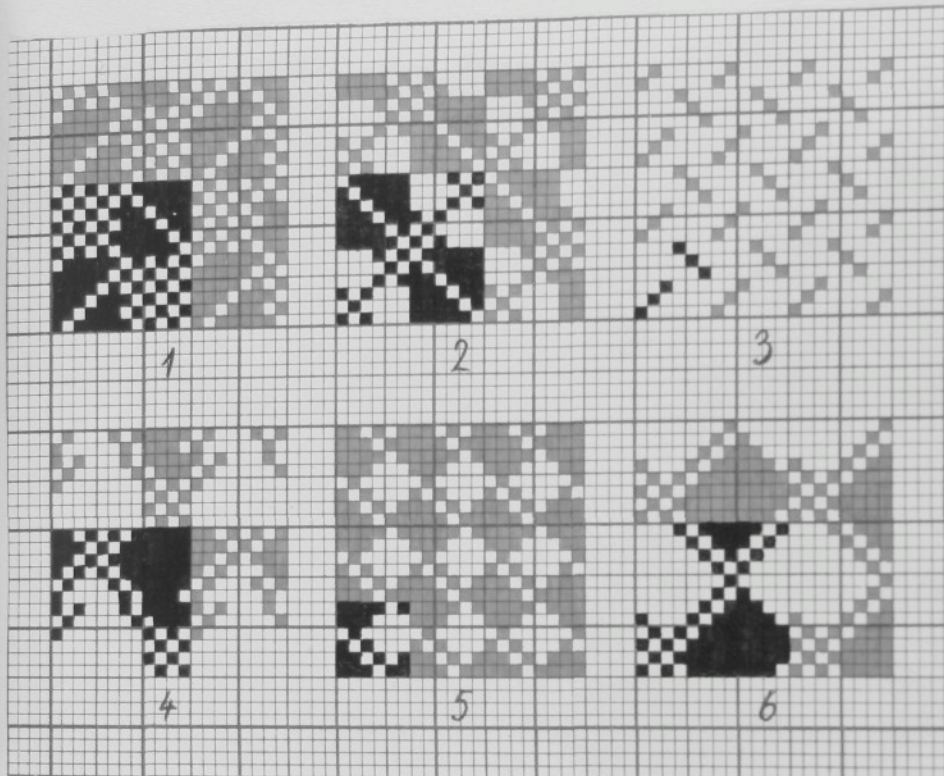
Zhotovené vzorky možno rozdeliť na:

a/ malo objemné tkaniny,

u ktorých sa fixáciou vo voľnom stave dosiahlo len minimálne zobjemnenie vláken. Sú to vzorky tkané v hustejších väzbách ako sú napríklad:

- väzba vo štvorcoch, kde sa strieda štvorec 6väzného osnovného kepru so štvorcovou plátnovej väzby, ktorá je nakreslená na vzornici 1 /obr. 31/. V priloženej vzorkovnici jej odpovedá tkanina pod č. 1 o hrúbke 1,63 mm.
- väzba vo štvorcoch, kde sa štvorec 6väzného osnovného kepru strieda so 6väzným útkovým keprom spevneným ďalšími väznými bodmi. Táto väzba je nakreslená na vzornici 2 /obr. 31/. V priloženej vzorkovnici jej odpovedá tkanina pod č. 2 o hrúbke 1,82 mm.
- 6väzný lomený útkový keper na vzornici 3 /obr. 31/, ktorому odpovedá tkanina pod č. 3 o hrúbke 1,57 mm.

U tkanín tohto druhu je objemovací efekt bikomponentných vláken potlačený a jeho využitie je závislé na počte rovnakých väzných bodov za sebou. Takéto tkaniny majú dobré predpoklady uplatnenie ako poťahové látky, keď sa nevyžaduje vysoká objemnosť, ale sú kladené zvýšené požiadavky na odolnosť proti poškodeniu.

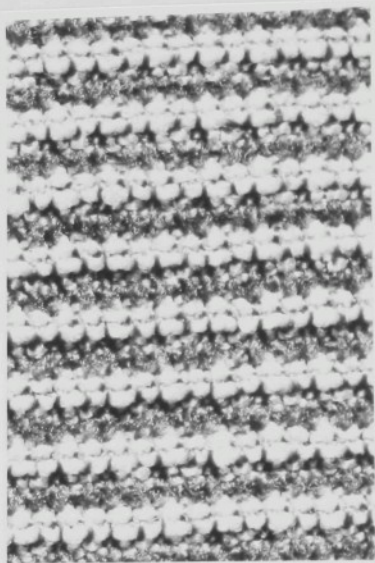


Obr. 31 Väzby tkanín zhotovených na vzorkovom tkacom stroji S.M od fyr ROSEN MUND

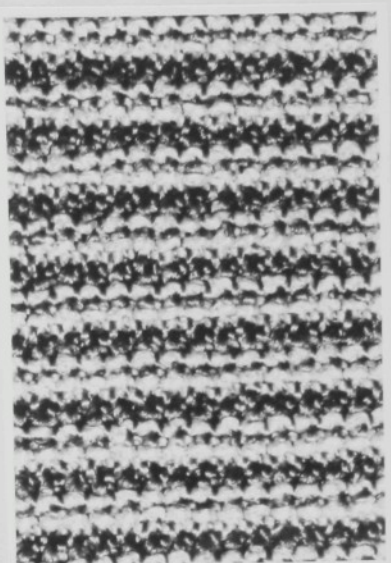
b/ stredne objemné tkaniny,

u ktorých sa fixáciou vo voľnom stave dosiahlo značného zobjemnenia vláken. Sú to vzorky tkané v redších väzbach ako napríklad

- upravená 12väzná vaflová väzba, ktorá je v útkovej časti spevnená osnovnými väznými bodmi a v osnovnej časti útkovými väznými bodmi. Táto väzba je na vzornici 4 /obr. 31/. V priloženej vzorkovnici jej odpovedá tkanina pod č. 4 o hrúbke 2,96 mm.
- upravená 6väzná vaflová väzba, ktorá je na vzornici 5 /obr. 31/. V priloženej vzorkovnici jej odpovedá tkanina pod č 5 o hrúbke 2,60 mm. Na obrázku 32 je zväčšený povrch tejto tkaniny.



líc tkaniny



rub tkaniny

Obr. 32 Povrch tkaniny zhotovenej vo väzbe podľa vzornice 5 /obr. 31/ na vzorkovom tkacom stroji SWM od fty ROSEN-HUND

Príprava tkanín tohto druhu je cieľom predkladanej práce. Otvára sa široká škála možnosti uplatnenia rôznych väzieb za predpokladu, že sa strieda väzba voľnejšia s väzbou hustejšou tak, aby bol v mieste voľnej väzby priestor na zobjemnenie vláken, ale súčasne tie isté nite musia byť na ďalšom úseku dostačne viazané, aby sa predišlo ich ľahkému poškodeniu. Pri tvorbe väzby sa musí dbať, aby strieda väzby neobsahovala hustú väzbu v pozdĺžnych alebo priečnych pruhoch, ktoré neumožní dôkladné zobjemnenie materiálu. Tieto tkaniny, zvlášť tkanina pod č. 5, majú perspektívnu uplatnenia v bytovom textile ako poťahové látky, ktoré spĺňajú vysoké požiadavky na elasticitu i objemnosť.

c) vysoko objemné tkaniny,

u ktorých fixáciou vo voľnom stave dochádza k intenzívному zobjemneniu vláken. Takéto tkaniny sa získajú vtedy, ak sa použije voľná väzba ako napríklad:

- 12väzná vaflová väzba, ktorá bola len čiastočne spevnená osnovnými väznými bodmi v útkovej časti streedy väzby. Táto väzba je na vzornici 6 /obr. 31/. V priloženej vzorkovnici jej odpovedá tkanina pod č. 6 o hrúbke 3,28 mm. Do útku bol u tejto tkaniny použitý rovnaký materiál ako v osnote. Tkanina s tak vysokými elastickými vlastnosťami je vhodná pre všetkým na potiahnutie nábytku zložitých tvarov, kde sa vyžaduje dobré priľnutie tkaniny k nábytku a sledovanie tvaru nábytku tkaninou pri jeho deformácii. Určitou nevýhodou tohto druhu tkaniny je zvýšená plošná zrážavosť a znížená odolnosť proti poškodeniu.

Poznatky, získané pri skúškach na vzorkovom tkacom stroji, boli prínosom pre pokračovanie prác na prevádzkových strojoch. Použitie vzorkového tkacieho stroja so širokými vzorovacimi možnosťami umožnilo z malého množstva materiálu vytvoriť základný názor na väzebné možnosti pri riešení danej problematiky. Uvedené boli len niektoré typické väzby avšak i napriek tomu, že na hodnotenie bolo k dispozícii len niekoľko kg materiálu, preverila sa i celá rada ďalších väzieb.

#### 35.4 Výsledky skúšok na tkacom stroji UTAS EM 175

Po uzavretí orientačných skúšok a skúšok na vzorkovom tkacom stroji, boli hľadané možnosti ďalších skúšok na prevádzkových strojoch. Po zohľadnení viacerých okolností /hrúbka káblika, pracovná šírka stroja, operatívnosť pri vlastných skúškach a pod./, pokračovalo sa v hodnotení na prevádzkovom tkacom stroji v n.p. Tatralan Kežmarok, kde bol k dispozícii člnkový tkaci stroj UTAS EM 175, vybavený listovým strojom.

Pre skúšky bol použitý polypropylénový, bikomponentný, latentne oblúčkovaný hodváb farbený v hmote /tmavohnedej farby/ o jemnosti 8,5/12 tex. Tento bol skaný na celkovú jemnosť 51/72 tex pri 85 zákrutoch/m.

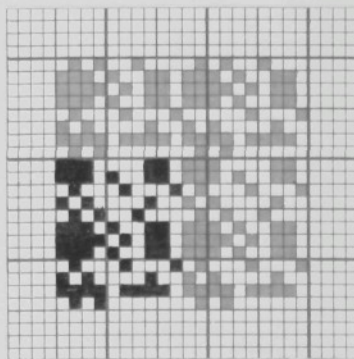
Tkanie bolo pri týchto základných podmienkach:

dostava nití v osnote: 160/100 mm

dostava nití v útku: 160/100 mm

paprsková šírka: 1 400 mm

väzba tkaniny: nepravidelný krep /obr. 33/



Obr. 33 Väzba tkaniny zhotovenej na tkacom stroji UTAS EM 175

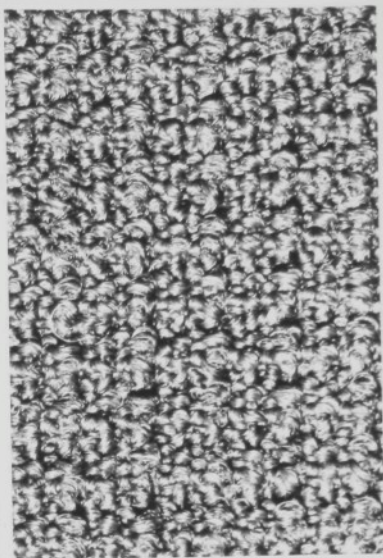
Pri tkaní sa vyskytli dva väznejšie problémy, a to zhrnovanie pretrhnutých elementárnych vláken, čím dochádzalo k poškodzovaniu ďalších vláken i u susedných osnovných nití. Podstatné zlepšenie sa dosiahlo použitím redšieho paprsku /č. 80/. Ďalejšie poškodzovanie osnovných nití vznikalo člňkom tak, že pri nárazoch spodnej hrany člňka na drevenú vodiacu člňkovú dráhu, dochádzalo k pretrhu vláken, ktoré boli medzi člňkom a člňkovou dráhou najviac namáhané. I tento nedostatok sa odstránil, a to potiahnutím člňkovej dráhy plstenou tkaninou, podobne ako je to u hodvábnických člňkových tkacích strojov.

Takto bolo pripravené cca 40 m režnej tkaniny, ktorá bola použitá na zobjemnenie vo voľnom stave. Po zobjemnení sa získala dobrá objemnosť i uzavretosť jednotlivých vláken v tkanine, o čom svedčí i povrch tkaniny zväčšený na obrázku 34. Vzorka tkaniny je v priloženej vzorkovnici pod č. 7.

Časť tejto tkaniny bola už overená aj pri potiahnutí kresiel, kde sa dosiahli dobré výsledky a po vyše jednoročnom používaní týchto kresiel nedošlo k zmenám v kvalite poťahovej textilie ani k poklesu jej elasticity. Skúšky uskutočnil a vyhodnotil Ústav pre vývoj nábytkárskeho priemyslu Bratislava a n.p. Nový domov závod Liptovský Mikuláš.



líc tkaniny



rub tkaniny

Obr. 34 Povrch tkaniny zhotovenej vo väzbe podľa obr. 33 na tkacom stroji UTAS EM 175 po fixácii vo voľnom stave

### 35.5 Výsledky skúšok na tkacom stroji BENNINGER Z 125

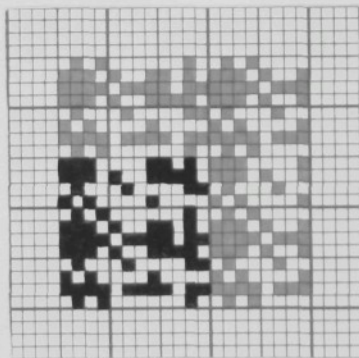
Pokračovanie skúšok na prevádzkových tkacích strojoch bolo tkanie polypropylénového, bikomponentného, latentne oblúčkovaného káblika na hodvábnickom tkacom stroji BENNINGER Z 125 vo VÚCHV Svit.

Pred uskutočnením záverečnej, rozsiahlejšej skúšky s káblikom z poloprevádzkovej produkcie bolo robené niekoľko menších skúšok, kde káblik bol získaný zoskaním hodvábu, podobne ako v predošlých prípadoch. Tieto skúšky nebudú podrobne rozvádzané, protože boli robené z materiálu pripraveného ešte na laboratórnom zariadení a ich cieľom bola hľavne príprava určitého množstva tkaniny, pre umožnenie skúšok zobjemnenia režnej tkaniny, aby sa tak preklenulo obdobie, kym bude umožnená priama príprava bikomponentného káblika o požadovanej jemnosti /bez združovania/ v poloprevádzkovom rozsahu. Cieľom týchto skúšok bolo

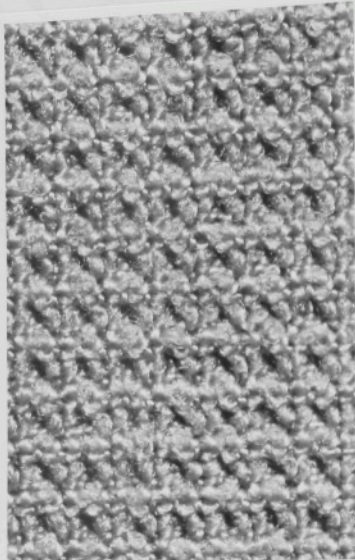
tiež overenie hodvábnického člnkového tkacieho stroja pre po-kračovanie skúšok, pretože iný vhodnejší tkaci stroj nebol vo vúCHV k dispozícii.

Skúškami sa potvrdilo, že v princípe je možné na uvedenom tkacom stroji pripravovať tkaninu i z káblika o jemnosti cca 80 tex. Určité problémy vznikali pri spracovávaní značne poškodeného materiálu, kde spinák z tak hrubých a pevných osnovných nití mal často za následok vyhodenie pomerne ľahkého člnka mimo člnečník. I za týchto stážených podmienok bolo pripravené a zotkné niekoľko osnov, z ktorých najlepšie výsledky sa dosiahli pri spracovávaní polypropylénového, bikomponentného, latentne oblúčkovaneho káblika farbeného v hmote /modrej farby/ o jemnosti 42,5 tex.

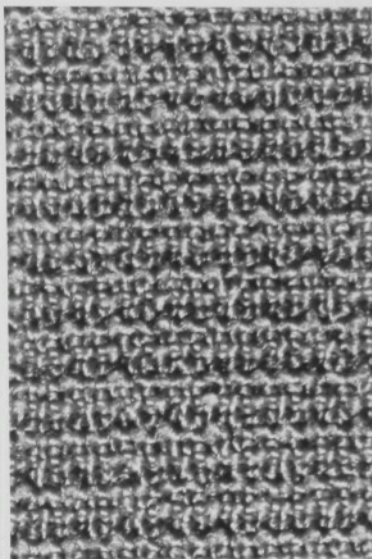
Pre tkanie bola použitá 12väzná nepravidelná krepová väzba /obr. 35/ a 12väzná upravená vaflová väzba /obr. 31 - vzornica č. 6/, ktorým odpovedajú tkaniny pod č. 8 a 9 v priloženej vzor-kovnici. Na obr. 36 a 37 sú povrchy týchto tkanín, ktoré svedčia o pomerne dobrom uzavretí povrchu tkaniny č. 8 a vysokom zobjemnení materiálu u tkaniny č. 9.



Obr. 35 Väzba tkaniny č. 8 zhotovanej na tkacom stroji BENNINGER Z 125

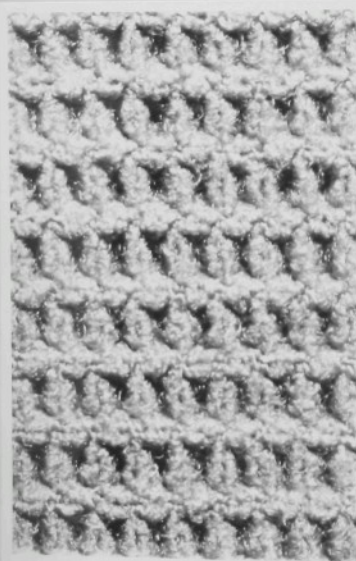


lic tkaniny

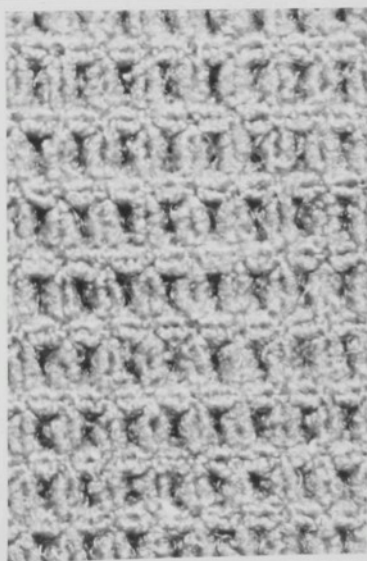


rub tkaniny

Obr. 36 Povrch tkaniny, zhotovenej podľa väzby na obr. 35, na tkacom stroji BENNINGER Z 125, po fixácii vo voľnom stave



lic tkaniny



rub tkaniny

Obr. 37 Povrch tkaniny, zhotovenej podľa väzby na obr. 31 /vzornica 6/, na tkacom stroji BENNINGER Z 125, po fixácii vo voľnom stave

z predložených snímkov povrchov tkaniny vidieť zvlášť vysoké zobjemnenie, hlavne u tkaniny v 12väznej väflovej väzbe, kde sa zobjemnenie prejavilo i v značnej hrúbke tejto tkaniny. Povrch tkaniny je výrazne plastický, čo vidieť i na obr. 37. Tkanina vyobrazená na obr. 36 bola z prevedených skúšok najlepšia, mala primeranú plošnú váhu, dobrú povrchovú štruktúru a zvlášť vysokú elasticitu.

Množstvo niekoľko desiatok metrov tkaniny pripravených z bikomponentného káblika nestačilo pre náročné skúšky úpravy tkaniny. Pretože nebolo k dispozícii dostatok materiálu, použil sa na jednu rozsiahlejšiu skúšku /100 m osnovy/ mechanicky tvarovaný, polypropylénový hodváb, farbený v hmote, modrej farby o jemnosti 25,6/64 tex. Spracovanie tohto materiálu bolo v dvoch väzbách, a to nepravidelnej krepovej väzbe podľa obr. 35 a 12väznej upravenej väflovej väzbe podľa obr. 31 /vzornica 6/. Spracovanie prebiehalo bez ťažkostí a tkanina po tepelnej úprave - zobjemnení zväčšila svoju objemnosť i elasticitu, čo je možné pozorovať na vzorkách, ktoré sú v priloženej vzorkovnici pod č. 10 a 11.

#### 35.6 Výsledky skúšok tkania polypropylénového, bikomponentného, latentne obľúčkovaného káblika z poloprevádzkovej produkcie

K záverečným skúškam tkania v rámci tejto práce bol použitý káblik farbený v hmote ružovej farby, ktorý bol pripravený na začiatku poloprevádzkových skúšok koncom roka 1974. Bol to káblik o menovitej jemnosti 50/60 tex. Vlastnosti použitého káblika sú uvedené v kapitole 3.4.

Tkalo sa na tkacom stroji BENNINGER Z 125 vo VÚCHV Svit, pričom osnova bola pripravená v Závodoch 1. mája n.p. Liptovský Mikuláš. Snovalo sa zo 120 cievok na pásovom snovacom stroji BENNINGER, pričom je:

šírka osnovy 1200 mm

dĺžka osnovy 100 m

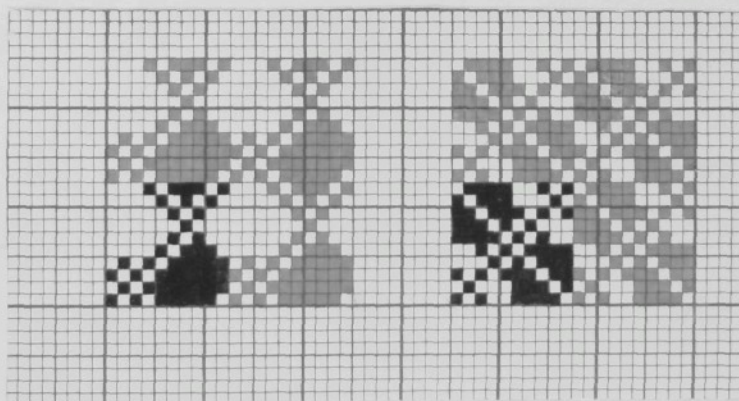
dostava v osnove 140 nití/100 mm

snovacia rýchlosť 150 m/min

snovalo sa 14 pásov po 120 nití, t.j. spolu 1 680 nití

Materiál pri snovani vykazoval elektrostatický náboj a vysoký koeficient trenia, preto muselo byť brzdenie na cievočnici nastavené na minimálnu hodnotu, pričom pnutie 1 osnovnej nite bolo 0,15 N. Pri snovani nedochádzalo prakticky k žiadnym pretrhom, ale bol pozorovaný značný výskyt ťuflíkov, zapričinených poškodenými jednotlivými vláknami už na predloženom materiále. Osnova sa bez ďalšej úpravy navádzala do 10 listov hladkým návodom a do tkacieho paprsku o hustote 70 zubov/100 mm.

Tkalo sa na tkacom stroji BENNINGER Z 125 rýchlosťou 130 otáčok/min. Do útku bol použitý rovnaký materiál ako v osnove, pričom sa tkalo pri dostave 140 útkov/100 mm. Tkali sa už overené väzby, avšak upravené na 10 rôzne prevádzujúcich niti. Bola odskúšaná 10väzná vaflová väzba, ktorá je na obr. 38. Cielom tejto väzby bolo čiastočné zníženie objemnosti, ktorá bola u 12väznej vaflovej väzby príliš vysoká. Tento zámer sa splnil len čiastočne a ešte ukazujú výsledky hrúbky a plošnej váhy tkaniny v tabuľke 12 i vzorka tkaniny v priloženej vzorkovnici pod č. 12, je treba pri ďalších skúškach použiť vaflovú väzbu zmenšenú na 8väznú. Prechod na 8väznú vaflovú väzbu u tejto skúšky by bol veľmi pracný a z hladiska dĺžky osnovy už nie účelný.



Obr. 38 Väzby tkanín použité pri tkani káblika z poloprevádzkovej produkcie  
10väzná vaflová väzba - tkanina č. 12  
10väzná väzba vo štvorcích - tkanina č. 14

Ďalšou väzbou, ktorá bola overená vo väčšom rozsahu je krepová väzba podľa obr. 33, ktorá už bola overená pri predošlých skúškach. Upravená tkanina v tejto väzbe je v priloženej vzorkovnici pod č. 13. Cieľom použitia tejto väzby bolo získať tkaninu stredne roztažnú s dobrými elastickými vlastnosťami. Poslednou väzbou, s ktorou sa u tejto skúšky získala tkanina dobrých vlastností, je 10väzná väzba vo štvorcoch, ktorá je zostavená striedením 5väzného osnovného kepru s 5väzným útkovým keprom. V útkovom kepri boli doplnené 4 osnovné väzné body, ktorých cieľom je pevnejšie viazanie nití v tkanine. Väzba je obr. 38. Takto upravenou väzbou sa dosiahol zámer, získať málo roztažnú tkaninu, odolnú voči opotrebovaniu, ale s výraznou plasticitou povrchu. O dosiahnutí týchto vlastností svedčí aj vzorka upravenej tkaniny, ktorá je v priloženej vzorkovnici pod č. 14.

Hodnoty hrúbky plošnej váhy a miernej hmotnosti uvedených troch druhov tkanín znova potvrdzujú, ako sa zmenou väzby dá podstatne meniť charakter tkaniny /tab. 12/. Z hľadiska celkového hodnotenia sa javí ako najvhodnejšia tkanina v 10väznej krepovej väzbe /podľa obr. 33/, ktorá je v priloženej vzorkovnici pod č. 13. Tkanina má dobré elastické vlastnosti, uzavretý povrch a plošnú váhu ešte na únosnej hranici.

Tab. 12 Hrúbka, plošná váha a merná hmotnosť tkanín z kábliku z poloprevádzkovej produkcie, zhodovanej na tkacom stroji BENNINGER Z 125

| Väzba tkaniny                     | Hrúbka tkaniny<br>/mm/ | Plošná <sup>konfidenčná</sup> váha<br>tkaniny<br>/ g/m <sup>2</sup> / | Merná hmotnosť<br>tkaniny<br>/ kg/m <sup>3</sup> / |
|-----------------------------------|------------------------|---|--|
| 10väzná vaflová /obr.38/          | 5,08                   | 820   | 141,4  |
| 10väzná krepová /obr.33/          | 2,47                   | 455   | 182,2  |
| 10väzná vo štvorcoch<br>/obr. 38/ | 1,59                   | 375   | 235,8  |

### 35.7 Závery získané pri tkani

z prevedených skúšok tkania polypropylénového, bikomponentného, latentne oblúčkovaného kábliku je možné zhŕnuť nasledujúce poznatky.

Vzhľadom na značnú plošnú zrážavosť režnej tkaniny pri zobjemnení, treba voliť pre tkanie široké tkacie stroje, prípadne tkacie stroje s viacnásobnou šírkou. Vybavenie snovacích a tkacích strojov musí byť také, aby umožňovalo spracovanie káblikov o jemnosti 50 až 100 tex. Tkaci stroj musí byť zásadne vybavený listovým strojom, pretože väzba plátnová a iné jednoduché väzby, ktoré sa dajú tkať výstrednikovým zdvíhom listov, neumožňujú uplatnenie objemových vlastností bikomponentných vláken.

Materiál použitý na tkanie musí splňovať niekoľko základných požiadaviek. Musí mať rovnomerné objemovacie vlastnosti, rovnomernú jemnosť a farbu. Z hľadiska spracovateľnosti je potrebný ochranný zákrut, ktorý môže byť znížený na minimálnu hodnotu, keď sa dosiahne dobrej súdržnosti jednotlivých vláken optimálnej povrchovou úpravou, ktorá zamedzi vznik elektrostatickej náboja. Základným požiadavkom na východzí materiál z hľadiska spracovateľnosti je odstránenie poškodených elementárnych vláken, ktoré sú zdrojom fuflíkov a problémov pri tkani.

Spracovanie na tkacom stroji, pri splnení základných požiadaviek na vlátko, nerobí ľažkosti. Plynie to z toho, že sa tká tkanina s riedkou dostavou v osnove i útku, použité sú pomerne riedke väzby, čo podstatne znižuje namáhanie osnovných nití. Pri hustejších väzbách môžu byť kraje tkané v rovnakej väzbe ako je tkanina. Pri redších väzbách sa môže pre kraje použiť väzba hustejšia, avšak nie plátnová, pretože táto väzba neumožní dobré zobjemnenie okrajových nití. Súčasne je treba obmedziť väzbu v krajoch len na najnutnejšiu mieru /6 až 10 nití/.

Pri tkani je treba brať zreteľ aj na tú skutočnosť, že režná tkanina je použitá priamo na tepelnú úpravu, bez ďalšej kontroly a manipulácie. Je preto nutné obmedziť tkáčske chyby na minimum. Prípadná kontrola a oprava režnej tkaniny by bola možná len v napnutom stave, pričom by na prehliadacom stroji muselo byť zaručené presné navijanie pod rovnakým pnutím. Podľa výsled-

kov dosiahnutých pri uvedených skúškach, kde bol použitý značne poškodený materiál, je možné vylúčiť kontrolu a opravu režnej tkaniny. Bikomponentný, latentne oblúčkovaný káblik má tú vlastnosť, že konce roztrhnutého elementárneho vlákna sa intenzívne zobjemnia a v štruktúre tkaniny prakticky schovajú tak, že sú pozorovateľné len tie fuflíky, ktoré sú vytvorené z väčšieho množstva poškodených vláken.

Zvlášť veľkú pozornosť pri celom procese spracovania a manipulácie s materiálom je treba venovať zamedzeniu znečistenia káblika a tkaniny. V ďalšej časti práce navrhnutý suchý uprávrenský postup znemožňuje zbavenie tkaniny nečistoty praním. Prípadné čistenie už zobjemnejšej tkaniny priemyselným postupom by si vyžiadalo pomerne vysoké náklady.

Cieľom tejto kapitoly, ktorá bola venovaná príprave tkanín, nebolo vytypovať presne strojné zariadenie, na ktorom sa má polypropylénový, bikomponentný, latentne oblúčkovaný káblik spracovať, ale na dostupnom strojnom zariadení určiť základné požiadavky na strojné zariadenie a pripraviť dostatok experimentálneho materiálu - tkaniny pre ďalšie skúšky úpravy a hodnotenia. Pre optimalizáciu strojného zariadenia bude ešte nutné previesť viacaj skúšok poloprevádzkového rozsahu na vhodnejšom strojnom zariadení.

### 3.6 Riešenie zobjemnenia rôznych tkanín fixáciou

Úspešné doriešenie spracovania polypropylénových, bikomponentných, latentne oblúčkovaných vláken závisí na doriešení spôsobu úpravy režnej tkaniny. Počas riešenia tejto problematiky boli dva problémy, ktoré podstatne ovplyvnili rozsah experimentálnych prác. Vo VÚCHV Svit nie je k dispozícii žiadne uprávrenské zariadenie na tkaniny a pripravované malé množstvá tkanín nedovoľovali rozsiahlejšie experimentálne práce na prevádzkových strojoch v iných organizáciách.

Preto bol zvolený postup odskúšania základných podmienok úpravy v laboratórnych podmienkach a spresnenie získaných výsledkov na prevádzkovú stroje, ktoré sú k dispozícii v textilných prevádzkach.

36.1 Laboratórne skúšky zobjemnenia režných tkanín fixáciou východiskom pre skúšky zobjemnenia boli poznatky získané pri hodnotení kontrakčných síl a lineárneho zmrštenia, ktoré sú uvedené v kapitole 3.2.

Pretože z ekonomickejho hľadiska je najvhodnejšia úprava tkaniny suchou cestou, bolo podrobnejšie zhodnotené tepelné spracovanie vybraných vzoriek tkanín fixáciou vo voľnom stave v sušiarni, pri rôznych teplotách fixácie. Pre skúšky boli vybrané tri vzorky z poslednej rozsiahlejšej skúšky tkania káblika z poloprevádzkovej produkcie. Sú to vzorky, ktoré sú v priloženej vzorkovnici pod č. 12, 13 a 14. Hodnotené boli vzorky tkaniny, ktoré odpovedajú rozmeru na tkacom stroji  $250 \times 250$  mm. Po uvoľnení z tkaninového valu dochádza už pri laboratórnej teplote k značnému zmršteniu tkaniny, preto sú všetky výpočty vzťahované na režnú tkaninu v napnutom stave. V tabuľke 13 sú uvedené zmeny rozmerov tkaniny v závislosti na teplote fixácie. Vzorky boli vystavené tepelnému pôsobeniu po dobu 15 min.

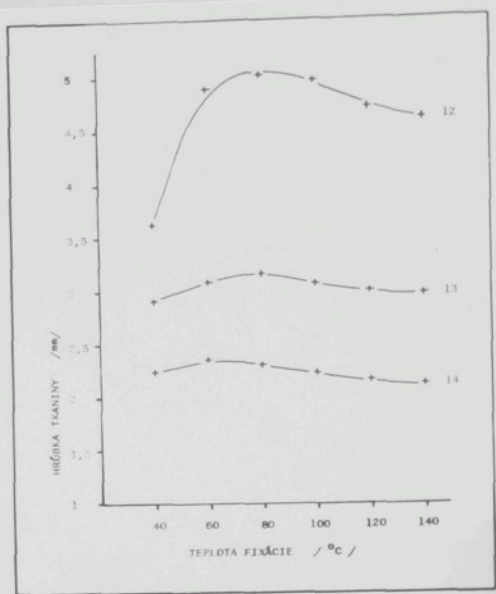
Režná tkanina mala na tkacom stroji hrúbku 0,40 mm, ktorej odpovedá objemová hmotnosť  $357,1 \text{ kg/m}^3$ . Závislosť hrúbky tkaniny a objemovej hmotnosti na teplote fixácie pre jednotlivé vzorky je graficky znázornená na obr. 39 a 40.

Pre hrúbku tkaniny má rozhodujúci význam použitý druh väzby. Zatiaľ čo hustejšie väzby /tkaniny 13, 14/ dávajú menší priestor zobjemneniu tkaniny, vaflová väzba /tkanina 12/ umožňuje vysoké zobjemnenie, čomu odpovedá aj hrúbka tkaniny, ktorá je až 5 mm. Hrúbka tkaniny závisí aj na teplote fixácie. Do teploty  $60$  až  $80^\circ\text{C}$  rastie, avšak pri ďalšom zvyšovaní teploty dochádza k miernemu poklesu hrúbky, následkom intenzívnejšieho zobjemnenia sa povrch tkaniny stáva uzavretejší. U vzoriek tkanín č. 13, 14 je vplyv teploty fixácie na hrúbku tkaniny menší. Podstatnejší vplyv má teplota fixácie na objemovú hmotnosť tkaniny. Z obr. 40 vidieť podstatné zníženie objemovej hmotnosti tkaniny tepelným zobjemnením. Zatiaľ čo objemová hmotnosť režnej tkaniny je  $357 \text{ kg/m}^3$ , dochádza fixáciou k niekoľkonásobnému

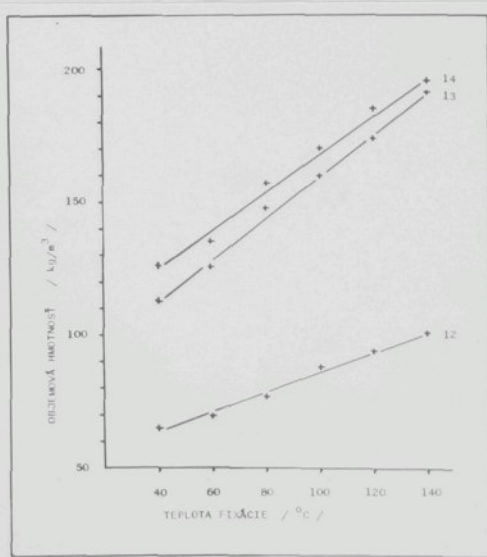
zniženiu objemovej hmotnosti. Je logické, že tkanina č. 12 má objemovú hmotnosť najnižšiu a pri nižších teplotách fixácie je táto ož 5násobne nižšia ako u režnej tkaniny. Značný rast objemovej hmotnosti s teplotou fixácie súvisí so zmenšením tkaniny po dĺžke a šírke, ktoré je vyšších teplotách značné.

Tab. 13 Zmena rozmerov tkanín /vzorky č. 12, 13, 14/ po fixácii vo voľnom stave v sušiarni

| Teplota<br>fixácie<br>/ °C / | Vzorka<br>tkaniny | Zmenšenie tkaniny |                | Hrubka<br>tkaniny<br>/mm/ | Objemová<br>hmotnosť<br>tkaniny<br>/ kg/m <sup>3</sup> |
|------------------------------|-------------------|-------------------|----------------|---------------------------|--|
|                              |                   | po dĺžke<br>%/    | po šírke<br>%/ |                           |  |
| 40                           | 12                | 16,0              | 28,0           | 3,63                      | 65,1   |
|                              | 13                | 36,8              | 31,6           | 2,92                      | 113,2  |
|                              | 14                | 33,2              | 24,8           | 2,24                      | 126,9  |
| 60                           | 12                | 30,8              | 39,2           | 4,90                      | 69,3   |
|                              | 13                | 43,2              | 35,6           | 3,09                      | 126,4  |
|                              | 14                | 35,2              | 31,2           | 2,37                      | 135,2  |
| 80                           | 12                | 34,8              | 43,6           | 5,02                      | 77,4   |
|                              | 13                | 48,0              | 41,2           | 3,14                      | 148,8  |
|                              | 14                | 39,6              | 34,8           | 2,31                      | 157,0  |
| 100                          | 12                | 39,2              | 46,4           | 4,97                      | 88,2   |
|                              | 13                | 48,8              | 43,2           | 3,07                      | 160,0  |
|                              | 14                | 41,6              | 36,0           | 2,24                      | 170,6  |
| 120                          | 12                | 39,6              | 48,4           | 4,70                      | 94,5   |
|                              | 13                | 50,8              | 44,4           | 3,00                      | 174,1  |
|                              | 14                | 43,2              | 37,6           | 2,17                      | 185,7  |
| 140                          | 12                | 40,0              | 49,2           | 4,60                      | 101,9  |
|                              | 13                | 52,4              | 47,2           | 2,97                      | 191,4  |
|                              | 14                | 44,4              | 38,0           | 2,12                      | 195,5  |



Obr. 39 Hrubky tkanin /vzorky č. 12, 13, 14/ v závislosti na teplote fixácie



Obr. 40 Objemová hmotnosť tkanín /vzorky č. 12, 13, 14/ v závislosti na teplote fixácie

### 36.2 Skúšky zobjemnenia režných tkanín fixáciou na prevádzkovom strojnom zariadení

Už pri prvých skúškach tkania na prevádzkovom strojnom zariadení boli získané režné tkaniny, ktoré boli použité na vytypovanie vhodného strojného zariadenia pre zobjemnenie fixáciou vo voľnom stave.

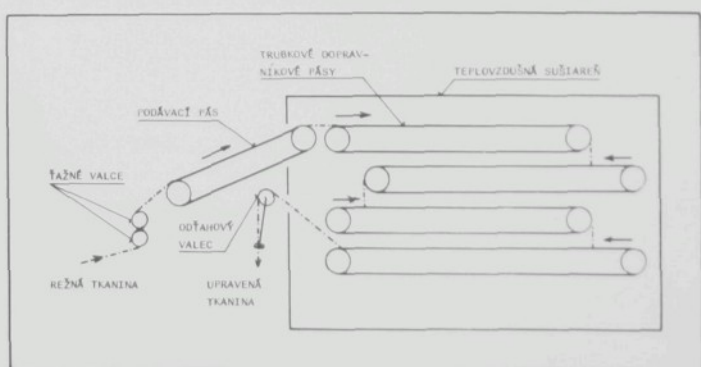
Prvý overenie sa robilo na rozpinacom žehliacom kalandri pre hadicové úplety typ KALDEK v n.p. Tatrasvit vo Svite. Princíp práce zariadenia spočíval v odvijaní tkaniny z tkaninového valu dvoma kalandrovacími valcami. Tkanina sa pohybovala v zvislom smere zdola nahor, pričom pred vstupom do kalandrovacích valcov bola vystavená pôsobeniu pary, ktorej množstvo sa dá regulovať. Para je privádzaná pod tlakom 0,245 MPa. Nabalovanie tkaniny je na trubku tak, že nabalovaná tkanina má priamy pohon od kalandrovacích valcov. Rýchlosť prechodu tkaniny strojom je 6 m/min. Výsledky prevedených skúšok je možné považovať za negatívne. Rýchlosť 6 m/min bola minimálna na danom strojnom zariadení, ale pretože tepelná zóna je len cca 0,5 m dlhá, bola doba fixácie pomerne krátka /5 s/ a nezarúčovala dostatočné zobjemnenie jedným prechodom. Pri použití viacerých prechodov sa výsledky zlepšili, ale nedosiahlo sa dobrej rovnomernosti zobjemnenia. Noviac stroj nemá podávacie zariadenie, a tak musela byť tkanina odvijaná z tkaninového valu ručne, aby nebola pod prutím, ktoré je nutné k odvijaniu, čo bolo tiež zdrojom nerovnomernosti. Napriek tomu je možné tento princíp po zväčšení dĺžky fixačnej zóny a vyriešení podávania neupravenej tkaniny považovať za schodný.

Ďalšie skúšky zobjemnenia režnej tkaniny navázovali na už uvedené strojné zariadenie. Zobjemnenie bolo doplnené fixáciou tkaniny v rotačnej sušiarne typu TAMBLER pri teplote 105 °C po dobu 20 min. Tkanina bola v sušiarne vo voľnom stave a intenzívne zobjemnenie bolo dosiahnuté tým, že rotáciou bubna bola tkanina vynesená do hornej časti sušiarne, odkiaľ voľným pádom padala späť. Fáza padania tkaniny v rozvinutom stave je zvlášt' priaznivá pre rovnomerné zobjemnenie vo všetkých smerech. Kombináciou obidvoch postupov sa dosiahlo dobrého zobjemnenia, pričom šírka tkaniny bola rovnomená. Určitým problémom

sa stal vznik záhybov na tkanine, ktorá bola v sušiarni voľne naskladaná v rozvinutom stave. Záhybom sa úplne neprediaľo ani vtedy, keď sa tkanina vložila do studenej sušiarne a teplota sa postupne zvyšovala. Tento postup bol napriek rozsiahlym skúškam, ktoré boli umožnené i tkaninou z mechanicky objemovaného hodvábu, uzavretý ako neschodný.

Pre zobjemnenie režných tkanín tkaných v hustejších väzbách sa predpokladal ako najvhodnejší použiť rozpinaci fixačný rám, ktorý umožňuje upevnenie tkaniny tak, že môže dôjsť i ku skráteniu dĺžky. Skúšky boli robené v n.p. Tatralan Kežmarok a v n.p. Závody 1. mája Liptovský Mikuláš. Skúšky napriek vysokým kontrakčným silám skončili negatívne. Úplné zobjemnenie neumožnilo pevné držanie tkaniny na krajoch. Čím sa zmenšoval prevíš tkaniny, zvyšovala sa horizontálna sila, ktorou bola tkanina v krajoch držaná.

Poslednou zo súrie skúšok, ktorá bola robená na tkanine z kábliku z poloprevádzkovej produkcie, bola skúška na sušiarni pre beznapäťové sušenie MODEL 6577 od fy TEXTIMA v n.p. Závody 1. mája Liptovský Mikuláš. Princíp stroja je znázornený na obr. 41. Sušiareň pozostáva zo 4 horizontálnych nosných pásov, ktoré sú usporiadané tak, že z najvyššie uloženého pásu padá tkanina na nižší, ktorý má opačný smer pohybu, z toho ďalej na nižší až 4. pás, z ktorého je tkanina odvádzaná a ukladaná na vozík.



Obr. 41 Schéma vedenia tkaniny v beznapäťovej sušiarni MODEL 6577 od fy TEXTIMA

Nosné pásy tvoria priečne valce priemeru 40 mm, s roztečou 150 mm. Na tieto pásy môže byť tkanina ukladaná s predstihom tak, že tvorí previsy. Pracovná šírka uvedenej sušiarne je 2 200 mm.

Tkanina je privádzaná s predstihom tak, že umožňuje dostatočné skrátenie po dĺžke. Po šírke má tkanina dobrú možnosť zmrštenia, pretože nosné valce sú hladké a kladú len malý odpor tkanine. Okrem toho tkanina v mieste pádu na spodný pás je v dosťatočne voľnom stave, aby došlo k úplnému vyzrážaniu.

Skúšky na tomto zariadení boli pri teplote sušiarne  $110^{\circ}\text{C}$  a rýchlosťi prechodu tkaniny sušiarňou 10 m/min, čo zodpovedá dobe pôsobenia tepla na tkaninu cca 6 min. Dosiahlo sa dobrých výsledkov a rovnomerného zobjemnenia tkaniny po šírke i po dĺžke. Tento postup úpravy je teda možné doporučiť aj pre ďalšie experimentálne skúšky, ktorých cieľom by mala byť optimalizácia technologických podmienok /teplota, veľkosť predstihu pri ukladaní, regulácia doby fixácie rýchlosťou prechodu materiálu atď./. Poslednou operáciou pri úprave je kontrola kvality tkaniny, zmeranie dĺžky a zatriedenie tkaniny za súčasného označenia a nabalenia tkaniny.

### 3.7 Hodnotenie elastických a objemových vlastností tkanín

Okrem vlastnosti tkanín, ktoré boli uvedené pri charakterizácii jednotlivých vzoriek tkanín, boli v súvislosti s riešením problematicy hodnotené niektoré ďalšie objemové a elastické vlastnosti vybraných vzoriek tkanín. Ako z hľadiska východznej suroviny, tak z hľadiska vhodnosti uplatnenia tkaniny, boli pre ďalšie podrobnejšie hodnotenie vybrané vzorky tkanín č. 8, 13, 14.

#### 3.7.1 Hodnotenie elastických vlastností v ľahu

Pre hodnotenie bola vyvinutá metóda opakovanej deformácie na určitý deformačný stupeň, ktorá je uvedená v kapitole 24.3.

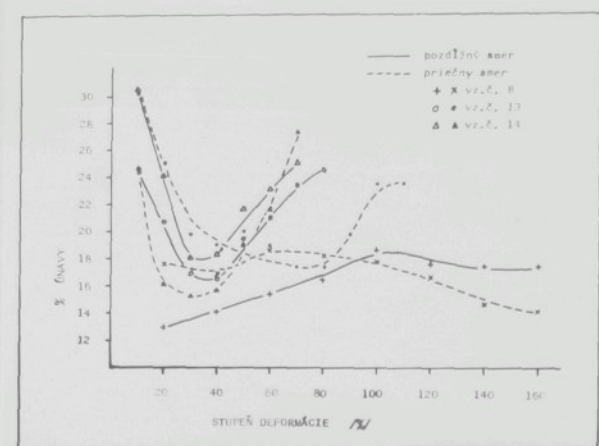
Vzorky č. 8, 13 a 14 boli hodnotené na prístroji INSTRON TM, ktorý má maximálny rozsah pevnosti do 981 N. Pevnosť prúžkov tkanín o šírke 50 mm presahovala túto hranicu, preto sa pri všetkých skúškach hodnotili prúžky o polovičnej šírke /25 mm/.

Upínacia dĺžka bola jednotná 100 mm. Hodnotila sa tkanina v pozdižnom a priečnom smere. Podľa metodiky uvedenej v kapitole 24.3 sa hodnotil pokles prutia v tkanine po 100 za sebou nasledujúcich cykloch deformácie tkaniny v ťahu, na určitý stupeň deformácie. Boli volené stupne deformácie odstupňované po 10, resp. 20 % až k maximálnej hodnote ťažnosti. Pokles prutia sa hodnotil ako % únavy. Z rozsiahlych experimentálnych skúšok je uvádzané len % únavy po 100 cykloch.

Pre vybrané vzorky tkanín bolo stanovené % únavy v pozdižnom a priečnom smere. Výsledky sú uvedené v tabuľke 14 a graficky spracované na obr. 42.

Tab. 14 Percento únavy tkanín po 100 deformačných cykloch v závislosti na stupni deformácie

| Stupeň deformácie /%/ | Únava tkaniny po 100 deformačných cykloch /%/<br>v pozdižnom smere |        |        |                  |        |        |
|-----------------------|--|--------|--------|------------------|--------|--------|
|                       | v pozdižnom smere  |        |        | v priečnom smere |        |        |
|                       | vz. 8  | vz. 13 | vz. 14 | vz. 8            | vz. 13 | vz. 14 |
| 10                    |  | 24,7   | 30,5   |                  | 30,4   | 24,5   |
| 20                    | 13,0   | 20,8   | 24,2   | 17,6             | 25,1   | 16,2   |
| 30                    |  | 17,0   | 18,1   |                  | 19,9   | 15,4   |
| 40                    | 14,1   | 16,6   | 18,4   | 16,8             | 19,0   | 15,8   |
| 50                    |  | 19,5   | 21,9   |                  | 20,0   | 19,2   |
| 60                    | 15,4   | 21,0   | 23,2   | 18,6             | 19,0   | 21,6   |
| 70                    |  | 23,4   | 25,2   |                  | 16,4   | 27,4   |
| 80                    | 16,4   | 24,5   |        | 18,2             | 16,4   |        |
| 90                    |  |        |        |                  | 19,9   |        |
| 100                   | 18,6   |        |        | 17,9             | 23,6   |        |
| 110                   |  |        |        |                  | 23,6   |        |
| 120                   | 17,6   |        |        | 16,5             |        |        |
| 140                   | 17,4   |        |        | 14,6             |        |        |
| 160                   | 16,7   |        |        | 14,2             |        |        |



Obr. 42 Percento únavy tkanín po 100 deformačných cykloch v závislosti na stupni deformácie

Z obr. 42 vidieť, že najnižšie percento únavy je u vysokoroztažnej tkaniny /vz. č. 8/ a toto percento sa nezvyšuje ani pri veryškom stupni deformácie. Percento únavy v pozdĺžnom i priečnom smere je prílišne na rovnakej úrovni, čo svedčí o rovnomerných vlastnostiach tkaniny v obidvoch smeroch. Tkanina č. 13 má pri určitom stupni deformácie minimálne % únavy, ktoré sa s ďalším zvyšovaním stupňa deformácie zvyšuje. Naviac sú vlastnosti tkaniny v pozdĺžnom a priečnom smere odlišné. Tkanina č. 14 je nízkoroztažná a % únavy dosahuje podobne ako u tkaniny č. 13 určité minimum. Priebeh kriviek u tejto vzorky svedčí o rovnomerných vlastnostiach v obidvoch smeroch.

Hodnoty % únavy majú zvlášť veľký význam v súvislosti s užitnými vlastnosťami tkaniny v hotovom výrobku.

### 37.2 Hodnotenie elástických vlastností v tlaku

Pre charakterizáciu elástických vlastností v tlaku sa zaviedli metódy, ktoré sú založené na princípe merania hrúbky tkaniny.

Pre hodnotenie sa vyvinuli a odskúšali tieto metódy:

a/ hodnotenie stlačiteľnosti tkaniny zmenou hrúbky tkaniny pri rôznom mernom tlaku meracej hlávice

b) hodnotenie zotavovacích vlastností tkaniny po odľahčení,  
sledovaním hrúbky tkaniny v závislosti na čase

Pri hodnotení stlačiteľnosti tkaniny bol nájdený matematický  
vzťah, ktorý najlepšie koreluje s nameranými výsledkami:

$$t = a + b \cdot \log p$$

Pre hodnotené vzorky tkanín č. 8, 13, a 14 boli namerané hod-  
noty hrúbky tkaniny, ktoré sú uvedené v tab. 15.

Tab. 15 Hrúbky upravených tkanín v mm, v závislosti na pritla-  
ku meracej hlavice

| Označenie<br>tkaniny | Pritlak meracej hlavice /kPa/ |       |       |       |       |       |       |       |
|----------------------|-------------------------------|-------|-------|-------|-------|-------|-------|-------|
|                      | 0,196                         | 0,490 | 0,981 | 1,226 | 1,962 | 2,452 | 4,905 | 12,26 |
| vz. č. 8             | 3,74                          | 3,63  | 3,56  | 3,50  | 3,44  | 3,41  | 3,26  | 3,03  |
| vz. č. 13            | 2,62                          | 2,52  | 2,42  | 2,35  | 2,30  | 2,24  | 2,08  | 1,85  |
| vz. č. 14            | 1,62                          | 1,55  | 1,50  | 1,46  | 1,43  | 1,40  | 1,34  | 1,24  |

Výpočtom na kalkulátore HP 9100 B sa pre jednotlivé vzorky tka-  
ní vypočítali konštandy a koeficient korelácie:

$$\text{vz. č. 8} \quad t = 3,520 - 0,388 \log p \quad \text{korelač.koef. } 0,982$$

$$\text{vz. č. 13} \quad t = 2,379 - 0,430 \log p \quad \text{korelač.koef. } 0,985$$

$$\text{vz. č. 14} \quad t = 1,483 - 0,212 \log p \quad \text{korelač.koef. } 0,997$$

Vysoký korelačný koeficient svedčí o dobrej závislosti hrúbky  
tkaniny na pritlaku meracej hlavice /p/. Strmosť poklesu hrúbky  
učaná konštantou b charakterizuje odpor tkaniny proti stlačeniu.  
Z tohto hľadiska je stlačiteľnejšia tkanina č. 13 a 8 ako menej  
objemná tkanina č. 14.

Pozornosť bola venovaná aj hodnoteniu zotavovacích vlastností  
tkaniny po odľahčení a v tejto súvislosti bola vypracovaná me-  
toda, ktorou sa hodnotí zotavenie tkaniny, zataženej tlakom  
9,81 kPa po dobu 16 h. Zotavenie sa sleduje v závislosti na čase

do doby 4 h po odľahčení. Zotavenie sa vyjadri v percentoch ako hrúbka vzťahovaná na pôvodnú hrúbku tkaniny pred zatažením. U hodnotených vzoriek tkanín neboli stanovené podstatnejšie rozdiely. Hrúbka tkaniny sa za 4 h zotavila na 88 až 90 %. Meranie hrúbky pred zatažením a počas zotavovania je pri pritla-ku meracej hlavice 0,490 kPa.

#### 4. Záver

predkladaná kandidátska dizertačná práca rieši prípravu vysokoelastických a vysokoobjemných tkanín z polypropylénových, bikomponentných, latentne oblúčkovaných nekonečných vláken.

Práca sleduje súčasne dva ciele, a to riešenie problematiky aplikácie nekonečných bikomponentných, latentne oblúčkovaných vláken tak, aby bolo efektívnym prínosom z hľadiska ekonomiky prípravy a aplikácie bikomponentných vláken. Ďalším cieľom práce bola príprava kvalitatívne nového výrobku v takej oblasti textilnej výroby, ktorá je otvorená pre širšie uplatnenie chemických vláken. K práci sa pristupovalo so znalosťou problematiky prípravy oblúčkovaných bikomponentných vláken. Slúžili k tomu pomerne rozsiahle práce v tejto oblasti, hlavne v ČSSR, ako i priama účasť pri riešení v rokoch 1968-1970. Dosiahnutie širokých experimentálnych možností bolo umožnené úzкym kontaktom počas celého riešenia problému s kolektívom pracovníkov, ktorí riešia prípravu bikomponentných vláken.

Cieľom teoretickej časti bolo zhrnúť poznatky z hodnotenia bikomponentných vláken vo forme prehľadu metód, ktoré sú z hľadiska riešenej aplikácie týchto vláken zvlášť dôležité.

Prínosom v tejto časti je metóda, ktorou je možné hodnotiť objemové vlastnosti vláken kontinuálne, ako mieru skrátenia z objemnením tzv. CC-hodnota.

Z hľadiska základného výskumu elastických vlastností má opodstatnenie i hodnotenie komplexného modulu elasticity a jeho zložiek dynamickou metódou hodnotenia vynútených kmitov bez rezonancie. Podrobnejšie rozobrané vzťahy medzi charakterom oblúčkovania a dĺžkou zobjemneného a vyrovnaného vlákna svedčia o prednostiach priestorového objemovania z hľadiska dosiahnutia vysokých elastických a objemových vlastností vláken a výrobkov z nich.

Základné poznatky zo spracovania bikomponentných, latentne oblúčkovaných vláken boli získané štúdiom danej problematiky a vypracovaním návrhu na riešenie originálnym spôsobom, na ktorý bolo uznané autorské osvedčenie /16/. Pri vypracovaní postupu boli prehodnotené i skúsenosti z výskumu v tejto oblasti v iných výskumných ústavoch /17, 18, 19/, ktoré boli často nepriaznivé,

ak sa postupovalo pri spracovaní bikomponentných, oblúčkových vláken analogicky ako pri spracovaní mechanicky oblúčkovaných vláken. V tejto časti boli určené hlavné problémy, ktoré boli v experimentálnej časti predmetom riešenia.

Ako rozhodujúci sa ukázal vplyv väzby tkaniny na reguláciu elastických a objemových vlastností tkanín z bikomponentných, latentne oblúčkovaných vláken. Hustá väzba potláča objemovaci efekt vláken a elasticita i objemnosť tkaniny je nižšia. Priliš volná väzba umožňuje vysoké zobjemnenie vláken, ale znížuje odolnosť tkaniny voči opotrebovaniu. Volba väzby o primeranej hustote umožní dostatočné zobjemnenie vláken a zachová užitnú vlastnosť tkaniny na požadovanej úrovni.

Štúdiom úpravy režnej tkaniny sa dospelo k záveru, že optimálnou cestou bude fixácia tkaniny vo voľnom stave suchou cestou. Tomuto zámeru boli podriadené i experimentálne práce.

V súvislosti s hodnotením elastických a objemových vlastností vysokoelastických a vysokoobjemných tkanín boli vyvinuté tieto metódy:

- hodnotenie elastických vlastností v tahu, opakovánou deformáciou na určitý deformačný stupeň percentom únavy
- hodnotenie stlačiteľnosti tkaniny meraním hrúbky tkaniny pri rôznom mernom tlaku meracej hlavice a matematické spracovanie výsledkov merania
- hodnotenie zotavovacích vlastností tkaniny po odlahčení, sledovaním hrúbky tkaniny v závislosti na čase, vyjadrené ako percento zotavenia hrúbky, vzťahované na hrúbku pre zatažením.

Výsledkom experimentálnej časti je praktické overenie teoretických predpokladov. I v experimentálnej časti je časť práce venovaná štúdiu vzťahov medzi vlastnosťami vláken, technológiou prípravy tkaniny a jej základnými objemovými vlastnosťami.

V úvodnej časti bol názorne uvedený charakter bikomponentných vláken.

V ďalšej časti boli podrobňom štúdiom vplyvu podmienok prípravy polypropylénových, bikomponentných, latentne oblúčkovaných vláken na veľkosť kontrakčných sil a lineárneho zmrštenia

získané závislosti, ktoré umožnia optimalizáciu technologického procesu z hľadiska riešenej aplikácie vláken. Na modelových vzorkách režných vláken i vláken farbených v hmote, boli určené jednoznačné závislosti medzi objemnosťou vlákna vyjadrenou KK-hodnotu a maximálnymi kontrakčnými silami pri 70 °C. Rovnako sa stanovila závislosť KK-hodnoty na lineárnom zmrštení.

V tejto časti práce bola prešetrená i závislosť kontrakčných sôl na teplote, pri ktorej boli stanovené a na parametroch prípravy vlákna. Z prevedených skúšok vyplynul záver, že ak chceme dosiahnuť vysokú kontrakčnú silu, nesmie sa vlákno na dĺžia-  
com stroji tepelne namáhať, aby nedošlo vplyvom tepla k uvoľneniu pnutia vo vlákne. Problematika kontrakčných sôl bola podrobnejšie študovaná preto, že pre získanie dobrých elastických a objemových vlastností tkanín, majú kontrakčné sily popri samozblúčkujúcich vlastnostiach vlákna prvoradý význam.

Podrobnejšie výsledky boli získané z káblika, z poloprevádzko-vej produkcie, ktorý bol základom pre ďalšie experimentálne práce. Opäťovným hodnotením kontrakčných sôl a lineárneho zmrštenia, v závislosti na čase a teplote temperácie, boli urobené závery, že pre zobjemnenie tkaniny bude najvhodnejšia teplota medzi 120 až 130 °C. V tomto rozmedzí sa dosahuje najvyššieho lineárneho zmrštenia a súčasne vysokých kontrakčných sôl, pričom sa ich účinok plne prejaví už v priebehu niekoľkých minút. Súčasne v tejto tepelnej oblasti ešte nemôže dôjsť k mäknutiu polypropylénu ani prípadným menším zvýšením teploty.

Podstatná časť experimentálnych prác tvorí príprava tkanín, ktorá bola v prvých fázach poznamenaná veľmi obmedzenými možnosťami, hlavne z hľadiska malého množstva východzieho experimentálneho materiálu. Napriek tomu už prvé orientačné skúšky ukázali perspektívnu zvoleného postupu.

Určitejší názor sa získal pri tkani na vzorkovom tkacom stroji, kde boli vytypované určité druhy väzieb, ktoré sú pre dosiahnutie elastických a objemových vlastností najvhodnejšie.

Sú to hlavne väzby vaľcové, ktoré majú pri väčšej striede doplnené útkové úseky osnovnými väznými bodmi a osnovné úseky útkovými väznými bodmi tak, aby boli jednotlivé nite dostatočne

získané závislosti, ktoré umožnia optimalizáciu technologického procesu z hľadiska riešenej aplikácie vláken. Na modelových vzorkách režných vláken i vláken farbených v hmote, boli určené jednoznačné závislosti medzi objemnosťou vlákna vyjadrenou KK-hodnotu a maximálnymi kontrakčnými silami pri  $70^{\circ}\text{C}$ . Rovnako sa stanovila závislosť KK-hodnoty na lineárnom zmrštení. V tejto časti práce bola prešetrená i závislosť kontrakčných sil na teplote, pri ktorej boli stanovené a na parametroch prípravy vlákna. Z prevedených skúšok vyplynul záver, že ak chceme dosiahnuť vysokú kontrakčnú sily, nesmie sa vlákno na dĺžiam stroji tepelne namáhať, aby nedošlo vplyvom tepla k uvoľneniu pnutia vo vlákne. Problematika kontrakčných sil bola podrobnejšie študovaná preto, že pre získanie dobrých elastických a objemových vlastností tkanín, majú kontrakčné sily popri samoblúčujúcich vlastnostiach vlákna prvoradý význam.

Podrobnejšie výsledky boli získané z kábliku, z poloprevádzkovej produkcie, ktorý bol základom pre ďalšie experimentálne práce. Opäťovným hodnotením kontrakčných sil a lineárneho zmrštenia, v závislosti na čase a teplote temperácie, boli urobené závery, že pre zobjemnenie tkaniny bude najvhodnejšia teplota medzi  $120$  až  $130^{\circ}\text{C}$ . V tomto rozmedzí sa dosahuje najvyššieho lineárneho zmrštenia a súčasne vysokých kontrakčných sil, pričom sa ich účinok plne prejaví už v priebehu niekoľkých minút. Súčasne v tejto tepelnej oblasti časte nemôže dôjsť k mäknutiu polypropylénu ani prípadným menším zvýšením teploty.

Podstatná časť experimentálnych prác tvorí príprava tkanín, ktorá bola v prvých fázach poznámenaná veľmi obmedzenými možnosťami, hlavne z hľadiska malého množstva východzieho experimentálneho materiálu. Napriek tomu už prvé orientačné skúšky ukázali perspektívnu zvoleného postupu.

Určitejší názor sa získal pri tkani na vzorkovom tkacom stroji, kde boli vytypované určité druhy väzieb, ktoré sú pre dosiahnutie elastických a objemových vlastností najvhodnejšie.

Sú to hlavne väzby väflové, ktoré majú pri väčšej striede doplnené útkové úseky osnovnými väznými bodmi a osnovné úseky útkovými väznými bodmi tak, aby boli jednotlivé nite dostatočne

Prevádzkové skúšky ukázali, že najlepších výsledkov sa dosiahalo na relativne jednoduchom zariadení, a to na beznapäťovej a horizontálnej sušiarni MODEL 6577 od firmy TEXTIMA. Túto sušiareň je možné doporučiť aj pre ďalšie overovacie skúšky.

Hodnotenie elastických a objemových vlastností tkanín spočívalo predovšetkým v uplatnení vyvinutých metód, a to hodnotením percenta únavy, hodnotením stlačiteľnosti tkaniny. Tu sa preukázalo, že čím je tkanina roztažnejšia, tým sa znižuje % únavy. Okrem hodnotenia tkanín laboratórnymi metódami, boli tkaniny z niektorých skúšok použité i na praktické overenie pre čalúnicke účely. I keď hodnotenie týchto výsledkov nie je cieľom tejto práce, predsa je možné uviesť, že prvé orientačné skúšky potvrdili vhodnosť uplatnenia týchto tkanín v nabytkárskom sektore.

Pre širší a názornejší pohľad na riešenú problematiku je k výpracovanej práci priložená vzorkovnica tkanín, ktoré boli v jednotlivých kapitolách práce podrobnejšie hodnotené.

5. Literatúra

1. ŠIMO, R., KOSTKA, A.: Štúdium prípravy chemických vláken na princípe zvlákňovania viaczložkových a konjugovaných systémov. /Študijná správa./ Svit, Výskumný ústav chemických vláken 1968. 85 s.
2. ŠIMO, R., KOSTKA, A.: Príprava obľúčkovaných dvojzložkových - konjugovaných polypropylénových vláken. /Výskumná správa./ Svit, Výskumný ústav chemických vláken 1969. 183 s.
3. KOLEKTÍV AUTOROV: Katalóg analyticko-fyzikálnych metód. /Výskumná správa./ Svit, Výskumný ústav chemických vláken 1974. 117 s.
4. ČSN 80 0844. Zjišťování tloušťky plošných textilií. 1972.
5. KOSTKA, A.: Cestovná správa č. 265/76 zo služobnej cesty do NSR v dňoch 31.5. - 5.6.1976. Svit, Výskumný ústav chemických vláken 1976. 13 s.
6. KOSTKA, A., MITTERPACHOVÁ, M.: Dynamické metódy hodnotenia vláken prístrojom REOVIBRON. /Študijná správa./ Svit, Výskumný ústav chemických vláken 1975. 34 s.
7. KOSTKA, A.: Cestovná správa č. 852/73 zo služobnej cesty do NDR v dňoch 21.1. - 26.1.1974 Svit, Výskumný ústav chemických vláken 1974. 7 s.
8. ON 80 0264, Stanovenie objemovej vratnosti chemických strižových vláken po stlačení. 1966.
9. DIAČIK, I. a kolektív: Vývoj, modifikácia a aplikácia nových fyzikálno-chemických metód pre hodnotenie vláknotvorných polymérov a vláken. /Správa zo základného výskumu./ Svit, Výskumný ústav chemických vláken 1973. 158 s.
10. TIMOSHENKO, S.: Analysis of Bi-Metal Thermostats. J. Optical Soc. Amer., 11, 1925, s. 233-255.

11. BRAND, R.H., BACKER, S.: Mechanical Principles of Natural Crimp of Fiber. *Text. Resch.* I., 32, 1962, č. 1, s. 39-49.
12. FITZGERALD, W.E., HUGHEY, G.B.: Texturing synthetic fibers for stretch and bulk. *American Dyestuff Reporter*, 1966, s. 37-43.
13. FITZGERALD, W.E., KNUDSEN, J.P.: Mixed - Stream Spinning of Bicomponent Fibers. *Text. Resch.* J. 37, 1967, č. 6 s. 447-453.
14. FITZGERALD, W.E., KNUDSEN, J.P.: Seef - Textured fibers: Texture development and mechanical properties. In: Papers Annual Conf. Textile Inst. Manchester, 1966, s. 134-146.
15. ŠIMO, R. a kolektív: Dielčia správa z výskumu za rok 1972, chemické vlákna na báze viaczložkových systémov. Svit, Výskumný ústav chemických vláken 1972. 79 s.
16. AO CS 157421, KOSTKA, A., NOSKO, J.: Vysokoelasticke a objemové tkaniny zo syntetických alebo zmesných vláken a spôsob ich výroby. 4.12.1972.
17. KELLO, D., KOSTKA, A.: Cestovná správa zo služobnej cesty do PĽR v dňoch 14.6. - 20.6.1970. Svit, Výskumný ústav chemických vláken 1970. 8 s.
18. KOSTKA, A.: Cestovná správa zo služobnej cesty do MĽR v dňoch 3.6. - 9.6.1973. Svit, Výskumný ústav chemických vláken. 1973. 7 s.
19. FUSEK, K., KOSTKA, A., MIZERÁK, P., NÁPLAVA, A.: Cestovná správa č. 637/72 zo služobnej cesty do ZSSR v dňoch 20.11. - 26.11.1973. Svit, Výskumný ústav chemických vláken 1973. 20 s.
20. KOSTKA, A.: Štúdia o hodnotení textilnej spracovateľnosti chemických vláken v laboratórnom rozsahu. /Študijná správa / Svit, Výskumný ústav chemických vláken 1970. 34 s.
21. ČSN 80 0819. Zkoušení mačkavosti tkanin. 1961.

22. ČSN 80 0838. Zjišťování odolnosti plošných textilií proti žmolkování na komorovém žmolkovacím přístroji se vzduchovými polštáři. 1971.
23. ČSN 80 0840. Zjišťování celkového a trvalého protažení plošných textilií. 1972.
24. ČSN 80 0844. Zjišťování tloušťky plošných textilií. 1972.
25. KOSTKA, A.: Meranie hrúbky textilií na hrúbkomeri typ DM 100 T. Textil, 1972, č. 12, s. 414.
26. ŠIMO, R. a kolektív: Chemické vlákna na báze viaczložkových systémov. /Výskumná správa./ Svit, Výskumný ústav chemických vláken 1975. 168 s.

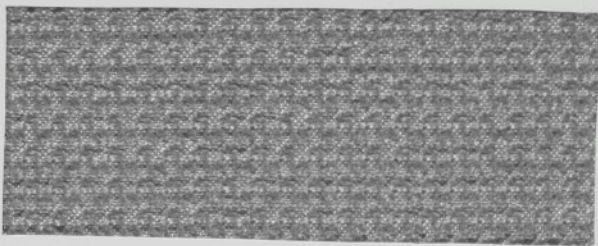
6. Zoznam použitých skratiek a symbolov

Pri označení grafov, tabuľiek a vzťahov boli použité tieto skratky a symboly:

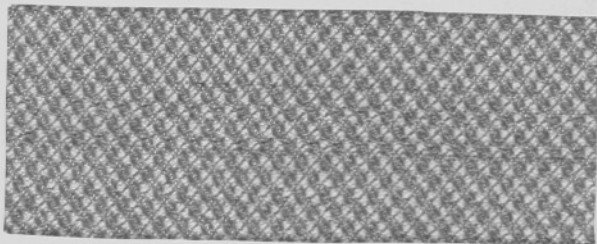
- $a_1, a_2$  - hrúbka jednotlivých páskov /pri bimetalickom modeli oblúčkovania/  
 $A$  - tabuľková hodnota /pri výpočte komplexného modulu elasticity/  
 $A_1, A_2$  - priemer jednotlivých páskov /pri bimetalickom modeli oblúčkovania/  
 $A_K$  - práca k zrušeniu objemovania  
 $A_L$  - celková deformačná práca do inflexného bodu pracovnej krivky  
CC-hodnota - miera skrátenia zobjemnením  
 $c_f^e, c_f^l$  - frekvencia oblúčkov  
 $d$  - šírka vlákna, resp. priemer špirály vlákna v zobjemnenom stave  
 $D$  - dynamická sila  
 $E, E_1, E_2$  - moduly pružnosti  
 $E'$  - modul pružnosti - akumulácie /pri výpočte komplexného modulu elasticity/  
 $E''$  - stratový modul /pri výpočte komplexného modulu elasticity/  
 $E^*$  - komplexný modul elasticity  
 $F_1$  - pnutie v tkanine pri prvom cykle  
 $F_n$  - pnutie v tkanine pri n-tom cykle  
 $F_E$  - zaťaženie do medze pružnosti  
 $F_{\Delta L}$  - ďahová sila v inflexnom bode pracovnej krivky  
 $F_{\Delta L_K}$  - tuhost' oblúčkov  
 $h$  - hrúbka bimetalického pásku  
 $I$  - inflexný bod krivky  
 $I_1, I_2$  - momenty zotrvačnosti jednotlivých plôch  
 $K$  - stupeň objemovania  
 $K_o$  - krivosť

- L - dĺžka vzorky  
 $L_e$  - elastické predĺženie  
 $L_o$  - upínacia dĺžka  
 $L_1$  - dĺžka vlákna pred uvoľnením napäťia  
 $L_2$  - dĺžka vlákna po uvoľnení napäťia  
 $\Delta L$  - predĺženie vlákna  
 $aL_k$  - predĺženie vlákna do extrapolovaného bodu B  
/pri výpočte tuhosti oblúčkov/  
M - plošná hmotnosť tkaniny  
n - počet oblúčkov na jednotku dĺžky vlákna  
v zobjemnenom stave  
p - merný prítlač hlavice pri meraní hrúbky tkaniny  
q - koeficient plnosti  
 $r_o$  - polomer zakrivenia okolo neutrálnej osi  
 $R_c$  - reverzibilita vlákna počítaná zo zmeny oblúčkov  
 $R_L$  - reverzibilita vlákna počítaná zo zmeny dĺžok  
s - merná hmotnosť vlákenného materiálu  
 $s_o$  - merná hmotnosť tkaniny  
S - plocha prierezu vzorky vláken /pri stanovení komplexného modulu elasticity/  
S - stúpanie závitov /pri špirálovitom oblúčkovani/  
t - hrúbka tkaniny  
 $v_1$  - obvodová rýchlosť podávacích valcov /pri meraní CC-hodnoty/  
 $v_2$  - obvodová rýchlosť odťahových valcov /pri meraní CC-hodnoty/  
V - variačný koeficient  
w - pôrovitosť tkaniny  
z - lineárne zmrštenie vláken  
 $z_c$  - zotavenie vlákna počítané zo zmeny oblúčkov  
 $z_L$  - zotavenie vlákna počítané zo zmeny dĺžok  
 $\delta$  - fázový posuv  
 $\epsilon_{el}$  - pružné predĺženie do pretrhu  
 $\epsilon_{Eel}$  - predĺženie do medze pružnosti  
 $\xi^0$  - stupeň pružnosti  
 $\rho$  - hustota  
 $\tau_E$  - technická medza pružnosti

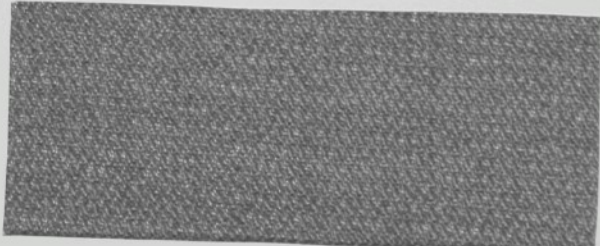
U80 + příloha



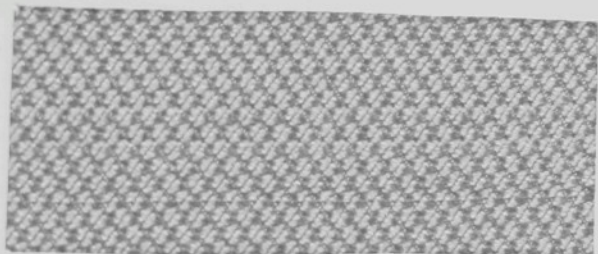
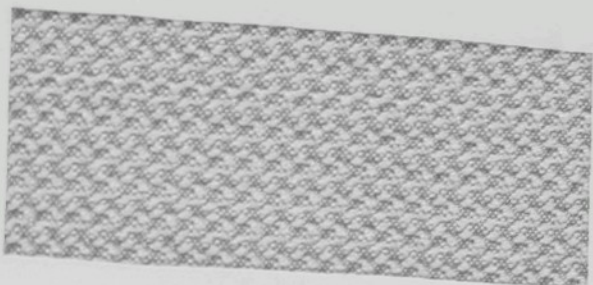
1

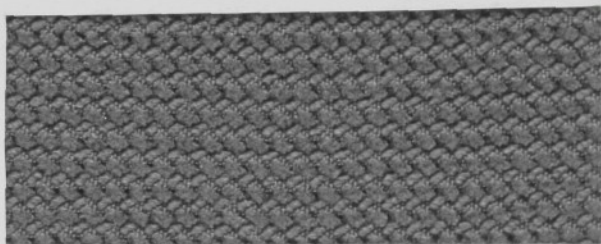


2

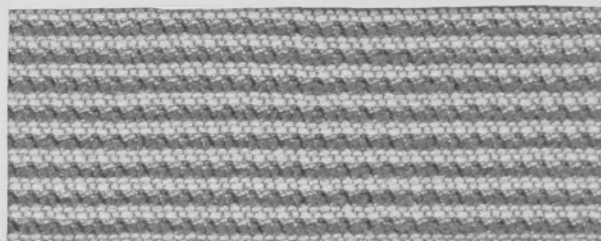


3

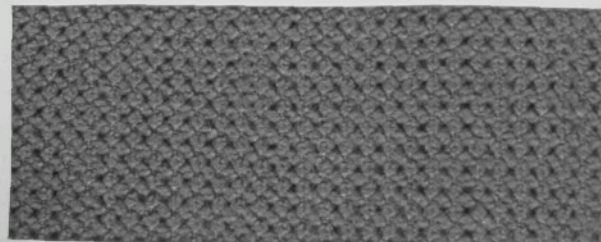




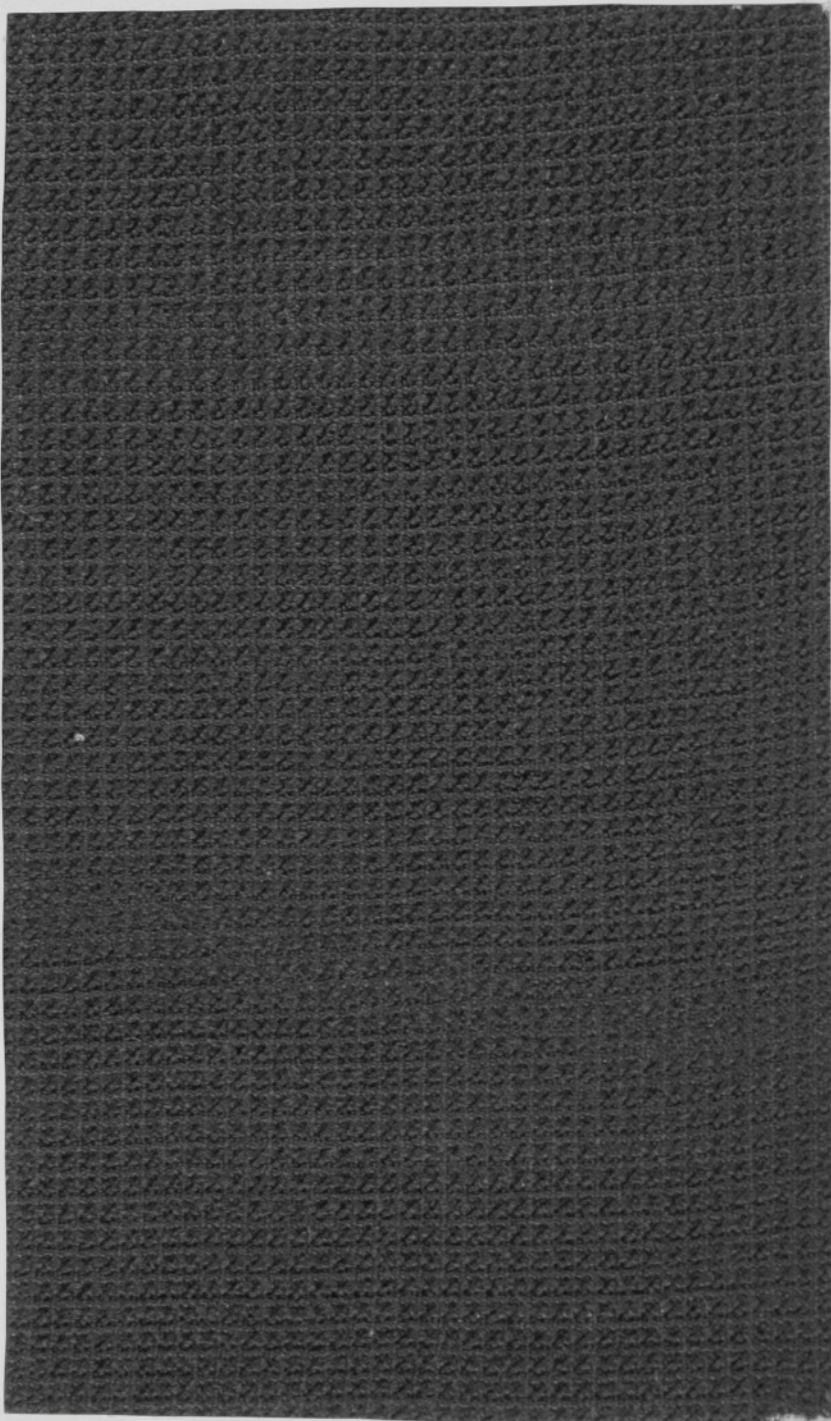
4

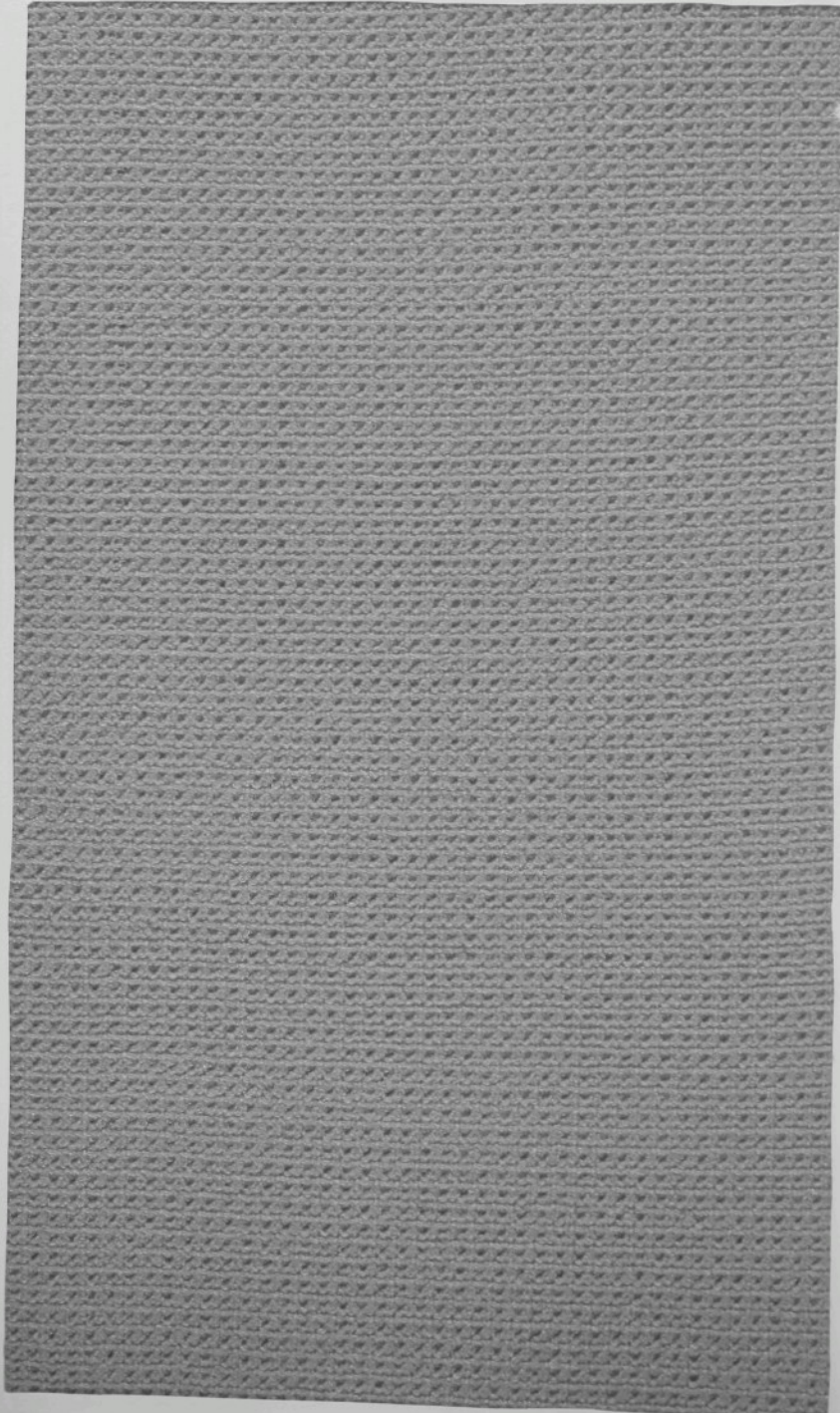


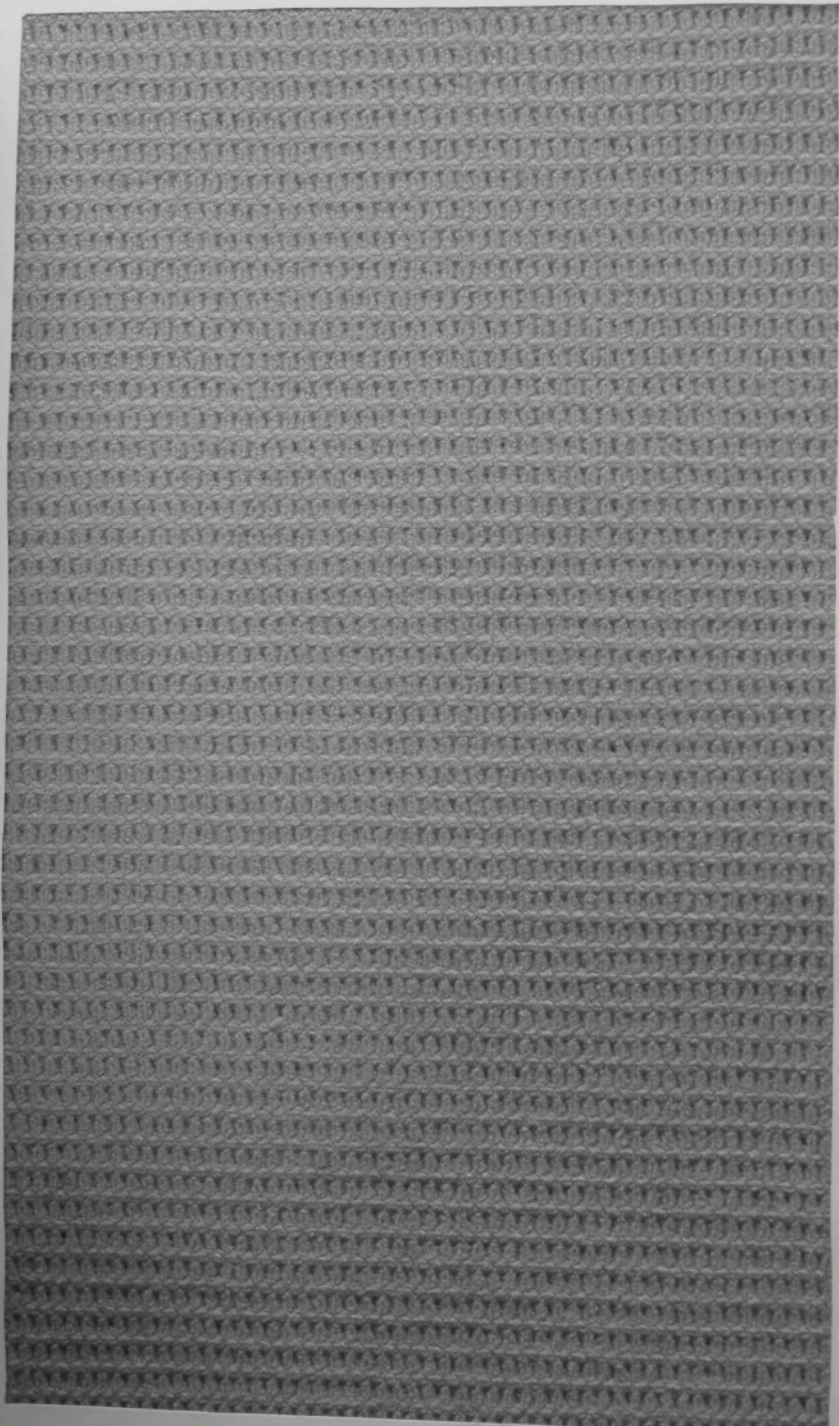
5

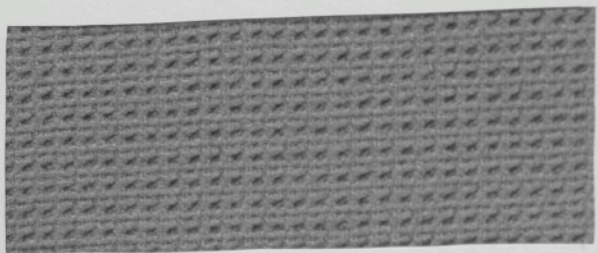


6

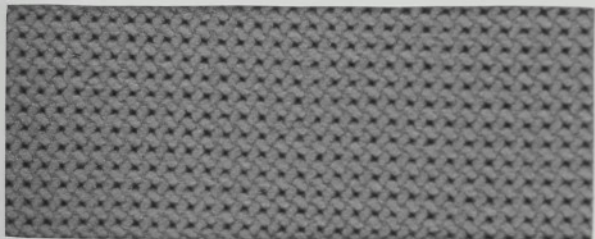




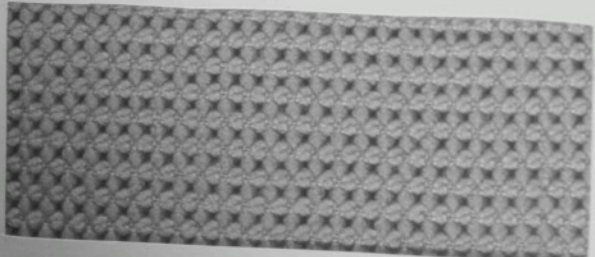




10



11



12

